

Számítógépes grafika

Bevezetés
Történeti áttekintés
„Hordozható” szoftverek, szabványok
Interaktív grafikai rendszerek
A számítógépes grafika osztályozása

1

Bevezetés

Valós és képzeletbeli objektumok (pl. tárgyak képei, függvények) *szintézise* számítógépes modelljeikből (pl. pontok, élek, lapok)



2

Bevezetés

Számítógépes képfeldolgozás:

Képek *analízise*, objektumok modelljeinek rekonstrukciója képeikből (pl. légi-, űr-, orvosi felvételek kiértékelése, torzított képek helyreállítása)

3

Bevezetés

Tapasztalat, hogy képek formájában az adatok gyorsabban és hatásosabban feldolgozhatók az ember számára.

Fejlődés:

Fotózás → televízió → számítógépes grafika

4

Bevezetés

Alkalmazási területek:

- felhasználói programokhoz grafikus előtét
- üzlet, tudomány, technika (pl. dokumentum készítés)
- számítógéppel segített tervezés (CAD)
- szimuláció, animáció (pl. tudomány, szórakozás)
- művészet, kereskedelem
- folyamatirányítás
- térképészet

5

Történeti áttekintés

Kezdetben: képek megjelenítése teletype-on, nyomtatókon

1950:

MIT: számítógéppel vezérelt képernyő

SAGE légvédelmi rendszer (a programok képernyőről történő vezérlése fényceruzával)



6

Történeti áttekintés II

1963:

- A modern interaktív grafika megjelenése
- I. Sutherland: Sketchpad
- Adatstruktúrák szimbolikus struktúrák tárolására
- Interaktív megjelenítés, választás, rajzolás



7

Történeti áttekintés III

1964:

- CAD – DAC-1 (IBM)
- Autók tervezésére (General Motors)



8

Történeti áttekintés IV

Lassú fejlődés, mert

- Drága a hardver
- Drága számítógépes erőforrások (nagy adatbázis, interaktív manipuláció, intenzív adatfeldolgozás)
- Nehéz volt nagy programokat írni
- A szoftver nem volt hordozható

9

Történeti áttekintés V

1960-as évek:

Jellemző output-eszköz az ún.

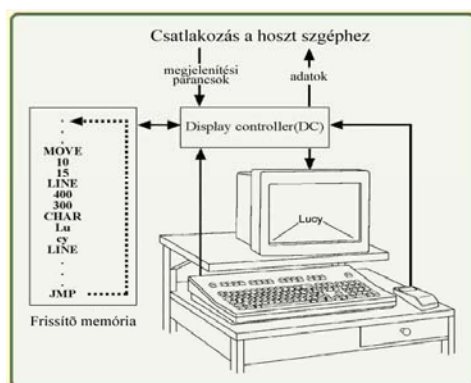
vektor-képernyő (szakaszokat rajzol -tól -ig)

Részei:

- Képernyő processzor (DP) - mint I/O periféria kapcsolódik a központi egységhez
- Képernyő tároló memória – a megjelenítéshez szükséges program és adat tárolására
- Képernyő - katód sugár cső

10

Történeti áttekintés VI



11

Történeti áttekintés VII

utasítás → koordináták → elektromos jel
képernyő processzor → vektor generátor

30 Hz-es frissítés (foszforeszkáló ernyő - nem villog annyira)

1960-as évek vége:

DVST (direct-view storage tube) - a látványt közvetlenül tároló cső: olcsóbb

képernyő ↔ kisszámítógép
felszabadul a központi gép

12

Történeti áttekintés VIII

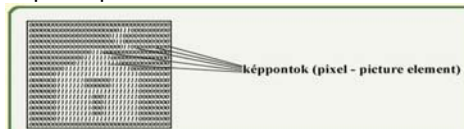
1968:

A hardver képes a skálát változtatni, a képet mozgatni, vetületeket előállítani valós időben

1970-es évek:

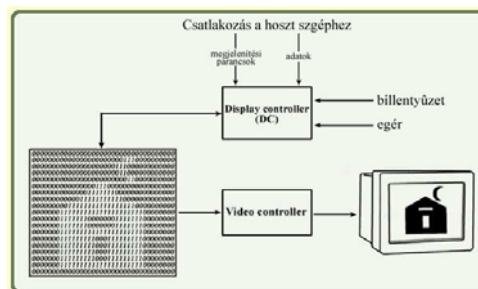
Jellemző output eszköz az ún. **raszter-képernyő** (TV - technika), bit-térképes grafika

Bit-térkép (bitmap):
képek reprezentálása bináris mátrixszal



13

Történeti áttekintés IX



A raszteres képernyők a grafikus primitíveket (pixel - képpont) az ún. frissítő tárolóban tartják.

14

Történeti áttekintés X

mátrix -- raszter sorok -- képpontok

Bit-térképek, pl.:

$1024 * 1024 * 1 = 128 \text{ K}$ - bináris kép

Pixel-képek, pl.:

$1024 * 1024 * 8 = 256$ szürkeségi fokozat v. szín

$1024 * 1024 * 24 = 2^{24}$ szürkeségi fokozat v. szín

Ma tipikus:

$1280 * 1024 * 24 \approx 3.75 \text{ MB RAM}$

15

Történeti áttekintés XI

Előnyei:

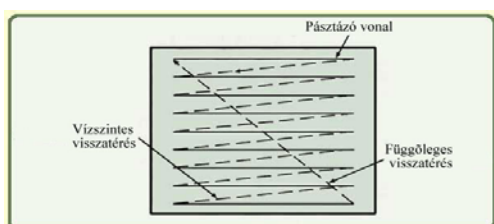
- Olcsó logikájú processzor (soronként olvas)
- A területek színekkel kitölthetők
- Az ábra bonyolultsága nem befolyásolja a megjelenítés sebességét

16

Történeti áttekintés XII

Hátrányai:

- A grafikus elemeket (pl. vonal, poligon) át kell konvertálni (RIP - raster image processor)
- A geometriai transzformációk számításigényesek

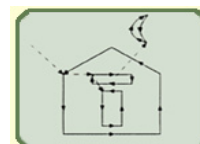


17

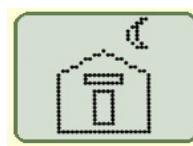
Megjelenítés raszteres képernyőn



Ideális vonalas rajz



Vektoros kép



Raszteres kép vonallal



Raszteres kép területkitöltéssel

18

Történeti áttekintés XIII

1980-as évekig:

A számítógépes grafika szűk, speciális terület a drága hardver miatt

Újdonságok:

- Személyi számítógépek (Apple Macintosh, IBM PC)
- Raszteres képernyők
- Ablak technika (window manager)

Eredmény:

- Sok alkalmazás
- Sok I/O eszköz (pl. egér, tábla, ...)
- Kevesebbet használjuk a billentyűzetet (menük, ikonok, ...)

19

„Hordozható” szoftverek, szabványok

Eszköz-függő $\xrightarrow{\text{fejlődés}}$ eszköz független
Így lehet "hordozható" a felhasználói szoftver

1977:

3D Core Graphics System

1985:

GKS (Graphical Kernel System) 2D

20

„Hordozható” szoftverek, szabványok

1988:

GKS - 3D

PHIGS (Programmer's Hierarchical Interactive Graphics System)

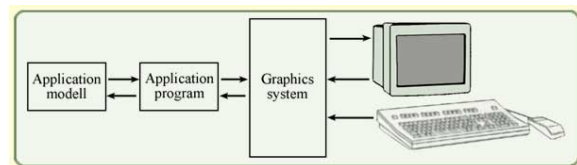
- Logikailag kapcsolódó primitívek csoportosítása szegmensekbe,
- 3D primitívek egymásba ágyazott hierarchiája,
- Geometriai transzformációk,
- Képernyő automatikus frissítése, ha az adatbázis változik

1992

OpenGL (SGI)

21

Interaktív grafikai rendszerek



Interaktivitás:

A felhasználó vezérli az objektumok kiválasztását, megjelenítését billentyűzetről, vagy egérről...

22

Interaktív grafikai rendszerek II

Felhasználói modell (adatbázis):

- Adatok, objektumok, kapcsolatok (adattömb, hálózati adatok listája, relációs adatbázis)
- Primitívek (pontok, vonalak, felületek)
- Attribútumok (vonal stílus, szín, textúra)

23

Interaktív grafikai rendszerek III

Az interaktivitás kezelése:

Tipikus az esemény-vezérelt programhurok:

```

kezdeti képernyő beállítás;
while(true) {
    parancsok vagy objektumok választhatók;
    várakozás, amíg a felhasználó választ;
    switch(válaszás) {
        case 'választott': a modell és a
            képernyő frissítésére; break;
        ...
        case (quit) exit(0);
    }
}
  
```

24

A számítógépes grafika osztályozása I

Dimenzió szerint:

2-D
3-D

Képfajta szerint:

vonalas
szürke
színes (árnyékolt)

25

A számítógépes grafika osztályozása II

Interaktivitás szerint:

Off-line rajzolás
Interaktív rajzolás (változó paraméterek)
Objektum előre meghatározása és körüljárása
Interaktív tervezés

Kép szerepe szerint:

Végtermék
Közbülső termék

26

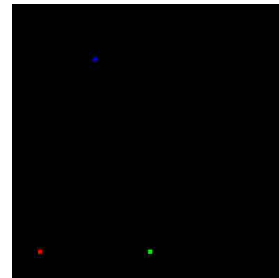
OpenGL

Pontok rajzolása

27

Pontok rajzolása

Rajzoljunk egy piros pontot a (10, 10), egy zöld pontot az (50, 10) és egy kék pontot a (30, 80) koordinátákba (az ablak 100*100-as méretű)



28

Színek és színmódok

RGBA színmód:

Minden színt négy komponens definiál: (**R, G, B, A**)
vörös (Red), zöld (Green), kék (Blue), alfa (Alpha)

Minél nagyobb az **RGB** komponens értéke, annál intenzívebb a színkomponens

A (átlátszóság): 1.0 - nem átlátszó,
0.0 - teljesen átlátszó

Pl.: (0.0, 0.0, 0.0, 0.0) – átlátszó fekete

29

Törlő szín

```
void glClearColor(
    GLclampf red,
    GLclampf green,
    GLclampf blue,
    GLclampf alpha);
```

Aktuális törlő szín beállítása

Alapértelmezés: (0.0, 0.0, 0.0, 0.0)

GLclampf - float

30

Mátrix mód beállítása

Transzformációk: mátrixokkal definiálva
nézeti (viewing),
modellezési (modelling),
vetítési (projection)

```
void glMatrixMode (enum mode);
```

Ha `mode == GL_PROJECTION`, akkor vetítési mátrix
pl.:

```
glMatrixMode (GL_PROJECTION);
```

```
void glLoadIdentity (void);
```

az érvényes mátrix az egység mátrix lesz

31

Vetítési mátrix megadása (2D)

```
void gluOrtho2D(double left, double  
right, double bottom, double top);
```

az objektumok 2D merőleges vetítése a
(*left, right, bottom, top*) téglalagra
pl.:

```
gluOrtho2D(0, 100, 0, 100);
```

32

Program (pontrajzoló) I

```
#include <GL/glut.h>
void init(void) {
    glClearColor(0.0,0.0,0.0,0.0);
    // fekete a törlőszín
    glMatrixMode(GL_PROJECTION);
    // az aktuális mátrix mód: vetítés
    glLoadIdentity();
    // legyen az egység mátrix
    gluOrtho2D(0,100,0,100);
    // párhuzamos vetítés specifikálása
}
```

33

Pufferek törlése

```
void glClear(GLbitfield mask);
```

Pufferek tartalmának a törlése

A pufferek:

```
GL_COLOR_BUFFER_BIT,
GL_DEPTH_BUFFER_BIT,
GL_STENCIL_BUFFER_BIT vagy
GL_ACCUM_BUFFER_BIT
```

Pl. a szín puffer törlése az aktuális törlőszínnel:

```
glClear(GL_COLOR_BUFFER_BIT);
```

34

Objektumok megadása

```
void glBegin(enum mode);
```

```
...
```

```
void glEnd(void);
```

geometriai objektumok specifikációja

mode értéke lehet pl.

```
POINTS, LINES, POLYGON
```

35

Színbeállítás

```
void glColor3f(float r, float g, float b);
```

b byte, **s** single, **i** integer, **f** float, **d** double, **u** unsigned

Színbeállítás csúcspontokhoz van hozzárendelve
Pl.

```
glColor3f(1.0,0.0,0.0); //
```

piros

```
glColor3f(0.0,1.0,0.0); // zöld
```

```
glColor3f(0.0,0.0,1.0); // kék
```

36

Csúcspontok megadása

```
void glVertex{234}{sifd}( T coords );
```

Csúcspont(ok) (vertex) megadása

Pl.:

```
glVertex2i(10,10);
// a pont koordinátája (10, 10)
```

37

Program (pontrajzoló) II

```
void display(void) {
    glClear(GL_COLOR_BUFFER_BIT);
    // képernyő töltés
    glBegin(GL_POINTS);
    // pontokat specifikálunk
    glColor3f(1.0,0.0,0.0); // piros
    glVertex2i(10,10); // piros pont
    glColor3f(0.0,1.0,0.0); // zöld
    glVertex2i(50,10); // zöld pont
    glColor3f(0.0,0.0,1.0); // kék
    glVertex2i(30,80); // kék pont
    glEnd(); // több pont nem lesz
    glFlush(); // rajzolj!
}
```

38

Program (pontrajzoló) III

```
void keyboard(unsigned char key,
               int x, int y){
    switch(key) { // billentyű kezelés
        case 27: // ha escape
            exit(0); // kilép a programból
            break;
    }
}
```

39

Képernyő mód

```
void glutInitDisplayMode
(unsigned int mode);
```

A képernyő módot definiálja

Pl. ha *mode*

```
GLUT_SINGLE | GLUT_RGB
```

akkor az ún. egyszerűen puffertelt, **RGB** módban specifikál ablakot

40

Ablak

```
void glutInitWindowSize
(int width, int height);
Az ablak méretét definiálja pixelemben

void glutInitWindowPosition(int x, int y);
Az ablak bal felső sarkának pozíciója

int glutCreateWindow(char *name);
Megnyit egy ablakot az előző rutinokban specifikált
jellemzőkkel. Ha az ablakozó rendszer lehetővé teszi,
akkor name megjelenik az ablak fejlécén. A visszatérési
érték egy egész, amely az ablak azonosítója.
```

41

Callback függvények

```
void glutDisplayFunc(void(*func)(void));
Azt a callback függvényt specifikálja, amelyet
akkor kell meghívni, ha az ablak tartalmát újra akarjuk
rajzoltatni. Pl.:
```

```
glutDisplayFunc(display);
```

```
void glutKeyboardFunc(void(*func)
(unsigned char key, int x, int y));
Azt a callback függvényt specifikálja, melyet egy
billentyű lenyomásakor kell meghívni. key egy ASCII
karakter. Az x és y paraméterek az egér pozícióját jelzik
a billentyű lenyomásakor (ablak relatív koordinátákban).
Pl.:
```

```
glutKeyboardFunc(keyboard);
```

42

Program (pontrajzoló) IV

```
int main(int argc, char* argv[]) {
    glutInit(&argc, argv);
    glutInitDisplayMode(GLUT_SINGLE | GLUT_RGB);
    // az ablak egyszerűen pufferezt, és RGB módú
    glutInitWindowSize(100, 100); // 100x100-as
    glutInitWindowPosition(100, 100);
    // az ablak bal felső sarkának koordinátája
    glutCreateWindow("3point"); // neve 3point
    init(); // inicializálás
    glutDisplayFunc(display);
    // a képernyő események kezelése
    glutKeyboardFunc(keyboard);
    // billentyűzet események kezelése
    glutMainLoop(); // belépés az esemény hurokba
    return 0;
}
```

43

ALGORITMUSOK RASZTERES GRAFIKÁHOZ

Egyenes rajzolása

Kör rajzolása

Ellipszis rajzolása

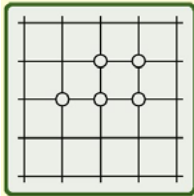
44

Algoritmusok raszteres grafikához

Feladat:

Grafikai primitíveket (pl. vonalat, síkidomot) ábrázolni kép-mátrixszal, meghatározni azokat a képpontokat, amelyek a primitív pontjai, vagy közel vannak a primitívhez

Modell:

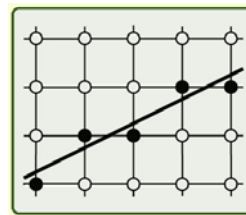


képpont (= körlap), amely a négyzetháló csúcspontjaiban helyezhető el.
A koordináták: egész számok

45

Egyenes rajzolása

Tegyük fel, hogy "vékony" egyenes: $y = mx + b$
meredeksége: $0 < m < 1$
($m = 0, 1, \dots$ triviális speciális esetek)
más esetekben visszavezetjük $0 < m < 1$ -re



Legyen: $x_0 < x_1, y_0 < y_1$

46

Egyenes rajzolása

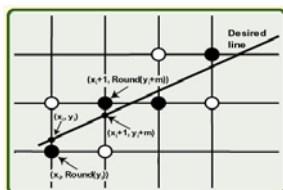
1. Alap inkrementális algoritmus

(x_0, y_0) -t kirajzoljuk. Haladjunk $\Delta x = 1$ növekménnyel balról jobbra, válasszuk a legközelebbi képpontot:

$$(x_{i+1}, [y_{i+1} + 0.5]) = (x_{i+1}, [mx_{i+1} + b + 0.5])$$

A szorzás kiküszöbölhető inkrementálással:

$$y_{i+1} = mx_{i+1} + b = m(x_i + \Delta x) + b = y_i + m \cdot \Delta x = y_i + m$$



47

Alap inkrementális algoritmus

Algoritmus:

(ha $|m| > 1$, akkor x -et cseréljük y -nal)

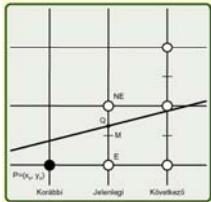
```
void Line(int x0, int y0,
          int x1, int y1, int value) {
    int x;
    double dy, dx, y, m;
    dy = y1 - y0; dx = x1 - x0;
    m = dy/dx; y = y0;
    for(x = x0; x < x1; x++) {
        WritePixel(x, Round(y), value);
        y += m;
    }
} // Line
```

48

Egyenes rajzolása

2. Felezőpont algoritmus egyenesre

egész aritmetika elegendő (Bresenham)



Elv: Azt a képpontot válasszuk NE és E közül, amelyik a Q metszésponthoz közelebb van.

Másképp: a választásban az döntőn, hogy Q az M **felezőpont** melyik oldalán van.

Tegyük fel, hogy:

$$x_0 < x_1, y_0 < y_1$$

49

Felezőpont algoritmus egyenesre

Az (x_0, y_0) és (x_1, y_1) ponton átmenő egyenes egyenlete: $(x - x_0) / (x_1 - x_0) = (y - y_0) / (y_1 - y_0)$
innen: $(x - x_0)(y_1 - y_0) - (y - y_0)(x_1 - x_0) = 0$

Legyen $dx = x_1 - x_0 (> 0)$, $dy = y_1 - y_0 (> 0)$,

akkor: $(x - x_0) dy - (y - y_0) dx = 0$

innen: $x dy - x_0 dy - y dx + y_0 dx = 0$

Legyen: $F(x, y) = x dy - x_0 dy - y dx + y_0 dx$

Világos, hogy

$$F(x, y) \begin{cases} > 0, & \text{ha az egyenes } (x, y) \text{ fölött fut,} \\ = 0, & \text{ha } (x, y) \text{ az egyenesen van,} \\ < 0, & \text{ha az egyenes } (x, y) \text{ alatt fut.} \end{cases}$$

50

Felezőpont algoritmus egyenesre

$$F(x, y) = x dy - x_0 dy - y dx + y_0 dx$$

(x_p, y_p) rajzolása után a **felezőpont kritérium:**

az egyenes választás:

$$d = F(M) = F(x_p + 1, y_p + \frac{1}{2}) \begin{cases} > 0, & M \text{ fölött,} & \text{NE} \\ = 0, & M\text{-en át,} & \text{NE vagy E} \\ < 0, & M \text{ alatt} & \text{E} \end{cases}$$

(d : döntési változó) fut North (észak) East (kelet)

d változása a következő pontnál:

ha előzőleg **E**-t választottuk, akkor

$$\Delta_E = d_{új} - d_{rég} = F(x_p + 2, y_p + \frac{1}{2}) - F(x_p + 1, y_p + \frac{1}{2}) = dy,$$

ha előzőleg **NE**-t választottuk, akkor

$$\Delta_{NE} = F(x_p + 2, y_p + \frac{3}{2}) - F(x_p + 1, y_p + \frac{1}{2}) = dy - dx$$

51

Felezőpont algoritmus egyenesre

$$F(x, y) = x dy - x_0 dy - y dx + y_0 dx$$

Kezdés:

$$d_{start} = F(x_0 + 1, y_0 + \frac{1}{2}) = F(x_0, y_0) + dy - dx/2 = dy - dx/2$$

Azért, hogy egész aritmetikával számolhassunk, használjuk inkább az

$$2F(x, y) = 2 \cdot (x \cdot dy - y \cdot dx + y_0 \cdot dx - x_0 \cdot dy)$$

függvényt, ennek az előjele megegyezik F előjelével,

és ekkor $d_{start} = 2dy - dx$ már egész szám.

52

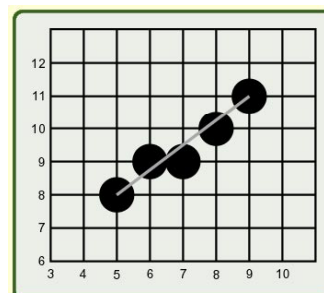
Felezőpont algoritmus egyenesre

```
void MidpointLine(int x0, int y0,
                  int x1, int y1, int value) {
    int dx, dy, incrE, incrNE, d, x, y;
    dx = x1 - x0; dy = y1 - y0; d = 2 * dy - dx;
    incrE = 2 * dy; incrNE = 2 * (dy - dx);
    x = x0; y = y0;
    WritePixel(x, y, value);
    while(x < x1) {
        if(d <= 0) {
            x++; d += incrE;
        } else {
            x++; y++; d += incrNE;
        }
        WritePixel(x, y, value);
    } // while
} // MidpointLine
```

53

Felezőpont algoritmus egyenesre

Eredmény: pl.



Tulajdonságok:

- csak összeadás és kivonás
- általánosítható körre, ellipszisre

54

Egyenes rajzolása

Megjegyzés:

Nem mindig lehet csak balról jobbra haladva rajzolni az egyeneseket.

Pl. szaggatott vonallal rajzolt zárt poligon

Problémák:

1. Különböző pontsorozat lesz az eredmény, ha balról jobbra, vagy ha jobbról balra haladunk.

Legyen a választás:

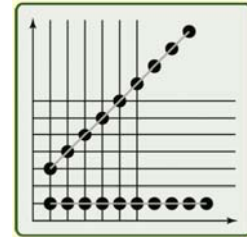
balról jobbra: $d = 0 \rightarrow E$ -t választani

jobbról balra: $d = 0 \rightarrow SW$ -t választani

55

Egyenes rajzolása

2. A vonal pontjainak a sűrűsége függ a meredekségétől



Megoldás: - intenzitás változtatása,
- kitöltött téglalapnak tekinteni az egyenes pontjait

56

OpenGL

Egyenes szakasz rajzolása

57

Program (szakaszrajzoló) I

Rajzoljunk egy 5 pixel vastagságú egyenest, melynek egyik végpontja piros, a másik kék!



58

Program (szakaszrajzoló) II

```
void display() {
    glClearColor(GL_COLOR_BUFFER_BIT);
    glLineWidth(5.0); // 5 pixel vastag vonal
    glShadeModel(GL_SMOOTH);
    glBegin(GL_LINES);
        glColor3d(1.0,0.0,0.0); //A piros végpont
        glVertex2d(0.0,0.0);
        glColor3d(0.0,0.0,1.0); // A kék végpont
        glVertex2d(200.0,200.0);
    glEnd();
    glFlush();
}
```

59

Program (szakaszrajzoló) III

Megjegyzés:

`glShadeModel(GL_SMOOTH)`

`GL_SMOOTH`: ekkor a két végpont között a hozzájuk megadott színekkel interpolál

`GL_FLAT`: utolsó végpont színével rajzol (`GL_POLYGON` esetében az elsőével)

60

Program (szakaszrajzoló) IV

```
int main(int argc, char* argv[]) {
    glutInit(&argc, argv);
    glutInitDisplayMode(GLUT_SINGLE|GLUT_RGB);
    glutInitWindowSize(200,200);
    glutInitWindowPosition(100,100);
    glutCreateWindow("szakasz");
    init();
    glutDisplayFunc(display);
    glutKeyboardFunc(keyboard);
    glutMainLoop();
    return 0;
}
```

61

Kör rajzolása

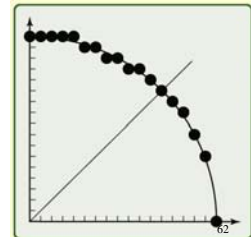
$$x^2 + y^2 = R^2 \quad R: \text{egész}$$

1. Elég egy kör-negyedet/nyolcadot megrajzolni (a többi rész a szimmetria alapján transzformációkkal - pl. tükrözés - előáll)

$$x \text{ 0-tól } R\text{-ig növekszik,}$$

$$y = \sqrt{R^2 - x^2}$$

Drága eljárás
(szorzás, gyökvonás)
Nem egyenletes



Kör rajzolása

2. Polárkoordinátás alak

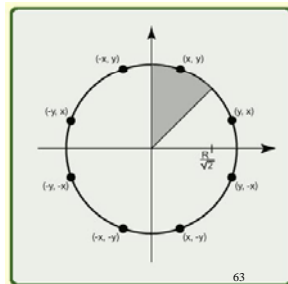
Most is elég egy nyolcad kört kiszámítani:

$$x = R \cdot \cos \theta$$

$$y = R \cdot \sin \theta$$

θ 0° -tól 90° -ig
növekszik

Drága eljárás
(\sin , \cos)



63

Program (nyolcad kör)

Egyszerre 8 pontot helyezünk el:

```
void Circlepoints(int x, int y, value) {
    WritePixel (x, y, value);
    WritePixel (y, x, value);
    WritePixel (y, -x, value);
    WritePixel (x, -y, value);
    WritePixel (-x, -y, value);
    WritePixel (-y, -x, value);
    WritePixel (-y, x, value);
    WritePixel (-x, y, value);
} // CirclePoints
```

64

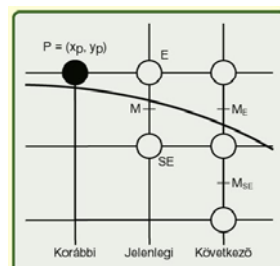
Kör rajzolása

3. Felezőpont algoritmus körre

x 0 -tól $R/\sqrt{2}$ -ig (amíg $x \leq y$)

Elv:

E és **SE** közül azt a pontot választjuk, amelyikhez a körív metszéspontja közelebb van



65

Felezőpont algoritmus körre

$$F(x, y) = x^2 + y^2 - R^2 \begin{cases} > 0, & \text{ha } (x, y) \text{ kívül van,} \\ = 0, & \text{ha } (x, y) \text{ rajta van,} \\ < 0, & \text{ha } (x, y) \text{ belül van.} \end{cases}$$

$$d = F(M) =$$

$$F(x_p + 1, y_p - \frac{1}{2}) = \begin{cases} > 0 \rightarrow & \text{SE-t választani} \\ = 0 \rightarrow & \text{SE vagy E} \\ < 0 \rightarrow & \text{E-t választani} \end{cases}$$

66

Felezőpont algoritmus körre

$$F(x,y) = x^2 + y^2 - R^2$$

d változása a következő pontnál:

ha előzőleg **E**-t választottuk, akkor

$$\begin{aligned}\Delta_E = d_{új} - d_{rég} &= F(x_p + 2, y_p - 1/2) - F(x_p + 1, y_p - 1/2) = \\ &= 2x_p + 3\end{aligned}$$

ha előzőleg **SE**-t választottuk, akkor

$$\begin{aligned}\Delta_{SE} &= F(x_p + 2, y_p - 3/2) - F(x_p + 1, y_p - 1/2) = \\ &= 2x_p - 2y_p + 5\end{aligned}$$

67

Felezőpont algoritmus körre

Az iterációs lépések:

1. a döntési változó előjele alapján kiválasztjuk a következő képpontot
2. $d = d + \Delta_{SE}$ vagy $d + \Delta_E$ (a választástól függően).

Figyeljük meg: d értéke egész számmal változik!

Kezdés:

kezdőpont: $(0, R)$

felezőpont: $(1, R - 1/2)$

$d = F(1, R - 1/2) = 5/4 - R$ **nem egész szám!**

68

Felezőpont algoritmus körre

Nem tudunk egész aritmetikát használni, ezért legyen h új döntési változó:

$$h = d - 1/4 \quad h + 1/4 = d < 0$$

Ekkor kezdéskor

$$h = 5/4 - R - 1/4 = 1 - R$$

Kezdetben, és a későbbiek során is h egész szám!

Igaz, hogy $d < 0$ helyett $h < -1/4$ -et kellene vizsgálni, de ez h egész volta miatt ez ekvivalens $h < 0$ -val, tehát egész aritmetika használható.

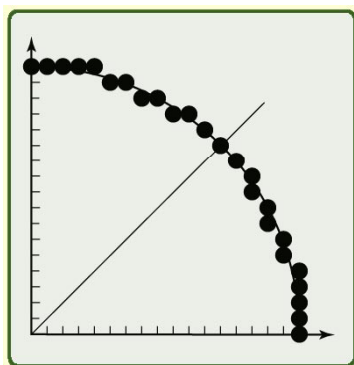
Megjegyzés: F helyett $4F$ -fel is dolgozhatnánk.

69

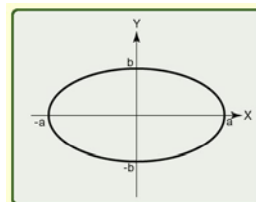
Felezőpont algoritmus körre

```
void MidpointCircle(int R, int value) {
    int h;
    x = 0; y = R; h = 1-R;
    CirclePoints(x,y,value);
    while(y >= x) {
        if(h < 0) {
            x++; h += 2*x+3;
        } else {
            x++; y--;
            h += 2*(x-y)+5;
        }
        CirclePoints(x,y,value);
    } // while
} // MidpointCircle
```

70

Felezőpont algoritmus körre

71

Ellipszis rajzolása

$$x^2/a^2 + y^2/b^2 = 1$$

$$b^2x^2 + a^2y^2 - a^2b^2 = 0$$

a, b egész

$$F(x,y) = b^2x^2 + a^2y^2 - a^2b^2$$

Szimmetria miatt:

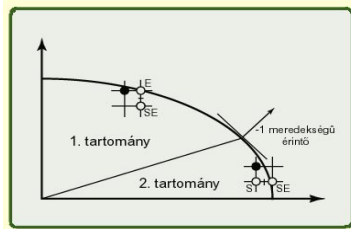
elég az első síknegyedben megrajzolni

72

Ellipszis rajzolása

Da Silva algoritmus (felezőpont algoritmus)

Bontsuk a negyedek két tartományra:



Az 1. tartományban $a^2(y_p - 1/2) > b^2(x_p + 1)$

73

Da Silva algoritmus

$$F(x, y) = b^2x^2 + a^2y^2 - a^2b^2$$

Az 1. tartományban:

$$d_1 = F(x_p + 1, y_p - 1/2) \begin{cases} \geq 0 & \text{E-t választjuk} \\ < 0 & \text{SE-t választjuk} \end{cases}$$

$$\begin{cases} d_{új} - d_{rég} = F(x_p + 2, y_p - 1/2) - F(x_p + 1, y_p - 1/2) \\ d_{új} - d_{rég} = F(x_p + 2, y_p - 3/2) - F(x_p + 1, y_p - 1/2) \end{cases}$$

$$\begin{cases} \Delta_E = b^2(2x_p + 3) \\ \Delta_{SE} = b^2(2x_p + 3) + a^2(-2y_p + 2) \end{cases}$$

74

Da Silva algoritmus

$$F(x, y) = b^2x^2 + a^2y^2 - a^2b^2$$

Az 1. tartományban d változása,

ha előzőleg **E**-t választottuk:

$$d_{új} - d_{rég} = F(x_p + 2, y_p - 1/2) - F(x_p + 1, y_p - 1/2)$$

$$\Delta_E = b^2(2x_p + 3)$$

ha előzőleg **SE**-t választjuk

$$d_{új} - d_{rég} = F(x_p + 2, y_p - 3/2) - F(x_p + 1, y_p - 1/2)$$

$$\Delta_{SE} = b^2(2x_p + 3) + a^2(-2y_p + 2)$$

Δ_E és Δ_{SE} egész szám.

75

Da Silva algoritmus

$$F(x, y) = b^2x^2 + a^2y^2 - a^2b^2$$

Kezdés:

kezdőpont: $(0, b)$

felezőpont: $(1, b - 1/2)$

$$d = F(1, b - 1/2) = b^2 + a^2(-b + 1/4)$$

Ha F helyett $4F$ -el dolgozunk, akkor egész aritmetikát használhatunk.

Házi feladat

Az algoritmus a 2. tartományban

76

```
void MidpointEllipse(int a, int b, int value) {
    int x, y, a2, b2; double d1, d2;
    x = 0; y = b; a2 = a*a; b2 = b*b;
    d1 = b2 - a2*b + a2/4;
    EllipsePoints(x, y, value);
    while (a2*(y-1/2) > b2*(x+1)) {
        if (d1 < 0) {
            d1 += b2*(2*x+3); x++;
        } else {
            d1 += b2*(2*x+3) + a2*(-2*y+2); x++; y--;
        }
        EllipsePoints(x, y, value);
    } // Region1
    d2 = b2*(x+1/2) + a2*(y-1)*(y-1) - a2*b2;
    while (y > 0) {
        if (d2 < 0) {
            d2 += b2*(2*x+2) + a2*(-2*y+3); x++; y--;
        } else {
            d2 += a2*(-2*y+3); y--;
        }
        EllipsePoints(x, y, value);
    } // Region2
} // MidpointEllipse
```

77

Da Silva algoritmus

OpenGL

Feladat:

Kör rajzolása felezőpont algoritmussal

78

GRAFIKUS PRIMITÍVEK KITÖLTÉSE

Téglalap kitöltése
Poligon kitöltése
Kör, ellipszis kitöltése
Kitöltés mintával

79

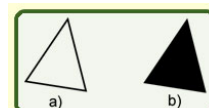
GRAFIKUS PRIMITÍVEK KITÖLTÉSE

Területi primitívek:

Zárt görbék által határolt területek (pl. kör, ellipszis, poligon)

Megjeleníthetők

- Csak a határvonalat reprezentáló pontok kirajzolásával (kitöltetlen)
- Minden belső pont kirajzolásával (kitöltött)



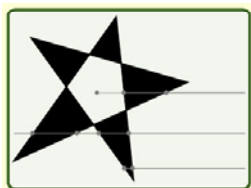
80

GRAFIKUS PRIMITÍVEK KITÖLTÉSE

Alapkérdés:

Mely képpontok tartoznak a grafikus primitívekhez?

Páratlan paritás szabálya:



Páros számú metszéspont:
külső pont

Páratlan számú metszéspont:
belső pont

81

GRAFIKUS PRIMITÍVEK KITÖLTÉSE

Primitívek kitöltésének az elve:

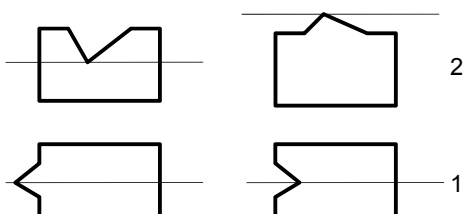


Balról jobbra haladva minden egyes páztázó (scan) vonalon kirajzoljuk a primitív belső pontjait (egyszerre egy szakaszt kitöltve)

82

GRAFIKUS PRIMITÍVEK KITÖLTÉSE

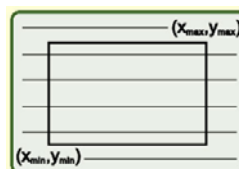
Csúcsponatok metszésekor:



Ha a metszett csúcsponatok lokális minimum vagy maximum, akkor kétszer számítjuk, különben csak egyszer.

83

Téglalap kitöltése



```
for(y = y_min; y < y_max; y++)
  for(x = x_min; x < x_max; x++)
    WritePixel(x, y, value);
```

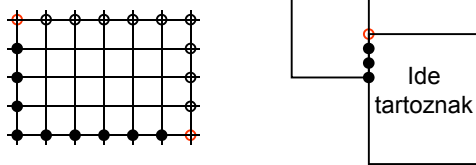
Probléma:

Egész koordinátájú határpontok hova tartozzanak?

84

Téglalap kitöltése

Legyen a szabály pl.: Egy képpont akkor nem tartozik a primitívhez, ha rajta áthaladó él, és a primitív által meghatározott félsík a képpont alatt, vagy attól balra van. Pl.:



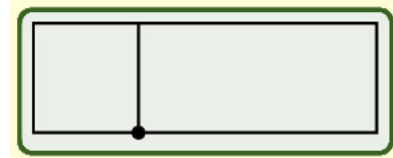
Vagyis a pásztázó vonalon a kitöltési szakasz balról zárt, jobbról nyitott

85

Téglalap kitöltése

Megjegyzések:

- a) Általánosítható poligonokra
- b) A felső sor és jobb szélső oszlop hiányozhat
- c) A bal alsó sarok kétszeresen tartozhat a téglalaphoz



86

Poligon kitöltése

A poligon lehet:

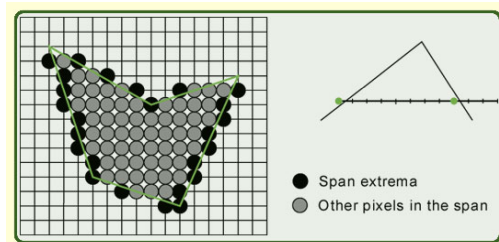
- konvex,
- konkáv,
- önmagát metsző,
- lyukas

Haladjunk a pásztázó egyeneseken és keressük a kitöltési szakaszok végpontjait:

87

Poligon kitöltése

- a) A felezőpont algoritmus szerint választjuk a végpontokat (azaz, nem számít, hogy azok a poligonon kívül, vagy belül vannak);

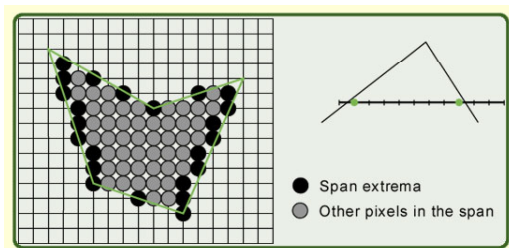


Diszjunkt poligonoknak lehet közös képpontjuk

88

Poligon kitöltése

- b) A végpontokat a poligonhoz tartozó képpontok közül választjuk



89

Algoritmus poligonok kitöltésére

Minden pásztázó egyenesre:

1. A pásztázó egyenes és a poligon élei metszéspontjainak a meghatározása
2. A metszéspontok rendezése növekvő x-koordináták szerint

90

Algoritmus poligonok kitöltésére

3. A poligon belsejébe tartozó szakasz(ok) végpontjai közötti képpontok kirajzolása Használjuk a páratlan paritás szabályát: Tegyük fel, hogy a bal szélén kívül vagyunk, utána minden egyes metszéspont megváltoztatja a paritást



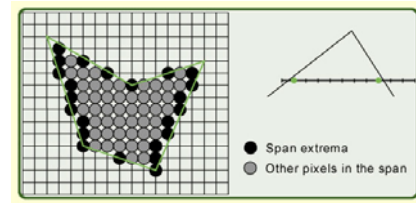
91

Algoritmus poligonok kitöltésére

- 3.1 Adott x nem egész értékű metszéspont.

Ha kívül vagyunk, akkor legyen a végpont a fölfelé kerekített x

Ha belül vagyunk, akkor legyen a végpont a lefelé kerekített x



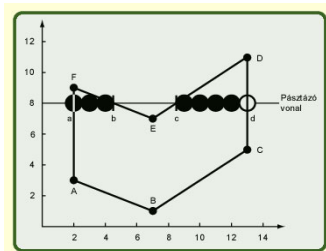
92

Algoritmus poligonok kitöltésére

- 3.2 Adott x egész értékű metszéspont

Ha ez bal végpont, akkor ez belső pont

Ha ez jobb végpont, akkor ez külső pont



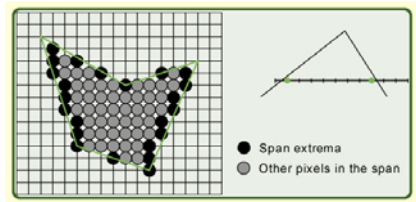
93

Algoritmus poligonok kitöltésére

- 3.2.1 A poligon csúcspontjaiban:

y_{min} csúcspont beszámít a paritásba

y_{max} csúcspont nem számít a paritásba, tehát y_{max} csúcspont csak akkor lesz kirajzolva, ha az a szomszédos él y_{min} pontja is



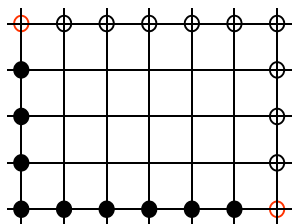
94

Algoritmus poligonok kitöltésére

- 3.2.2 Vízszintes él esetén:

Az ilyen élek csúcspontjai nem számítanak a paritásba

Egész y koordináta esetén az alsó élet rajzoljuk, a felsőt nem



95

Példa poligon kitöltésére

A fekete nem számít a paritásba

A vastag éleket rajzolni kell, a vékonyat nem

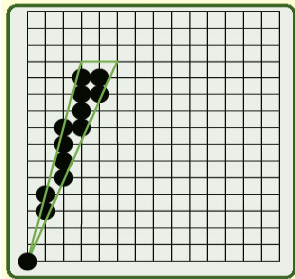
A piros beszámít a paritásba

A vonalak alsó végét rajzolni kell, a felsőt nem

96

Poligon kitöltése

Szilánkok: olyan poligon-területek, amelyek belsejében nincs kitöltendő szakasz = hiányzó képpontok



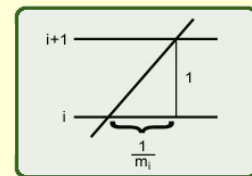
97

Poligon kitöltése

Implementáció:

Nem kell minden egyes pásztázó vonalra újra kiszámolni minden metszéspontot, mert általában csak néhány metszéspont érdekes az i -dik pásztázó vonalról az $i+1$ -dikre átlépve

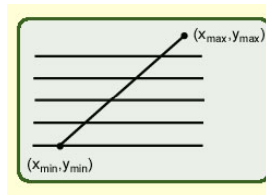
$$x_{i+1} = x_i + \frac{1}{m_i}$$



98

Poligon kitöltése

Tegyük fel hogy: $m > 1$
($m = 1$ triviális, $m < 1$ kicsit bonyolultabb)



$$\Delta x = \frac{1}{m} = \frac{x_{\max} - x_{\min}}{y_{\max} - y_{\min}} \quad (< 1)$$

$x = \text{egész rész} + \text{tört rész}$
 $[x] \quad \{x\}$

$$[x_{i+1}] = [x_i] \quad \text{vagy} \quad [x_i] + 1$$

$$\{x_{i+1}\} = \{x_i\} + \Delta x \quad \text{vagy} \quad \{x_i\} + \Delta x - 1$$

99

Poligon kitöltése

Tegyük fel, hogy a bal határon vagyunk!

Ha $\{x_i\} = 0$, akkor (x, y) -t rajzolni kell (a vonalon van)

Ha $\{x_i\} \neq 0$, akkor fölfelé kell kerekíteni x -et (belső pont)

Egész értékű aritmetika használható:

tötrész helyett a számlálót és nevezőt kell tárolni

100

Poligon kitöltése

```
void LeftEdgeScan(int xmin, int ymin,
                  int xmax, int ymax, int value) {
    int x, y, numerator, denominator, increment;
    x = xmin; numerator = xmax - xmin;
    denominator = ymax - ymin;
    increment = denominator;
    for(y = ymin; y < ymax; y++) {
        WritePixel(x, y, value);
        increment += numerator;
        if(increment > denominator) {
            x++; increment -= denominator;
        }
    }
}
```

101

Poligon kitöltése

Adatstruktúrák:

ÉT: (Élek Táblázata)

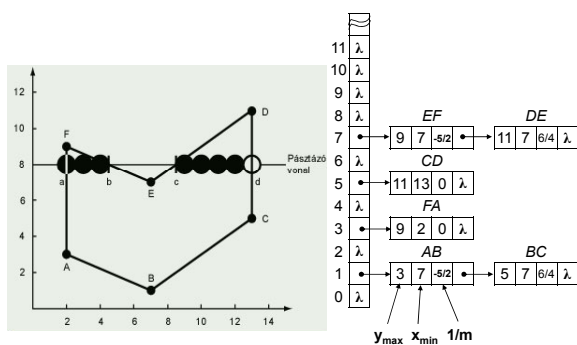
A kisebbik y értékük szerint rendezve az összes élet tartalmazza. **A vízszintes élek kimaradnak!**

Annyi lista van, ahány pásztázó vonal. Minden listában azok az élek szerepelnek, amelyek alsó végpontja a pásztázó vonalon van. A listák az élek alsó végpontjának x koordinátája, ezen belül a meredekség reciproka szerint rendezettek

Minden lista elem tartalmazza az él y_{\max} , x_{\min} koordinátáját és a meredekség reciprokát.

102

Poligon kitöltése



103

Poligon kitöltése

AÉT: (Aktív Élek Táblázata)

A pásztázó vonalat metsző éleket tartalmazza a metszéspontok x koordinátája szerint rendezve. Ezek a metszéspontok kitöltési szakaszokat határoznak meg az aktuális pásztázó vonalon.

Ez is lista.

104

Algoritmus poligon kitöltésére

0. ÉT kialakítása
1. y legyen az ÉT-ben levő nem üres listák közül a legkisebb y
2. AÉT inicializálása (üres)
3. A továbbiakat addig ismételjük, amíg ÉT végére érünk és AÉT üres lesz:

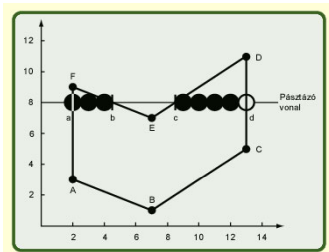
105

Algoritmus poligon kitöltésére

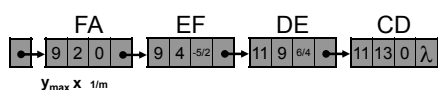
- 3.1 ÉT-ből az y -hoz tartozó listát – a rendezést megtartva – AÉT-hez másoljuk
- 3.2 AÉT-ből kivesszük azokat az éleket, amelyekre $y_{max} = y$ (a felső éleket nem töltjük ki)
- 3.3 A kitöltési szakaszok pontjait megjelenítjük
- 3.4 $y = y + 1$
- 3.5 Minden AÉT-beli élben módosítjuk x -et

106

Poligon kitöltése



AÉT az $y = 8$ pásztázó vonalon:



107

Poligon kitöltése

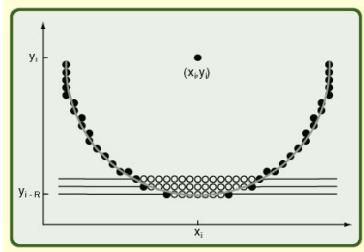
Megjegyzés:

Háromszögekre, trapézokra egyszerűsíthető az algoritmus, mert a pásztázó egyeneseknek legfeljebb 2 metszéspontja lehet egy háromszöggel vagy egy trapézzal (nem kell ÉT).

108

Kör, ellipszis kitöltése

P belül van, ha $F(P) < 0$, de most is használható a felezőpont módszer. Hasonló algoritmussal számíthatók a kitöltési szakaszok.



109

Háromszög kitöltése (OpenGL)

Egyetlen színnel

```
glBegin(GL_TRIANGLES);
    glColor3f(0.1, 0.2, 0.3);
    glVertex3f(0, 0, 0);
    glVertex3f(1, 0, 0);
    glVertex3f(0, 1, 0);
glEnd();
```

110

Háromszög kitöltése (OpenGL)

Több színnel (Gouraud-féle módon interpolálva)

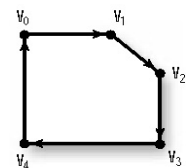
```
glShadeModel(GL_SMOOTH); //G-árnyalás
glBegin(GL_TRIANGLES);
    glColor3d(1.0,0.0,0.0);
    glVertex3d(5.0,5.0,0.0);
    glColor3d(0.0,0.0,1.0);
    glVertex3d(195.0,5.0,0.0);
    glColor3d(0.0,1.0,0.0);
    glVertex3d(100.0,195.0,0.0);
glEnd();
```



111

Poligon létrehozása (OpenGL)

```
glBegin(GL_POLYGON);
    glVertex3d(0,100,0);
    glVertex3d(50,100,0);
    glVertex3d(100,50,0);
    glVertex3d(100,0,0);
    glVertex3d(0,0,0);
glEnd();
```



Az **OpenGL** csak síkbeli konvex sokszögek helyes kirajzolását garantálja
Az elsőként specifikált csúcspont színe lesz a primitív színe, ha

```
glShadeModel(GL_FLAT);
```

112

Poligon (OpenGL)

3D-s poligonoknak két oldaluk van: elülső és hátulsó oldal. Alapértelmezésben mindkét oldal ugyanúgy rajzolódik ki, de ezen lehet változtatni:

```
void glPolygonMode(enum face, enum mode);
```

face:

- `GL_FRONT_AND_BACK`
- `GL_FRONT`
- `GL_BACK`;

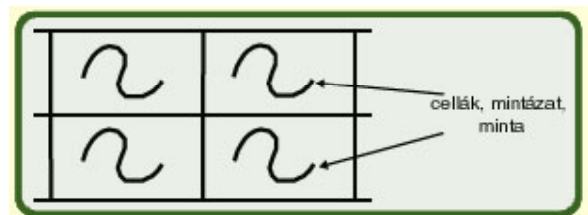
mode:

- `GL_POINT` csak a csúcspontokat rajzolja ki
- `GL_LINE` a határvonalat rajzolja ki
- `GL_FILL` kitölti a poligont

113

Kitöltés mintával

Általában: terület kitöltése szabályosan ismétlődő grafikus elemekkel

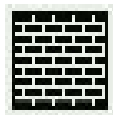


Képmátrixok (raszter) esetében a cella egy (kisméretű) mátrix

114

Kitöltés mintával

Példa:



Tégla minta

Lehet a kitöltés "átlátszó" is: nem minden képpontot írunk felül, csak azokat, ahol a minta nem 0

115

Kitöltés mintával

Fajtái:

1. Válasszunk egy pontot a **primitív**ben (pl. bal felsőt), egy pontot a mintában (pl. bal felsőt), illesszük azokat egymásra, a többi pont illeszkedése már kiszámítható
2. Válasszunk egy pontot a **képernyőn** (pl. bal felsőt), egy pontot a mintában (pl. bal felsőt), illesszük azokat egymásra, a többi pont illeszkedése már kiszámítható (most a mintázat a képernyőhöz van rögzítve)

116

Kitöltés mintával

Legyen:

minta $M * N$ -es mátrix

minta $[0,0] \rightarrow$ képernyő $[0,0]$

akkor

1. módszer: Pásztázás soronként (átlátszó)

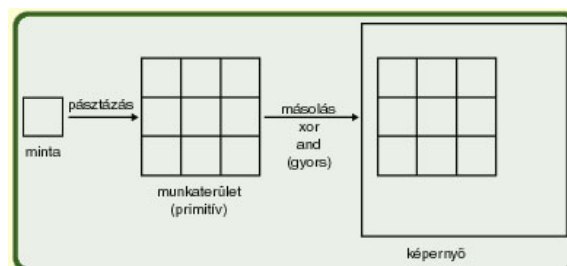
```
if(minta[x % M][y % N])
    WritePixel(x,y,érték);
```

Gyorsabb: több képpont (sor) egyszerre történő másolásával (esetleg maszkolás is szükséges a sor elején vagy végén)

117

Kitöltés mintával

2. módszer: Téglalap írás

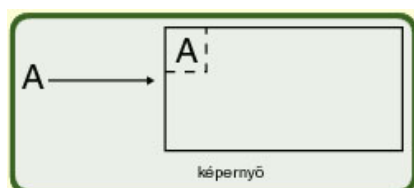


118

Kitöltés mintával

Csak akkor érdemes használni, ha a primitívet sokszor kell használni

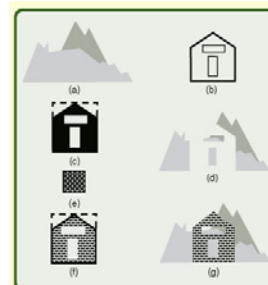
Pl. karakterek megjelenítése



119

Kitöltés mintával

A téglalap írás kitöltés kombinálható képek közötti műveletekkel, így bonyolult ábrák készíthetők:

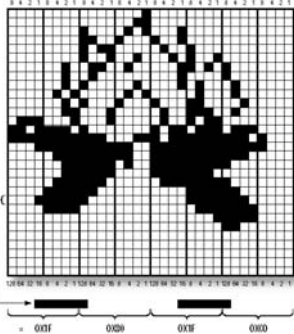


(a) hegyek, (b) ház vonalai, (c) a ház kitöltött bitmap képe, (d) (a)-ból kitöröltük (c)-t, (e) téglala minta, (f) (b) téglala mintával kitöltve, (g) (e) (d)-re másolva

120

Kitöltés mintával (OpenGL)

```
void glPolygonStipple(const ubyte *mask);
```



Kitöltési minta beállítása
mask: egy 32×32-es
bittérkép (minta)

121

Kitöltés mintával (OpenGL)

A kitöltési minta

`glEnable(GL_POLYGON_STIPPLE)` engedélyezése
`glDisable(GL_POLYGON_STIPPLE)` tiltása

Pl.:

```
void display() {
    glClear(GL_COLOR_BUFFER_BIT);
    //Képernyő törlés
    glShadeModel(GL_FLAT);
    //Árnyalási mód: FLAT
    glPolygonStipple(mask); // A minta
    glEnable(GL_POLYGON_STIPPLE); //engedélyezés
    rajz(); //Az alakzat kirajzolása
    glDisable(GL_POLYGON_STIPPLE); //tiltás
}
```

122

Kitöltés mintával (OpenGL)

Példa:



123

VASTAG PRIMITÍVEK RAJZOLÁSA

Képpontok ismétlése

Mozgó ecset

Területkitöltés

Közelítés vastag szakaszokkal

124

VASTAG PRIMITÍVEK RAJZOLÁSA

Több képpontnyi vastagságú vonalak

Milyen alakú legyen az ecset?

Kör?

Téglalap?

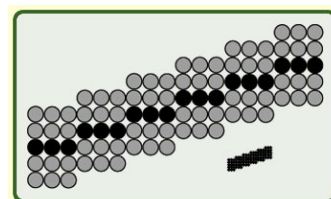
Forduljon a vonallal?

125

VASTAG PRIMITÍVEK RAJZOLÁSA**1. Képpontok ismétlése**

A pásztázó vonalas algoritmus kiterjesztése:

ha $-1 < m < 1$, akkor a képpontokat többszörözzük
meg az oszlopokban;
különben a sorokban

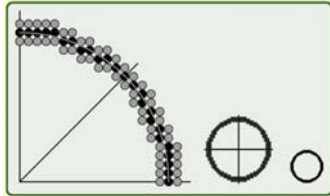


126

Képpontok ismétlése

Tulajdonságai:

- a) gyors,
- b) a vonal végek mindig vízszintesek vagy függőlegesek,
- c) a vonal vastagsága függ a meredekségtől
- d) a duplázás nem megy: a vonal valamelyik oldala felé vastagabb



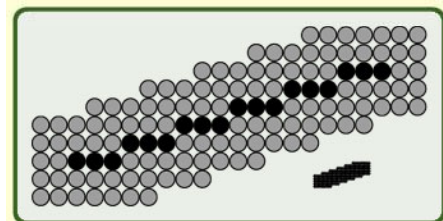
Jó módszer, ha nem túl vastag a vonal

127

VASTAG PRIMITÍVEK RAJZOLÁSA

2. Mozgó ecset

Téglalap alakú „ecset”, aminek a középpontja (vagy csúcspontja) az 1 pixel vastag vonalon mozog (az ecset nem "forog")



128

Mozgó ecset

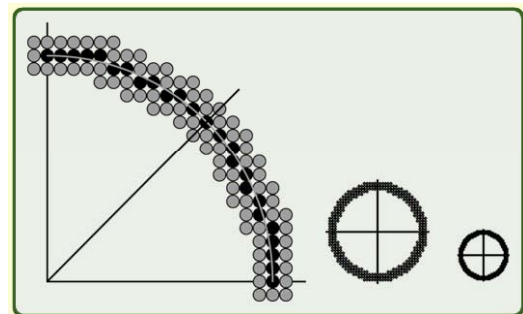
Tulajdonságai:

- hasonló 1-hez, de
- a) a végpontok „nagyobbak”
- b) a vonal vastagsága függ a meredekségtől és az ecset alakjától
- jobb a kör alakú ecset

Implementáció: ecset (= minta) másolása az 1 pixel vastag vonal minden pontjába

129

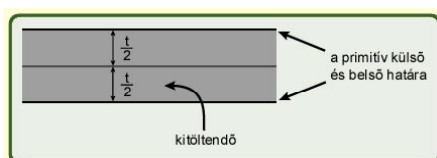
Mozgó ecset



130

VASTAG PRIMITÍVEK RAJZOLÁSA

3. Területkitöltés



Terület primitíveknél a külső határvonalhoz használhatjuk az eredeti határvonalat, elegendő tehát a belsőt meghatározni

131

Területkitöltés

Tulajdonságai:

- a) ugyanolyan jó páros és páratlan vastagra
- b) a vonal vastagsága nem függ a meredekségtől

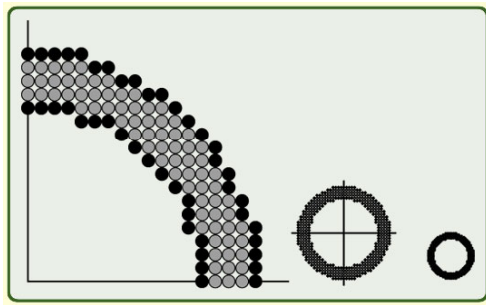
Kör esetén: külső és belső kör

Ellipszis esetén:

$$\left. \begin{array}{ll} a - t/2, b - t/2 & \text{belső} \\ a + t/2, b + t/2 & \text{külső} \end{array} \right\} \text{ellipszisek}$$

132

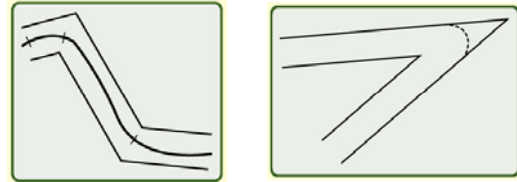
Területkitöltés



133

VASTAG PRIMITÍVEK RAJZOLÁSA

4. Közelítés vastag szakaszokkal



Szakaszonként lineáris approximáció

- a) szép
- b) vastag vonalakat simán kell illeszteni

134

Pont mérete (OpenGL)

```
Void glPointSize(GLfloat size);
```

Nem minden méretet támogatnak az implementációk:

```
GLfloat sizes[2]; // méret tartomány
GLfloat step; // támogatott lépés
```

```
glGetFloatv(GL_POINT_SIZE_RANGE, sizes);
glGetFloatv(GL_POINT_SIZE_GRANULARITY,
&step);
```

135

Szakaszok rajzolása (OpenGL)

Független szakasz (GL_LINES):

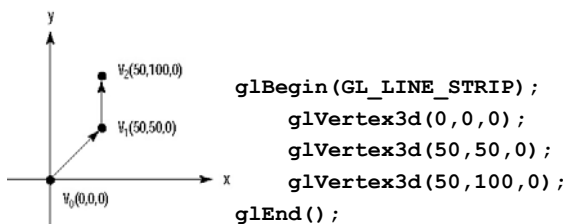
Az elsőként specifikált két csúcspont határozza meg az első szakaszt, a második két csúcspont a második szakaszt, ... (nincsenek összekötve)

136

Szakaszok rajzolása (OpenGL)

Szakasz sorozat (GL_LINE_STRIP):

Egy vagy több összekötött szakasz specifikálása a végpontok sorozatának megadásával. Pl.:

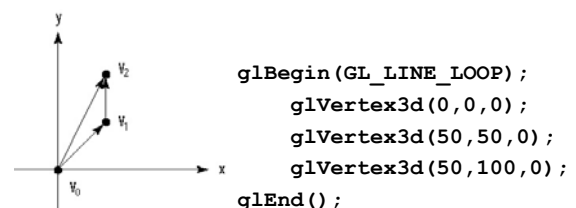


137

Szakaszok rajzolása (OpenGL)

Szakasz hurok (GL_LINE_LOOP):

Ugyanaz, mint a LINE_STRIP, de az utolsóként specifikált csúcspontot összekötjük az elsőként specifikált csúcsponttal. Pl.:

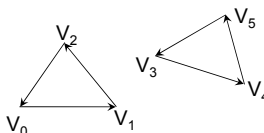


138

Háromszögek rajzolása (OpenGL)

Független háromszögek (GL_TRIANGLES):

Az elsőként specifikált három csúcspont határozza meg az első háromszöget, a második három csúcspont a második háromszöget, ...

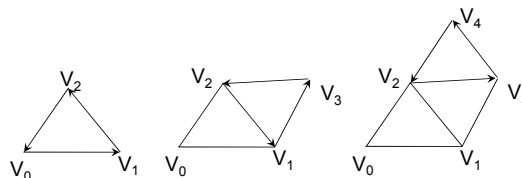


139

Háromszögek rajzolása (OpenGL)

Háromszög sorozat (GL_TRIANGLE_STRIP):

Egy vagy több szomszédos háromszög specifikálása a csúcspontok sorozatának megadásával. Pl.:

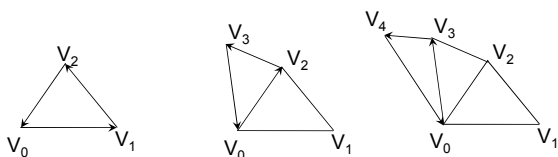


140

Háromszögek rajzolása (OpenGL)

Háromszög legyező (GL_TRIANGLE_FAN):

Egy vagy több szomszédos háromszög specifikálása a csúcspontok sorozatának megadásával. Pl.:



141

Vonal vastagsága (OpenGL)

```
Void glLineWidth(GLfloat width);
```

Nem minden vastagságot támogatnak az implementációk:

```
GLfloat sizes[2]; // vastagság tartomány
GLfloat step; // támogatott lépés
```

```
glGetFloatv(GL_LINE_WIDTH_RANGE, sizes);
glGetFloatv(GL_LINE_WIDTH_GRANULARITY, &step);
```

142

Szakaszok élsimítása (OpenGL)

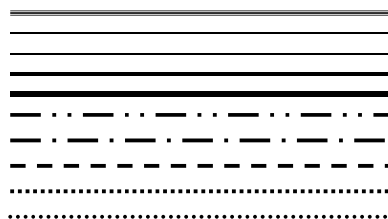
A szakaszok élsimítását engedélyezni a

`GL_LINE_SMOOTH` argumentummal meghívott `glEnable`, tiltani a `glDisable` függvénnyel lehet.

Ha az élsimítás engedélyezett, akkor nem egész szélességek is megadhatók, és ekkor a szakasz szélén kirajzolt képpontok intenzitása kisebb, mint a szakasz közepén lévő képpontoké.

143

VONAL STÍLUS



144

VONAL STÍLUS

Primitívek attribútumai:

- vonal vastagság
- szín
- vonal stílus
- stb...

Vonal stílus:

- folytonos
- szaggatott
- pontozott
- felhasználó által definiált

145

VONAL STÍLUS

Stílus:

8 vagy 16 bites maszk írja le, hogy mely biteknek megfelelő pontok legyenek kirajzolva, mint a vonal pontjai

Pl: 11111111 = folytonos

11101110 = szaggatott

Rajzolás: (maszkolással)

146

VONAL STÍLUS

Hátránya:

A szaggatások távolsága függ a meredekségtől

Megoldás:

A távolságot számolva rajzolni a szakaszokat

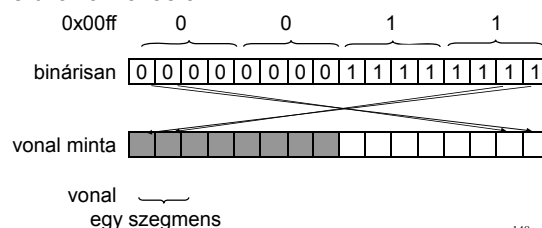
147

Szakasz stílus (OpenGL)

```
void glLineStipple(int factor,
                  ushort pattern);
```

Pattern (maszk): 16 bites bináris jelsorozat

factor: A pattern-ben levő minden bit **factor**-szor kerül alkalmazásra.



148

Szakasz stílus (OpenGL)

Pl.:

```
glLineStipple(1, 0x3F07);
glEnable(GL_LINE_STIPPLE);
```

A minta: 0011111100000111
(az alacsony helyértékű bittel kezdünk).

```
glLineStipple(2, 0x3F07);
glEnable(GL_LINE_STIPPLE);
```

A minta: 00001111111111110000000000111111

Szakasz stílus

```
glEnable(GL_LINE_STIPPLE)      engedélyezése
glDisable(GL_LINE_STIPPLE)    tiltása
```

149

Szakasz stílus (OpenGL)

Megoldandó feladat:

Rajzoljunk ötszöget olyan egyenes szakaszokból, amelyek a következő mintákból épülnek fel:



150

VÁGÁS

A vágásról általában

Pontok vágása

Vonalak, szakaszok vágása egyenletrendszer megoldásával

A COHEN - SUTHERLAND -féle vonal vágás

Parametrikus vonal vágó algoritmus

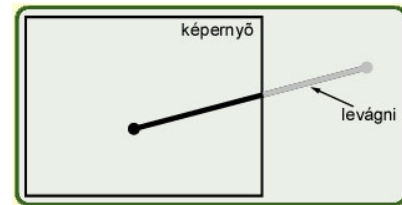
Körök és ellipszisek vágása

Poligonok vágása

151

VÁGÁS

A primitívekből csak annyit szabad mutatni, amennyi látszik belőlük (takarás, kilógás a képből)



152

VÁGÁS

Módszerek:

1. Vágjuk le a megjelenítés előtt, azaz számítsuk ki a metszéspontokat és az új végpontokkal rajzoljunk
2. Pásztázzuk a teljes primitívet, de csak a látható képpontokat jelenítjük meg: minden (x, y) -ra ellenőrzés
3. A teljes primitívet munkaterületre rajzoljuk, majd innen átmásoljuk a megfelelő darabot

153

VÁGÁS

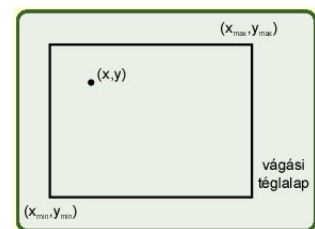
Pontok vágása:

(x, y) belül van, ha

$$x_{min} \leq x \leq x_{max}$$

és

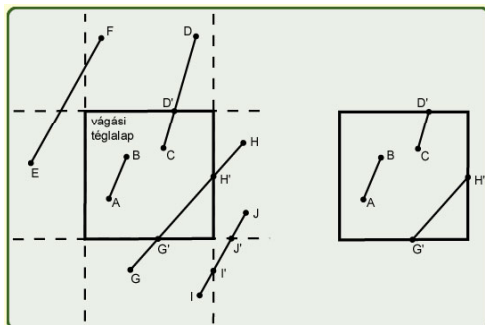
$$y_{min} \leq y \leq y_{max}$$



154

VÁGÁS

Szakaszok vágása egyenletrendszer megoldásával



155

Szakaszok vágása egyenletrendszer megoldásával

Elég a végpontokat vizsgálni:

- a) Ha mindkét végpont belül van, akkor a teljes vonal belül van, nincs vágás;
- b) Ha pontosan egy végpont van belül, akkor metszéspontot kell számolni és vágni;
- c) Ha mindkét végpont kívül van, akkor további vizsgálat szükséges: lehet, hogy nincs közös része a vágási téglalappal, de lehet, hogy van.

156

Szakaszok vágása egyenletrendszer megoldásával

A vágási téglalap minden élére megvizsgáljuk:
van-e az élnek közös része a szakasszal
Egyenesek metszéspontjának meghatározása,
és az élen belül van-e a metszéspont

Problémák:

Egyenesek (nem szakaszok!) metszéspontjai,
Speciális esetek (vízszintes, függőleges egyenesek)

157

Szakaszok vágása egyenletrendszer megoldásával

Javítás: parametrikus alak

$$x = x_0 + t \cdot (x_1 - x_0)$$

$$t \in [0, 1] \text{ (szakaszt ír le)}$$

$$y = y_0 + t \cdot (y_1 - y_0)$$

Metszéspont:

$t_{él}$: a metszéspont paramétere az élen

t_{vonal} : a metszéspont paramétere a vonalon

Ha $t_{él}, t_{vonal} \in [0, 1]$, akkor belül van

Még így sem hatékony a módszer, mert sokat kell ellenőrizni és számolni

158

COHEN - SUTHERLAND - féle szakasz vágás

A végpontok kódolása:

--	--	--	--

$$y > y_{\max} \quad y < y_{\min} \quad x > x_{\max} \quad x < x_{\min}$$

$$y_{\max} - y \quad y - y_{\min} \quad x_{\max} - x \quad x - x_{\min}$$

előjele előjele előjele előjele

	x_{\min}	x_{\max}	
y_{\max}	1001	1000	1010
	0001	0000	0010
y_{\min}	0101	0100	0110

159

COHEN - SUTHERLAND - féle szakasz vágás

A végpontok kódolása: Minden végpont annak megfelelő kódot ($code_1$, $code_2$) kap, hogy melyik tartományban van.

(x_1, y_1) és (x_2, y_2) a szakasz két végpontja.

	x_{\min}	x_{\max}	
y_{\max}	1001	1000	1010
	0001	0000	0010
y_{\min}	0101	0100	0110

160

COHEN - SUTHERLAND - féle szakasz vágás

Előzetes vizsgálatok:

- Ha a végpontok belül vannak, akkor nincs mit vágni (triviális elfogadás). Ilyenkor:

$$code_1 = code_2 = 0000$$

	x_{\min}	x_{\max}	
y_{\max}	1001	1000	1010
	0001	0000	0010
y_{\min}	0101	0100	0110

161

COHEN - SUTHERLAND - féle szakasz vágás

különben, ha (bitenként) $code_1 \text{ AND } code_2 = \text{TRUE}$

- $x_1, x_2 < x_{\min} \text{ (}. . . 1 \text{.)}$
 vagy $x_1, x_2 > x_{\max} \text{ (}. . . 1 \text{.)}$
 vagy $y_1, y_2 < y_{\min} \text{ (}. 1 . . \text{.)}$
 vagy $y_1, y_2 > y_{\max} \text{ (} 1 . . . \text{.)}$
- } minden kívül van
(triviális elvetés)

	x_{\min}	x_{\max}	
y_{\max}	1001	1000	1010
	0001	0000	0010
y_{\min}	0101	0100	0110

162

COHEN - SUTHERLAND - féle szakasz vágás

különben:

3. az $(x_1, y_1) - (x_2, y_2)$ szakasz metszi valamelyik élet.
- Vegyünk egy külső végpontot (legalább egyik az; ha több van, akkor válasszuk közülük felülről lefelé és jobbról balra haladva az első), számítsuk ki a metszéspontot.
- A két részre vágott szakasz egyik fele a 2. pont alapján triviálisan elvethető.

163

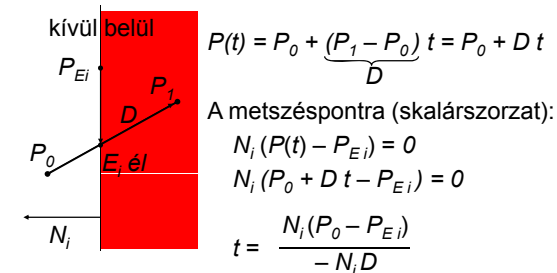
COHEN - SUTHERLAND - féle szakasz vágás

Interaktív módon is használható

Hatékony, mert gyakori, hogy sok vagy kevés szakasz van belül

A legáltalánosabban használt eljárás

164

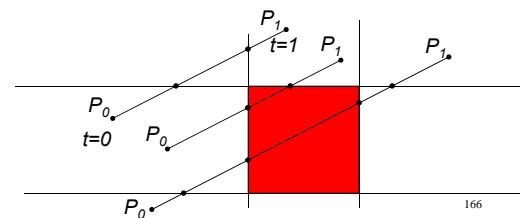
Parametrikus szakasz vágó algoritmus

Ha $N_i D$ $\begin{cases} < 0, \text{ akkor belép a félsíkba,} \\ = 0, \text{ akkor párhuzamos a félsík élével,} \\ > 0, \text{ akkor kilép a félsíkból.} \end{cases}$

165

Parametrikus szakasz vágó algoritmus

Meghatározható az egyenesnek a téglalap 4 élével való 4 metszéspontja (4 db t érték).
Melyik két t a megfelelő?



166

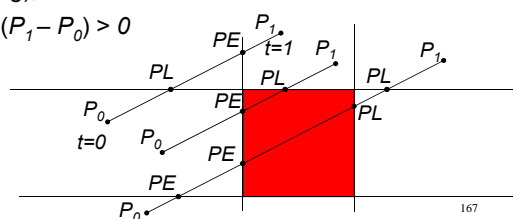
Parametrikus szakasz vágó algoritmus

PE olyan pont, ahol P_0 -ból P_1 -felé haladva belépünk egy belső félsíkba (potential entering), ekkor

$$N_i (P_1 - P_0) < 0$$

PL olyan, ahol kilépünk egy belső félsíkból (potential leaving), ekkor

$$N_i (P_1 - P_0) > 0$$



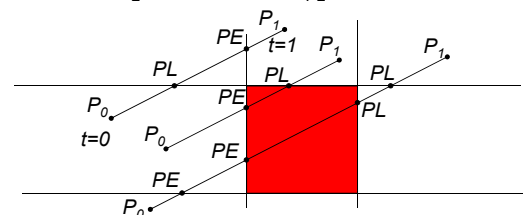
167

Parametrikus szakasz vágó algoritmus

Legyen

$$t_E = \max \{0, \max\{t_{PE}\}\},$$

$$t_L = \min \{1, \min\{t_{PL}\}\}$$



- Ha $t_E > t_L$, akkor nincs belső metszés
- különben $t_E, t_L \in [0, 1]$, és ez a belső szakasz

168

Parametrikus szakasz vágó algoritmus számítása

A metszéspontok számítása:

él_i vágás	N_i	P_{Ei}	$P_0 - P_{Ei}$	$t = \frac{N_i \cdot (P_0 - P_{Ei})}{-N_i \cdot D}$
bal $x = x_{\min}$	$(-1, 0)$	(x_{\min}, y)	$(x_0 - x_{\min}, y_0 - y)$	$-\frac{(x_0 - x_{\min})}{(x_1 - x_0)}$
jobb $x = x_{\max}$	$(1, 0)$	(x_{\max}, y)	$(x_0 - x_{\max}, y_0 - y)$	$\frac{(x_0 - x_{\max})}{-(x_1 - x_0)}$
lent $y = y_{\min}$	$(0, -1)$	(x, y_{\min})	$(x_0 - x, y_0 - y_{\min})$	$-\frac{(y_0 - y_{\min})}{(y_1 - y_0)}$
fent $y = y_{\max}$	$(0, 1)$	(x, y_{\max})	$(x_0 - x, y_0 - y_{\max})$	$\frac{(y_0 - y_{\max})}{-(y_1 - y_0)}$

169

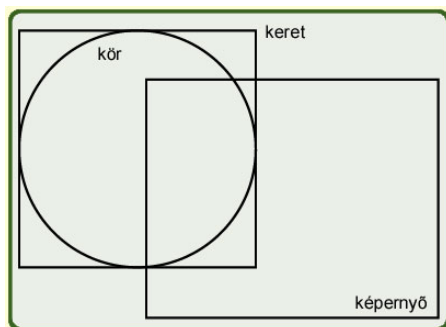
Parametrikus szakasz vágó algoritmus

```

begin
   $N_i$  kiszámítása,  $P_{Ei}$  kiválasztása minden élre;
  for szakaszokra
    if  $P_1 = P_0$  then pont vágása;
    else begin
       $t_E = 0$ ;  $t_L = 1$ ;  $D = P_1 - P_0$ ;
      for él és szakasz párokra
        if  $N_i \cdot D \neq 0$  then begin
           $t$  kiszámítása.  $N_i \cdot D < 0$ : PE,  $> 0$ : PL;
          if PE then  $t_E = \max(t_E, t)$ ;
          if PL then  $t_L = \min(t_L, t)$ ;
        end;
      if  $t_E > t_L$  then nincs belső metszés
      else  $P(t_E)$ -től  $P(t_L)$ -ig belső metszés
    end
  end
end

```

170

Körök és ellipszisek vágása

171

Körök és ellipszisek vágása**Triviális vizsgálat:**

Ha a keret belül van, akkor a kör is belül van, nincs mit vágni;

Ha a keret kívül van, akkor a kör is kívül van, nincs mit vágni.

Különböz:

Körnegyedekre (nyolcadokra) kiszámítjuk a kör és a téglalap élének metszéspontját, utána pásztázás

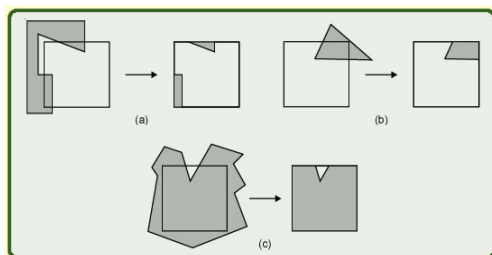
Ha a kör nem nagy, akkor pixelenként dönthetünk.

Ellipszis: hasonlóan.

172

Poligonok vágása

Sok eset lehet:



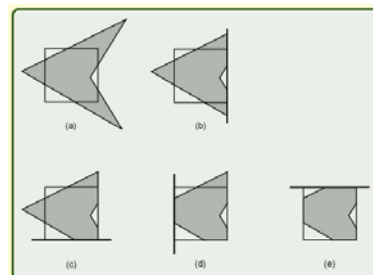
Általában minden éllel vágni kell

173

Poligonok vágása

SUTHERLAND, HODGMAN:

vágjunk
egyenként
az összes
éllel



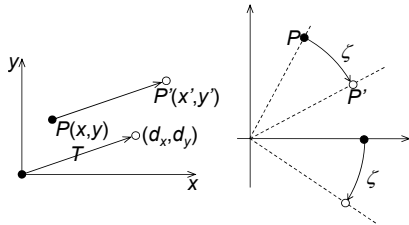
(v_1, v_2, \dots, v_n)
csúcspontok

algorithmus

$(v'_1, v'_2, \dots, v'_m)$
új csúcspontok

174

Geometriai transzformációk



175

Bevezetés - Transzformációk

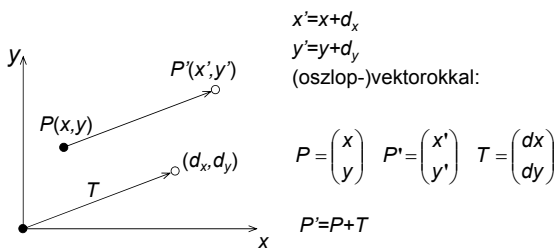
A Számítógépes Grafikában használatos 2- és 3-dimenziós transzformációk:

- eltolás
- nagyítás, kicsinyítés (skálázás)
- forgatás

176

Pont 2D eltolása

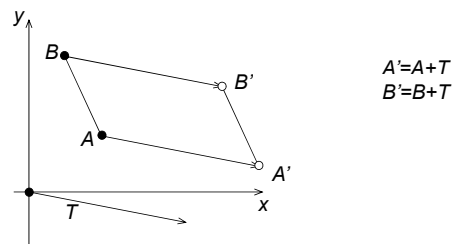
Hosszak és a szögek változatlanok



177

Szakasz 2D eltolása

Elegendő az új végpontokat számolni



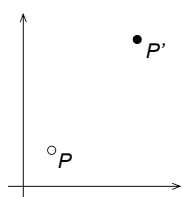
178

2D nagyítás/kicsinyítés

A szögek változatlanok

Szokták a kettőt együtt **SKÁLÁZÁSKÉNT** említeni

Origóból történő
nagyítás



Általános skálázás

$$x' = x \cdot s_x$$

$$y' = y \cdot s_y$$

(oszlop-)vektorokkal:

$$P = \begin{pmatrix} x \\ y \end{pmatrix} \quad P' = \begin{pmatrix} x' \\ y' \end{pmatrix} \quad S = \begin{pmatrix} s_x & 0 \\ 0 & s_y \end{pmatrix}$$

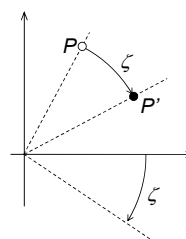
$$P' = S \cdot P$$

179

2D forgatás

A hosszak és a szögek változatlanok

Origó körüli forgatás



$$x' = x \cdot \cos \zeta - y \cdot \sin \zeta$$

$$y' = x \cdot \sin \zeta + y \cdot \cos \zeta$$

$$\begin{pmatrix} x' \\ y' \end{pmatrix} = R = \begin{pmatrix} \cos \zeta & -\sin \zeta \\ \sin \zeta & \cos \zeta \end{pmatrix} \begin{pmatrix} x \\ y \end{pmatrix}$$

$$P' = R \cdot P$$

180

Homogén koordináták

(x, y) jelölése homogén koordinátákkal: (x, y, w)

Egyenlőség:

$(x, y, w) = (x', y', w')$, ha van olyan α hogy:

$$x' = \alpha \cdot x, y' = \alpha \cdot y, w' = \alpha \cdot w$$

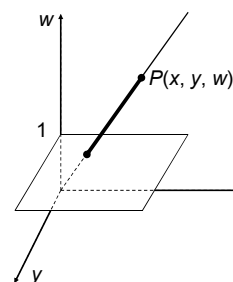
pl: $(2, 3, 6) = (4, 6, 12)$

Egy ponthoz végtelen sok (x, y, w) tartozik.

Ha $w = 0$, akkor (x, y, w) végtelen távoli pont

$(0, 0, 0)$ nem megengedett!

181

Kapcsolat 2D és 3D közt

$(t \cdot x, t \cdot y, t \cdot w)$
egyenes a 3D térben

$$\left(\frac{x}{w}, \frac{y}{w}, 1 \right)$$

P vetülete a $w = 1$ síkon

A végtelen távoli pontok nincsenek a síkon

182

2D eltolás - matematikailag

$$P' = T(d_x, d_y) P,$$

$$\text{ahol } T(d_x, d_y) = \begin{pmatrix} 1 & 0 & d_x \\ 0 & 1 & d_y \\ 0 & 0 & 1 \end{pmatrix} \quad \begin{pmatrix} x' \\ y' \\ 1 \end{pmatrix} = \begin{pmatrix} 1 & 0 & d_x \\ 0 & 1 & d_y \\ 0 & 0 & 1 \end{pmatrix} \begin{pmatrix} x \\ y \\ 1 \end{pmatrix}$$

Ismételt eltolások (kompozíció):

$$P \xrightarrow{T(d_{x1}, d_{y1})} P' \xrightarrow{T(d_{x2}, d_{y2})} P''$$

$$P' = T(d_{x1}, d_{y1}) P,$$

$$P'' = T(d_{x2}, d_{y2}) P' = T(d_{x2}, d_{y2}) (T(d_{x1}, d_{y1}) P)$$

$$T(d_{x1} + d_{x2}, d_{y1} + d_{y2}) = \begin{pmatrix} 1 & 0 & d_{x1} \\ 0 & 1 & d_{y1} \\ 0 & 0 & 1 \end{pmatrix} \begin{pmatrix} 1 & 0 & d_{x2} \\ 0 & 1 & d_{y2} \\ 0 & 0 & 1 \end{pmatrix} = \begin{pmatrix} 1 & 0 & d_{x1} + d_{x2} \\ 0 & 1 & d_{y1} + d_{y2} \\ 0 & 0 & 1 \end{pmatrix}$$

183

2D skálázás - matematikailag

$$P' = S(s_x, s_y) P,$$

$$\begin{pmatrix} x' \\ y' \\ 1 \end{pmatrix} = \begin{pmatrix} s_x & 0 & 0 \\ 0 & s_y & 0 \\ 0 & 0 & 1 \end{pmatrix} \begin{pmatrix} x \\ y \\ 1 \end{pmatrix}$$

Ismételt skálázások (kompozíció):

$$P \xrightarrow{S(s_{x1}, s_{y1})} P' \xrightarrow{S(s_{x2}, s_{y2})} P''$$

$$P' = S(s_{x1}, s_{y1}) P,$$

$$P'' = S(s_{x2}, s_{y2}) P' = S(s_{x2}, s_{y2}) (S(s_{x1}, s_{y1}) P)$$

$$S(s_{x1} s_{x2}, s_{y1} s_{y2}) = \begin{pmatrix} s_{x2} & 0 & 0 \\ 0 & s_{y2} & 0 \\ 0 & 0 & 1 \end{pmatrix} \begin{pmatrix} s_{x1} & 0 & 0 \\ 0 & s_{y1} & 0 \\ 0 & 0 & 1 \end{pmatrix} = \begin{pmatrix} s_{x2} s_{x1} & 0 & 0 \\ 0 & s_{y2} s_{y1} & 0 \\ 0 & 0 & 1 \end{pmatrix}$$

184

2D forgatás - matematikailag

$$\begin{pmatrix} x' \\ y' \\ 1 \end{pmatrix} = \begin{pmatrix} \cos \zeta & -\sin \zeta & 0 \\ \sin \zeta & \cos \zeta & 0 \\ 0 & 0 & 1 \end{pmatrix} \begin{pmatrix} x \\ y \\ 1 \end{pmatrix}$$

$$P' = R(\zeta) P$$

$(R(\zeta))$ ortogonális

Ismételt forgatások:

$$P' = R(\zeta_1) P,$$

$$P'' = R(\zeta_2) P' = R(\zeta_2) (R(\zeta_1) P) = R(\zeta_1 + \zeta_2) P$$

Bizonyítás: Házi feladat

185

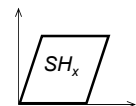
2D nyírás

A hosszak és a szögek változhatnak

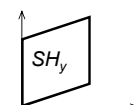
Párhuzamos egyenesek képe párhuzamos

$$SH_x = \begin{pmatrix} 1 & a & 0 \\ 0 & 1 & 0 \\ 0 & 0 & 1 \end{pmatrix}$$

$$SH_y = \begin{pmatrix} 1 & 0 & 0 \\ b & 1 & 0 \\ 0 & 0 & 1 \end{pmatrix}$$



$$\begin{pmatrix} x' \\ y' \\ 1 \end{pmatrix} = \begin{pmatrix} 1 & a & 0 \\ 0 & 1 & 0 \\ 0 & 0 & 1 \end{pmatrix} \begin{pmatrix} x \\ y \\ 1 \end{pmatrix} = \begin{pmatrix} x + ay \\ y \\ 1 \end{pmatrix}$$



186

Affin transzformációk

Affin transzformáció: eltolások, skálázások, forgatások és nyírások tetszőleges számú és sorrendű egymás utáni alkalmazásával kapott transzformáció

187

2D transzformációk kompozíciója

1. példa

Forgatás ζ -val egy tetszőleges $P(x,y)$ pont körül.

a) eltolás P -ből O -ba $T(-x, -y)$

b) forgatás az origó körül $R(\zeta)$

c) eltolás O -ból P -be $T(x,y)$

$$\begin{pmatrix} 1 & 0 & x \\ 0 & 1 & y \\ 0 & 0 & 1 \end{pmatrix} \begin{pmatrix} \cos \zeta & -\sin \zeta & 0 \\ \sin \zeta & \cos \zeta & 0 \\ 0 & 0 & 1 \end{pmatrix} \begin{pmatrix} 1 & 0 & -x \\ 0 & 1 & -y \\ 0 & 0 & 1 \end{pmatrix} =$$

$$= \begin{pmatrix} \cos \zeta & -\sin \zeta & x(1 - \cos \zeta) + y \sin \zeta \\ \sin \zeta & \cos \zeta & y(1 - \cos \zeta) - x \sin \zeta \\ 0 & 0 & 1 \end{pmatrix}$$

188

2D transzformációk kompozíciója

2. példa

Nagyítás egy tetszőleges $P(x, y)$ pontból:

$$T(x, y) \cdot S(s_x, s_y) \cdot T(-x, -y) =$$

$$\begin{pmatrix} 1 & 0 & x \\ 0 & 1 & y \\ 0 & 0 & 1 \end{pmatrix} \begin{pmatrix} s_x & 0 & 0 \\ 0 & s_y & 0 \\ 0 & 0 & 1 \end{pmatrix} \begin{pmatrix} 1 & 0 & -x \\ 0 & 1 & -y \\ 0 & 0 & 1 \end{pmatrix} =$$

$$= \begin{pmatrix} s_x & 0 & x(1 - s_x) \\ 0 & s_y & y(1 - s_y) \\ 0 & 0 & 1 \end{pmatrix}$$

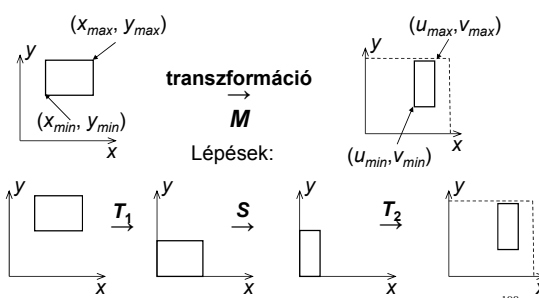
189

2D transzformációk kompozíciója

3. példa /1

„Világ koordináta rendszer”

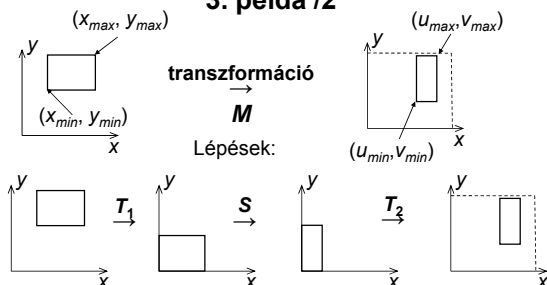
„Képernyő koordináta rendszer”



190

2D transzformációk kompozíciója

3. példa /2



$$M = T(u_{\min}, v_{\min}) S \left(\frac{u_{\max} - u_{\min}}{x_{\max} - x_{\min}}, \frac{v_{\max} - v_{\min}}{y_{\max} - y_{\min}} \right) T(-x_{\min}, -y_{\min}) =$$

191

2D transzformációk kompozíciója

3. példa /3

$$M = T(u_{\min}, v_{\min}) S \left(\frac{u_{\max} - u_{\min}}{x_{\max} - x_{\min}}, \frac{v_{\max} - v_{\min}}{y_{\max} - y_{\min}} \right) T(-x_{\min}, -y_{\min}) =$$

$$= \begin{pmatrix} 1 & 0 & u_{\min} \\ 0 & 1 & v_{\min} \\ 0 & 0 & 1 \end{pmatrix} \begin{pmatrix} \frac{u_{\max} - u_{\min}}{x_{\max} - x_{\min}} & 0 & 0 \\ 0 & \frac{v_{\max} - v_{\min}}{y_{\max} - y_{\min}} & 0 \\ 0 & 0 & 1 \end{pmatrix} \begin{pmatrix} 1 & 0 & -x_{\min} \\ 0 & 1 & -y_{\min} \\ 0 & 0 & 1 \end{pmatrix} =$$

$$= \begin{pmatrix} \frac{u_{\max} - u_{\min}}{x_{\max} - x_{\min}} & 0 & -x_{\min} \frac{u_{\max} - u_{\min}}{x_{\max} - x_{\min}} + u_{\min} \\ 0 & \frac{v_{\max} - v_{\min}}{y_{\max} - y_{\min}} & -y_{\min} \frac{v_{\max} - v_{\min}}{y_{\max} - y_{\min}} + v_{\min} \\ 0 & 0 & 1 \end{pmatrix}$$

192

2D transzformációk kompozíciója 3. példa /4

$$M = \begin{pmatrix} \frac{u_{\max}-u_{\min}}{x_{\max}-x_{\min}} & 0 & -x_{\min} \frac{u_{\max}-u_{\min}}{x_{\max}-x_{\min}} + u_{\min} \\ 0 & \frac{v_{\max}-v_{\min}}{y_{\max}-y_{\min}} & -y_{\min} \frac{v_{\max}-v_{\min}}{y_{\max}-y_{\min}} + v_{\min} \\ 0 & 0 & 1 \end{pmatrix}$$

tehát

$$P' = MP(x, y, 1) = \begin{pmatrix} (x-x_{\min}) \frac{u_{\max}-u_{\min}}{x_{\max}-x_{\min}} + u_{\min} \\ (y-y_{\min}) \frac{v_{\max}-v_{\min}}{y_{\max}-y_{\min}} + v_{\min} \\ 1 \end{pmatrix}$$

193

Általános kompozíció mátrix

Skálázások, forgatások, nyírások és eltolások kompozíciója a legáltalánosabb esetben is

$$M = \begin{pmatrix} t_{11} & t_{12} & t_{13} \\ t_{21} & t_{22} & t_{23} \\ 0 & 0 & 1 \end{pmatrix}$$

alakú mátrixot eredményez.

194

Gyorsítások

$$M = \begin{pmatrix} t_{11} & t_{12} & t_{13} \\ t_{21} & t_{22} & t_{23} \\ 0 & 0 & 1 \end{pmatrix}$$

M·P számításakor:

9 szorzás és 6 összeadás helyett elegendő

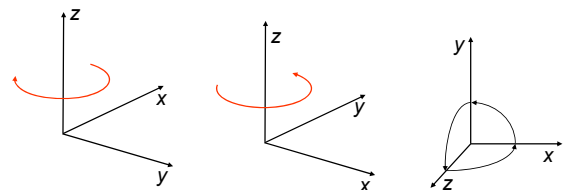
$$x' = x \cdot t_{11} + y \cdot t_{12} + t_{13}$$

$$y' = x \cdot t_{21} + y \cdot t_{22} + t_{23}$$

kiszámítása, ami csak 4 szorzás és 4 összeadás

195

3D koordináta-rendszerek



balkezes
bal-sodrású

jobbkezes
jobb-sodrású

196

3D transzformációk - homogén koordináták

(x, y, z) megadása homogén koordinátákkal: $(x, y, z, 1)$

$(x, y, z, w) = (x', y', z', w')$, ha van olyan α , hogy

$$x' = \alpha \cdot x, \quad y' = \alpha \cdot y, \quad z' = \alpha \cdot z \quad \text{és} \quad w' = \alpha \cdot w$$

Ha $w \neq 0$: $(x/w, y/w, z/w, 1)$ a szokásos jelölés

Ha $w = 0$: $(x, y, z, 0)$ végtelen távoli pont

Kapcsolat: (x, y, z) - egyenes a 4-dimenziós térben, aminek a $w=1$ 3D térrel való metszete a homogén koordináta

197

3D eltolás

$$T(d_x, d_y, d_z) = \begin{pmatrix} 1 & 0 & 0 & d_x \\ 0 & 1 & 0 & d_y \\ 0 & 0 & 1 & d_z \\ 0 & 0 & 0 & 1 \end{pmatrix}$$

$$\text{mert} \quad T(d_x, d_y, d_z) \begin{pmatrix} x \\ y \\ z \\ 1 \end{pmatrix} = \begin{pmatrix} x + d_x \\ y + d_y \\ z + d_z \\ 1 \end{pmatrix}$$

$$T^{-1}(d_x, d_y, d_z) = T(-d_x, -d_y, -d_z)$$

198

3D skálázás (nagyítás/kicsinyítés)

$$S(s_x, s_y, s_z) = \begin{pmatrix} s_x & 0 & 0 & 0 \\ 0 & s_y & 0 & 0 \\ 0 & 0 & s_z & 0 \\ 0 & 0 & 0 & 1 \end{pmatrix}$$

mert $S(s_x, s_y, s_z) \begin{pmatrix} x \\ y \\ z \\ 1 \end{pmatrix} = \begin{pmatrix} x \cdot s_x \\ y \cdot s_y \\ z \cdot s_z \\ 1 \end{pmatrix}$

$$S^{-1}(s_x, s_y, s_z) = \begin{pmatrix} 1/s_x & 0 & 0 & 0 \\ 0 & 1/s_y & 0 & 0 \\ 0 & 0 & 1/s_z & 0 \\ 0 & 0 & 0 & 1 \end{pmatrix}$$

199

3D forgatások

A z-tengely körül

$$R_z(\xi) = \begin{pmatrix} \cos \xi & -\sin \xi & 0 & 0 \\ \sin \xi & \cos \xi & 0 & 0 \\ 0 & 0 & 1 & 0 \\ 0 & 0 & 0 & 1 \end{pmatrix}$$

Az x-tengely körül

$$R_x(\xi) = \begin{pmatrix} 1 & 0 & 0 & 0 \\ 0 & \cos \xi & -\sin \xi & 0 \\ 0 & \sin \xi & \cos \xi & 0 \\ 0 & 0 & 0 & 1 \end{pmatrix}$$

Az Y-tengely körül

$$R_y(\xi) = \begin{pmatrix} \cos \xi & 0 & \sin \xi & 0 \\ 0 & 1 & 0 & 0 \\ -\sin \xi & 0 & \cos \xi & 0 \\ 0 & 0 & 0 & 1 \end{pmatrix}$$

200

3D nyírás

$$SH_{xy}(sh_x, sh_y) = \begin{pmatrix} 1 & 0 & sh_x & 0 \\ 0 & 1 & sh_y & 0 \\ 0 & 0 & 1 & 0 \\ 0 & 0 & 0 & 1 \end{pmatrix}$$

mert

$$SH_{xy}(sh_x, sh_y) \begin{pmatrix} x \\ y \\ z \\ 1 \end{pmatrix} = \begin{pmatrix} x + sh_x z \\ y + sh_y z \\ z \\ 1 \end{pmatrix}$$

201

3D kompozíció-mátrix

A legáltalánosabb kompozíció alakja:

$$M = \begin{pmatrix} t_{11} & t_{12} & t_{13} & t_{14} \\ t_{21} & t_{22} & t_{23} & t_{24} \\ t_{31} & t_{32} & t_{33} & t_{34} \\ 0 & 0 & 0 & 1 \end{pmatrix}$$

A mátrix szorzáshoz képest most is meg lehet takarítani műveleteket.

202

3D - síkok transzformációiA sík egyenlete: $Ax + By + Cz + D = 0$ Legyen P a sík tetszőleges pontja!

Ha $P = \begin{pmatrix} x \\ y \\ z \\ 1 \end{pmatrix}$, akkor $N = \begin{pmatrix} A \\ B \\ C \\ D \end{pmatrix}$ a sík normálisa,

hiszen $N^T P = 0$ Ha a sík pontjait M -el transzformáljuk, akkor hogy transzformálódik a sík normálisa?

203

3D - síkok transzformációiLegyen P tetszőleges pont a síkban! Ekkor $N^T P = 0$.Melyik az a Q mátrix, amelyre $(Q N)^T (M P) = 0$?Ha M^{-1} létezik, akkor

$$((M^{-1})^T N)^T (M P) = N^T ((M^{-1})^T)^T M P = N^T P = 0$$

 \Downarrow

$$Q = (M^{-1})^T$$

$$N' = (M^{-1})^T N$$

(NEM BIZTOS, hogy M^{-1} létezik! Pl.: vetítés esetén)

204

3D koordináta-rendszerek váltása /1

$P^{(j)}$: a P pont az j koordináta-rendszerben

$M_{i \leftarrow j}$: transzformáció, amely
a j koordináta-rendszerbeli pontokat
az i koordináta-rendszerbe viszi át

Ekkor

$$P^{(i)} = M_{i \leftarrow j} P^{(j)}$$

Ha $P^{(i)} = M_{i \leftarrow k} P^{(k)}$, akkor

$$P^{(i)} = M_{i \leftarrow j} P^{(j)} = M_{i \leftarrow j} (M_{j \leftarrow k} P^{(k)}) = M_{i \leftarrow k} P^{(k)}$$

ahol

$$M_{i \leftarrow k} = M_{i \leftarrow j} M_{j \leftarrow k}$$

205

3D koordináta-rendszerek váltása /2

Továbbá

$$M_{i \leftarrow j} = M_{j \leftarrow i}^{-1}$$

pl:

a) Ha $M_{i \leftarrow j} = T(tx, ty)$, akkor $M_{j \leftarrow i} = T(-tx, -ty)$.

b) Ha R : jobb-, L : bal-kezes koordináta-rendszer
azonos origóval és párhuzamos tengelyekkel, akkor

$$M_{R \leftarrow L} = M_{L \leftarrow R}^{-1} = \begin{pmatrix} 1 & 0 & 0 & 0 \\ 0 & 1 & 0 & 0 \\ 0 & 0 & -1 & 0 \\ 0 & 0 & 0 & 1 \end{pmatrix}$$

206

3D - transzformációk alakja
(Különböző koordináta-rendszerekben)

$P^{(j)}$: pont a j koordináta-rendszerben

$Q^{(j)}$: transzformáció a j koordináta-rendszerben

Melyik az a $Q^{(j)}$, amelyre

$$Q^{(j)} P^{(j)} = M_{i \leftarrow j} Q^{(i)} P^{(i)}$$

Mivel $P^{(i)} = M_{i \leftarrow j} P^{(j)}$, ezért

$$Q^{(j)} M_{i \leftarrow j} P^{(j)} = M_{i \leftarrow j} Q^{(i)} P^{(i)},$$

↓

$$Q^{(j)} M_{i \leftarrow j} = M_{i \leftarrow j} Q^{(i)}$$

$$Q^{(j)} = M_{i \leftarrow j} Q^{(i)} M_{i \leftarrow j}^{-1}$$

207

Mátrix műveletek (OpenGL)

OpenGL-ben oszlopfolytonosan tároljuk a mátrixokat.

Az egység mátrix:

$$\text{GLfloat } M[] = \begin{pmatrix} a_1 & a_5 & a_9 & a_{13} \\ 1.0, & 0.0, & 0.0, & 0.0, \\ 0.0, & 1.0, & 0.0, & 0.0, \\ 0.0, & 0.0, & 1.0, & 0.0, \\ 0.0, & 0.0, & 0.0, & 1.0 \end{pmatrix}$$

Új aktuális mátrix betöltése:

```
void glLoadMatrix{fd} (T M[16]);
```

```
glMatrixMode(GL_MODELVIEW); // típus
glLoadMatrix(M); // betöltés
```

208

Mátrix műveletek (OpenGL)

Az aktuális mátrix legyen az egység mátrix:

```
void glLoadIdentity(void);
```

Az aktuális mátrix szorzása:

```
void glMultMatrix{fd} (T M[16]);
```

Pl.:

```
GLfloat M[] = {
    1.0, 0.0, 0.0, 10.0,
    0.0, 1.0, 0.0, 0.0,
    0.0, 0.0, 1.0, 0.0,
    0.0, 0.0, 0.0, 1.0}
```

```
glMatrixMode(GL_MODELVIEW);
glMultMatrix(M);
```

A szorzat lesz az új aktuális mátrix

209

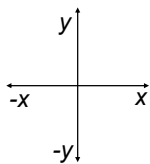
Koordináta transzformációk (OpenGL)

- **Nézeti (Viewing)**
a néző (kamera) helyének a megadása
- **Modell (Modeling)**
az objektumok (modell) mozgatása
- **Modell-nézet (ModelView)**
a nézeti és a modell transzformációk együtt
- **Vetítési (Projection)**
a nézet vágása és látótérbe méretezése
- **Ablak**
az eredmény ablakra való leképezése

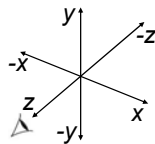
210

Nézeti koordináták (OpenGL)

- A megfigyelő nézőpontja kezdetben (0, 0, 0)
- A megfigyelő a z tengely negatív irányába néz. Virtuálisan rögzített koordináta rendszer



Ahogy a megfigyelő látja a modellt

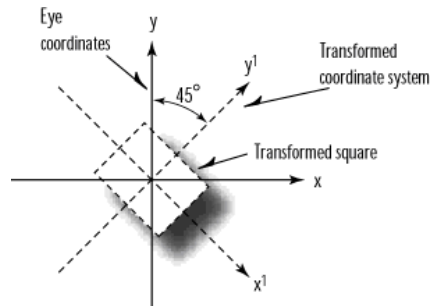


Így látnánk oldalról a megfigyelőt a pozíciójának a z tengely irányába történő elmozdítása után

211

Nézeti koordináták (OpenGL)

A nézeti koordináta rendszer elforgatása 45° -kal az ótamatató járásával megegyező irányban



212

Nézeti (Viewing) transzformáció (OpenGL)

Ez hajtódik végre először, ezt kell legelőször definiálni

Nézőpont meghatározása

- Kezdeti nézőpont (0, 0, 0)
- `gluLookAt` paranccsal módosítható

213

Nézeti (Viewing) transzformáció (OpenGL)

```
void gluLookAt(
    GLdouble eyex, GLdouble eyeey,
    GLdouble eyez,
    GLdouble centerx, GLdouble centery,
    GLdouble centerz,
    GLdouble upx, GLdouble upy,
    GLdouble upz)
(eyex, eyeey, eyez) a szem pozíciója
(centerx, centery, centerz)
referenciapont, ahová a szem néz
(upx, upy, upz)
felfelé mutató vektor (up-vektor, VUP)
```

Pl.:

```
gluLookAt(0.0,0.0,2.0, 0.0,0.0,0.0,
0.0,1.0,0.0);
```

214

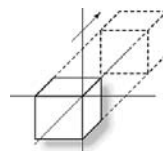
Nézeti (Viewing) transzformáció (OpenGL)

A `gluLookAt` eljárás kiszámítja a megadott nézeti transzformáció inverzét, majd az aktuális mátrixot megszorozza a kapott inverz transzformációs mátrixszal

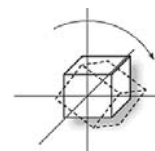
Az aktuális mátrix mód a
`GL_MODELVIEW` legyen!

215

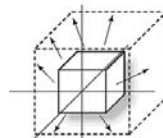
Modell (Modeling) transzformáció (OpenGL)



eltolás (transzláció)



forgatás (rotáció)



skálázás

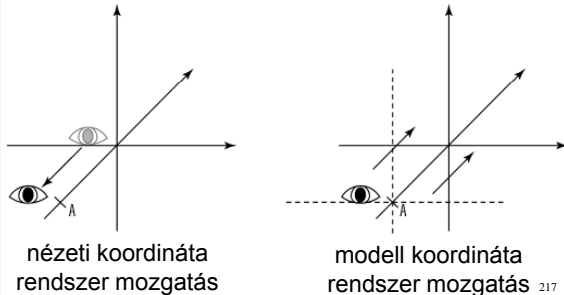
A modell vagy egy részének a transzformálására használjuk

A csúcspont (vertex) koordinátákat transzformálja

216

Modell-nézeti dualitás (OpenGL)

A nézeti és a modell transzformációk duálisak, ezért elegendő csak a modell koordináta rendszert transzformálni



217

Modell transzformációk (OpenGL)

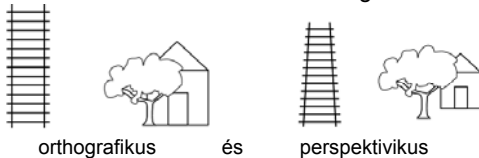
```
glMatrixMode(GL_MODELVIEW);
void glRotatef(float a, T x, T y, T z);
  a: forgatás fokban; (x, y, z): forgási tengely
pl. 45 fokos forgatás az x-tengely körül:
  glRotated(45, 1.0, 0.0, 0.0)
void glTranslatef(float x, float y, float z);
  (x, y, z): az eltolás vektora
pl.: x-tengely mentén 50 egységgel való eltolás
  glTranslated(50, 0, 0)
void glScalef(float x, float y, float z);
  (x, y, z) skálázás mértéke a tengelyek mentén
pl.: glScaled(0.5, 0.5, 0.5)
      0.5-szörös uniform nagyítás
```

218

Vetítési (projection) transzformáció (OpenGL)

```
glMatrixMode(GL_PROJECTION);
```

Kétféle vetítési lehetőség



Megadjuk a látóteret is
Végrehajtás:

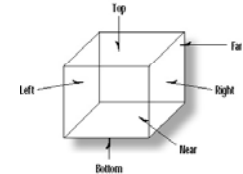
új projekciómátrix =
projekciómátrix · specifikált mátrix

219

Ortografikus vetítés (OpenGL)

```
void glOrtho(double left, double right,
             double bottom, double top,
             double near, double far);
```

Orthogonális (ortografikus)
vetítés vágási terének
megadása



2D eset:

```
void gluOrtho2D(
    double left, double right,
    double bottom, double top);
```

220

Perspektív vetítés (OpenGL)

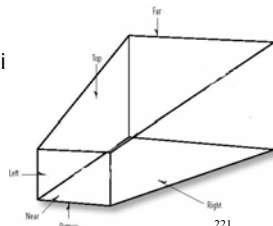
```
void glFrustum(double left, double right,
               double bottom, double top,
               double znear, double zfar);
```

left, right: a bal és jobb oldali vágósík x koordinátája

bottom, top: az alsó és felső
vágósík y koordinátája

znear, zfar: a közeli és távoli
vágósík z koordinátája.

Nézőpont:
az origó: (0, 0, 0)

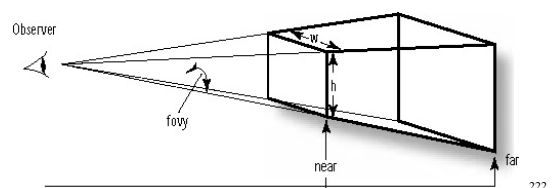


221

Perspektív vetítés (OpenGL)

Szimmetrikus látótér megadása:

```
void gluPerspective(double fovy,
                    double aspect, double near, double far);
fovy: a látótér szöge y irányban
aspect: w/h
near, far: a vágósíkok távolsága a megfigyelőtől
```



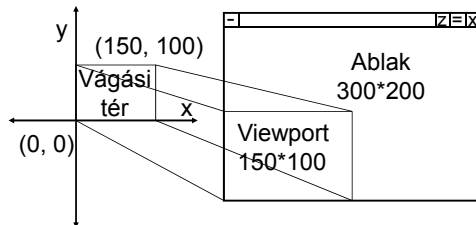
222

Ablak (OpenGL)

2D-s leképzés az ablak egy téglalap alakú (viewport) részébe:

```
void glViewport(GLint x, GLint y,
               GLsizei width, GLsizei height);
```

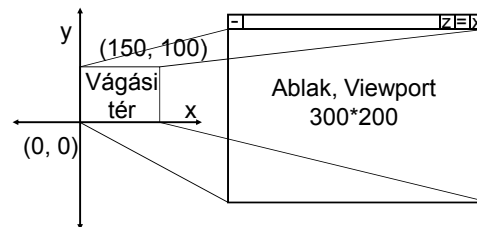
x, y : a viewport bal alsó sarka az ablakban,
 $width, height$: a viewport mérete pixelben,



223

Ablak (OpenGL)

Alapértelmezés: $(0, 0, winWidth, winHeight)$,
 ahol $winWidth$ és $winHeight$ az ablak méretei



224

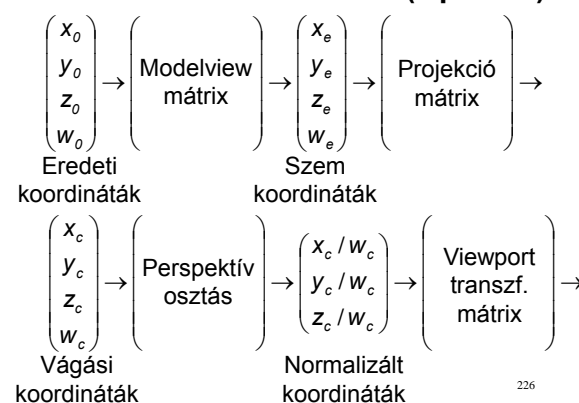
Perspektív vetítés (OpenGL)

Pl.: Módosítsuk viewport-ot és a vágási teret perspektív vetítésnél

```
void ChangeSize(GLsizei w, GLsizei h){
    GLfloat fAspect;
    if (h == 0) h = 1; // ne osszunk 0-val
    // az ablakon beállítjuk a viewport-ot
    glViewport(0, 0, w, h);
    fAspect = (GLfloat)w/(GLfloat)h;
    // vetítési mátrix
    glMatrixMode(GL_PROJECTION);
    glLoadIdentity();
    // vágási tér megadás, perspektív vetítés
    gluPerspective(60.0f, fAspect,
                  1.0, 400.0);
    glMatrixMode(GL_MODELVIEW);
    glLoadIdentity();
}
```

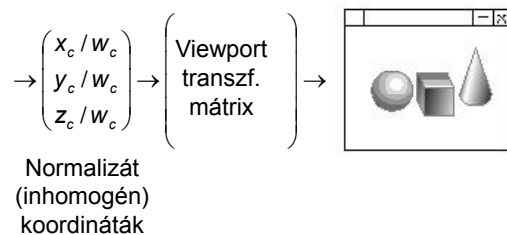
225

Transzformációs mátrixok (OpenGL)



226

Transzformációs mátrixok (OpenGL)



227

Mátrix verem (OpenGL)

Mátrix módok: `GL_TEXTURE`, `GL_MODELVIEW`,
`GL_COLOR`, `GL_PROJECTION`

Minden mátrix mód számára van egy mátrix verem

Az aktuális mátrix a verem tetején lévő mátrix.

A műveletek:

```
void glPushMatrix( void );
```

```
void glPopMatrix( void );
```

228

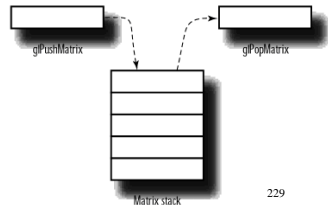
Mátrix verem (OpenGL)

`glGet(GL_MAX_MODELVIEW_STACK_DEPTH)`
(Microsoft: maximális mélység 32)

`glGet(GL_MAX_PROJECTION_STACK_DEPTH)`
(Microsoft: maximális mélység 2)

`GL_STACK_OVERFLOW, GL_STACK_UNDERFLOW`

Alapállapot:
egységmátrix,
`GL_MODELVIEW`



229

Feladat (OpenGL)

Rajzoljuk meg egy dobókocka perspektivikus képét!

230

Animáció (OpenGL)

Annak érdekében, hogy a megjelenített képek változása „sima” legyen, dupla puffert kell használnunk:

`glutInitDisplayMode`
`(GLUT_DOUBLE | GLUT_RGB);`

Dupla puffer használata esetén a megjelenítés
`glFlush();` helyett
`glutSwapBuffers();`

231

Animáció (OpenGL)

Fontos, hogy a megjelenítő függvény mindig azonos módon fusson, és mellékhatás mentes legyen!

Ha pl. transzformációt is tartalmaz, akkor a megjelenítő függvény elején vermeljük a módosítandó mátrixot:

`glPushMatrix();`

Majd a megjelenítés végén mentsük vissza a veremből:

`glPopMatrix();`

A változás globális változók értékének változásán alapuljon!

232

További call back függvények (OpenGL)

`void glutReshapeFunc`
`(*func)(Glszei w, Glsizei h);`

Ha módosítjuk az ablak alakját, méretét, akkor a `glutMainLoop` végrehajtja a

`func(w, h)` függvényhívást,
ahol `w` az ablak szélessége, `h` a magassága. Így
szerezhetünk tudomást az ablak módosított méretéről.

A `func` függvényen belül globális változóba tehetjük `w` és `h` értékét.

A `glutPostRedisplay();` függvényhívással
jelezhetjük, hogy föl kell hívni a megjelenítő függvényt.

233

További call back függvények (OpenGL)

`void glutTimerFunc`
`(*func)(int value), int value);`

`ms` millisec lejártá után a `glutMainLoop` végrehajtja a
`func(value)` függvény hívást.

Használata:

A `func` függvény módosítja a globális változók némelyikének az értékét, ezáltal módosít a modellen vagy a megjelenítésen, majd meghívja a `glutPostRedisplay`, függvényt a módosítás megjelenítésére, és általában a `glutTimerFunc` függvényt, ez utóbbit azért, hogy a `func` függvény később újra fölhívásra kerüljön.

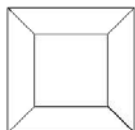
234

3D geometriai formák drótvázás megjelenítése (OpenGL)

```
#include<GL/glut.h>
```

```
void glutWireCube(GLdouble size);
```

size : a kocka élhossza (a kocka középpontja az origóban lesz)



235

3D geometriai formák drótvázás megjelenítése (OpenGL)

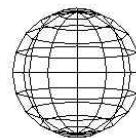
```
void glutWireSphere(GLdouble radius,  
GLint slices, GLint stacks);
```

radius: a gömb sugara,

slices: a z-tengely körüli beosztások (szélességi körök) száma,

stacks: a z-tengely menti beosztások (hosszúsági körök) száma

A középpont az origóban lesz



236

3D geometriai formák drótvázás megjelenítése (OpenGL)

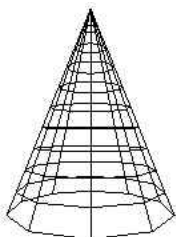
```
void glutWireCone(GLdouble base,  
GLdouble height, GLint slices,  
GLint stacks);
```

base: a kúp alapjának sugara,

height : a kúp magassága,

slices: a z-tengelyre merőleges beosztások száma,

stacks : a z-tengelyen átmenő beosztások száma



237

3D geometriai formák drótvázás megjelenítése (OpenGL)

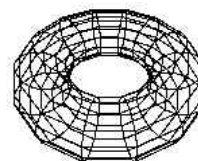
```
void glutWireTorus (GLdouble  
innerRadius, GLdouble outerRadius,  
GLint nsides, GLint rings);
```

innerRadius: a tórusz belső sugara,

outerRadius: a tórusz külső sugara,

nsides: a radiális részek oldalainak száma,

rings: a tórusz radiális beosztásainak száma.



238

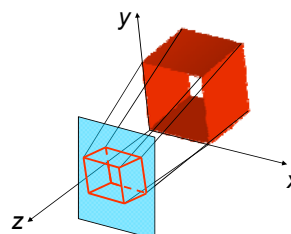
3D geometriai formák megjelenítése (OpenGL)

Tömör formák megjelenítéséhez hasonló függvények állnak rendelkezésre:

```
void glutSolid...
```

239

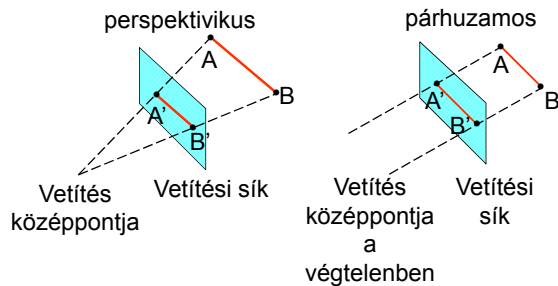
VETÍTÉSEK



Transzformációk, amelyek n -dimenziós objektumokat kisebb dimenziós terekbe visznek át.

Pl. 3D→2D

240

Vetítések fajtái /1

241

Vetítések fajtái /2**Perspektivikus****Párhuzamos****Vetítési középpont****Vetítési irány**

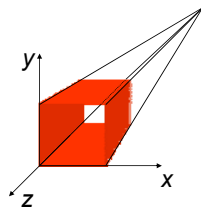
- közel áll látásunkhoz
- általában: nem mérhetők a távolságok (rövidülés) és a szögek
- kevésbé realisztikus
- mérhető távolságok, szögek változnak

242

Perspektív vetítések /1

A vetítési síkkal nem, de egymással párhuzamos egyenesek vetületei egy pontban metszik egymást = távlatpont

Elsődleges távlatpont: valamelyik fő(tengely) irányhoz tartozó távlatpont

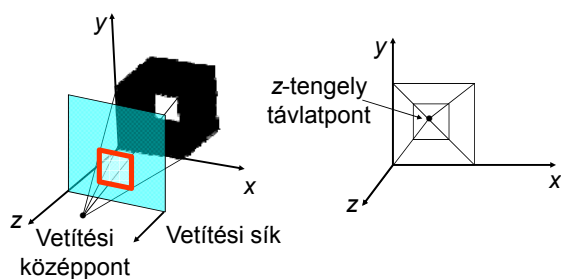


243

Perspektív vetítések /2

Perspektív vetítések osztályozása:
az elsődleges távlatpontok száma szerint (1, 2, 3).

244

Perspektív vetítések /3**1. Egypontos perspektív vetítés**

245

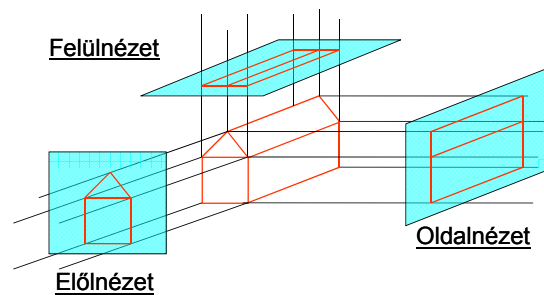
Párhuzamos vetítések

A párhuzamosság megmarad

Osztályozásuk a vetítési irány és a vetítési sík egymáshoz viszonyított helyzete szerint:

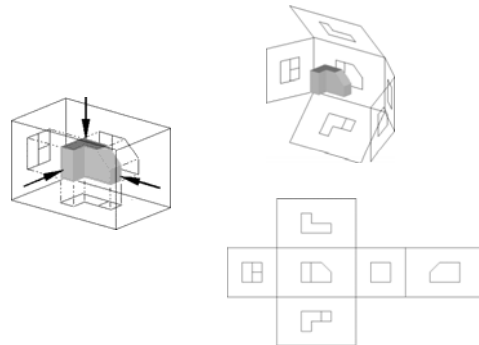
1. Merőleges (ortografikus)
2. Tetszőleges irányú

246

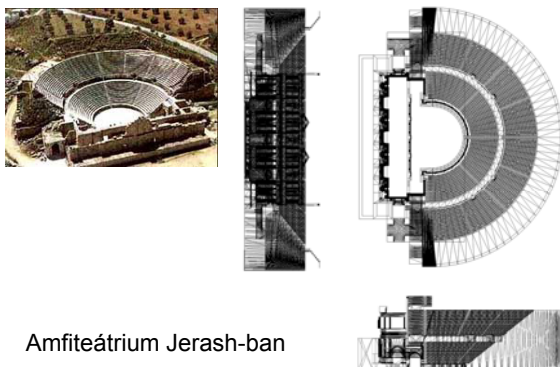
Merőleges (ortografikus) /1

A párhuzamosság megmarad, a távolságok megmaradnak vagy számíthatók

247

Példa

248



Amfiteátrium Jerash-ban

249

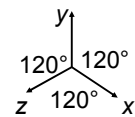
Merőleges (ortografikus) /2

Axonometrikus (nem merőleges egyik tengelyre sem);
szög nem marad meg, távolság számítható

Izometrikus (a vetítési irány (d_x, d_y, d_z) minden tengellyel ugyanakkora szöget zár be), azaz

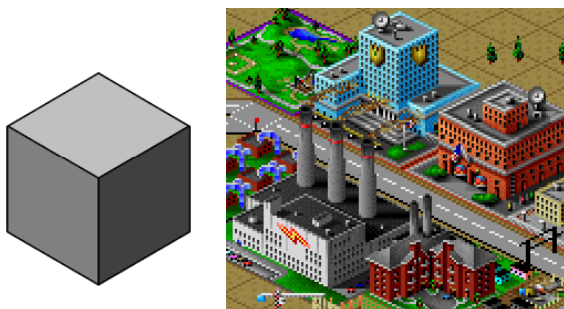
$$|d_x| = |d_y| = |d_z|,$$

$$\pm d_x = \pm d_y = \pm d_z$$



8 ilyen irány létezik

250

Izometrikus vetítés

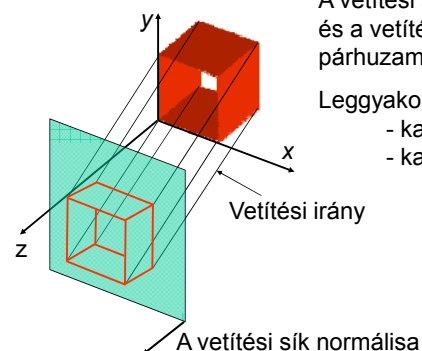
251

Tetszőleges irányú /1

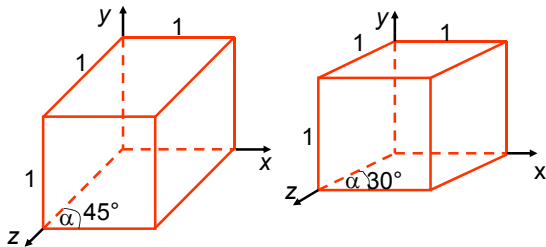
A vetítési sík normálisa és a vetítési irány nem párhuzamos

Leggyakoribb fajtái:

- kavalier
- kabinet



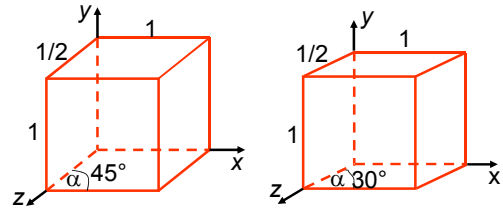
252

Tetszőleges irányú /2Kavalier:a vetítési irány és a vetítési sík szöge = 45° 

253

Tetszőleges irányú /3Kabinet:

a vetítési irány és a vetítési sík

szöge = $\arctg(2) = 63,4^\circ$ 

254

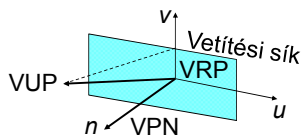
3-D megjelenítés specifikálása /1

Szükséges:
 - látótér } megadása
 - vetítés }

Vetítési sík megadása:egy pontjával - referencia pont (VRP)

és a normálisával (VPN)

v a fölfelé mutató vektor (VUP) vetülete irányába mutat



255

3-D megjelenítés specifikálása /23D referencia koordináta rendszer (VRC)

megadása:

Origó = VRP

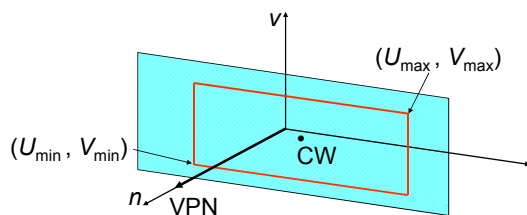
A tengelyek:

 $n = \text{VPN}$, $v = \text{VUP}$ -nek a vetítési síkra eső vetülete $u = \text{olyan, hogy } u, v, n \text{ jobb-kezes derékszögű koordináta rendszert határozzon meg}$

256

3-D megjelenítés specifikálása /3Ablak: Téglalap a vetítési síkon. Ami azon belül van, az megjelenik, a többi nem

CW a közepe

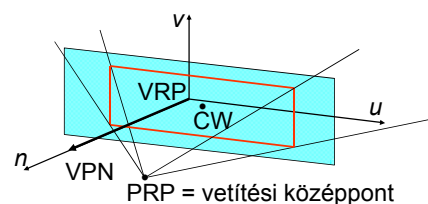


257

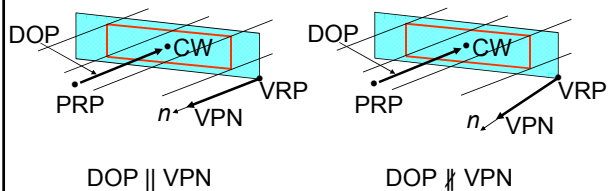
3-D megjelenítés specifikálása /4PRP: vetítési referencia pont:

(párhuzamos és perspektív vetítésre is)

Perspektívus vetítésnél

PRP = vetítési középpont

258

3-D megjelenítés specifikálása /5DOP: vetítési irány

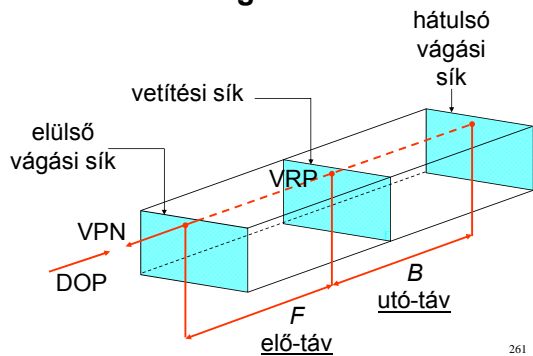
259

Látótér meghatározása elülső és hátulsó vágási síkokkal /1

Fajtai:

- párhuzamos (ortografikus)
- párhuzamos (tetszőleges irányú)
- perspektivikus

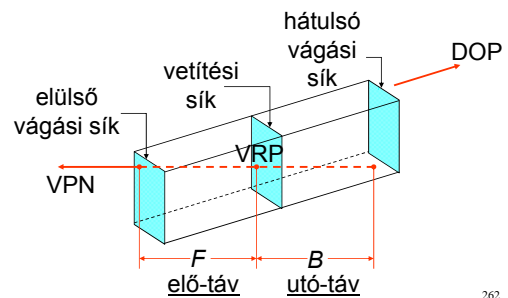
260

Látótér meghatározása elülső és hátulsó vágási síkokkal /2

261

Látótér meghatározása elülső és hátulsó vágási síkokkal /3

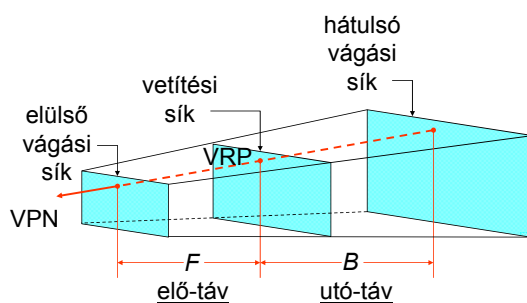
Párhuzamos (tetszőleges irányú):



262

Látótér meghatározása elülső és hátulsó vágási síkokkal /4

Perspektivikus:



263

Vetítések matematikai leírása

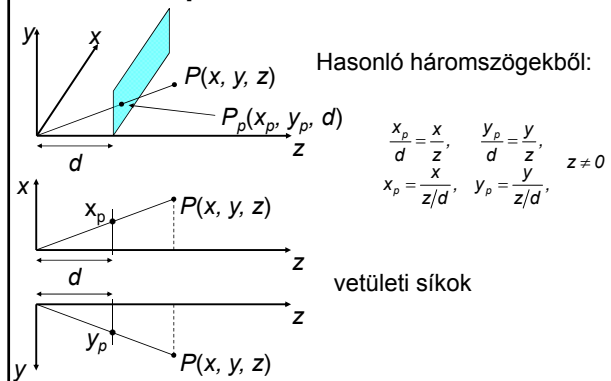
264

Perspektivikus vetítések /1

Az egyszerűség kedvéért tegyük fel hogy:

- a) A vetítési sík merőleges a z-tengelyre $z = d$ -nél,
PRP = 0

265

Perspektivikus vetítések /2

266

Perspektivikus vetítések /3

Hasonló háromszögekből:

$$\frac{x_p}{d} = \frac{x}{z}, \quad \frac{y_p}{d} = \frac{y}{z}, \quad z \neq 0$$

$$x_p = \frac{x}{z/d}, \quad y_p = \frac{y}{z/d}$$

$$\begin{pmatrix} x \\ y \\ z \\ z/d \end{pmatrix} = \begin{pmatrix} x \\ y \\ z \\ 1 \end{pmatrix} \cdot \frac{1}{z/d} = P_p, \text{ mivel ez homogén koordináta,}$$

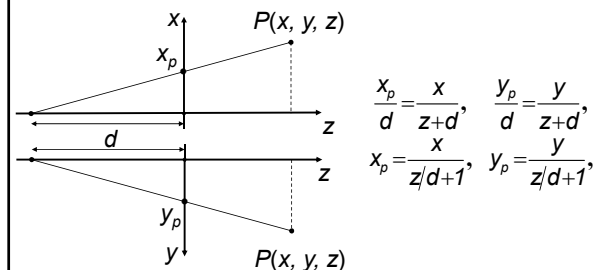
$$\text{tehát } M_{per} = \begin{pmatrix} 1 & 0 & 0 & 0 \\ 0 & 1 & 0 & 0 \\ 0 & 0 & 1 & 0 \\ 0 & 0 & 1/d & 0 \end{pmatrix}, \text{ mert } M_{per} \cdot \begin{pmatrix} x \\ y \\ z \\ 1 \end{pmatrix} = \begin{pmatrix} x \\ y \\ z \\ z/d \end{pmatrix}$$

267

Perspektivikus vetítések /4

Más lehetőség

- b) A vetítési sík merőleges a z-tengelyre $z = 0$ -ban



268

Perspektivikus vetítések /5

$$\frac{x_p}{d} = \frac{x}{z+d}, \quad \frac{y_p}{d} = \frac{y}{z+d}, \quad \text{tehát } P'_{per} = \begin{pmatrix} x \\ y \\ z \\ 1 \end{pmatrix} \cdot \frac{1}{z/d+1} = \begin{pmatrix} x \\ y \\ 0 \\ z/d+1 \end{pmatrix}$$

$$\text{ezért } M'_{per} = \begin{pmatrix} 1 & 0 & 0 & 0 \\ 0 & 1 & 0 & 0 \\ 0 & 0 & 0 & 0 \\ 0 & 0 & 1/d & 1 \end{pmatrix}$$

269

Párhuzamos ortografikus vetítés

$$P = \begin{pmatrix} x \\ y \\ z \\ 1 \end{pmatrix} \xrightarrow{M_{ort}} \begin{pmatrix} x_p \\ y_p \\ z_p \\ 1 \end{pmatrix} = \begin{pmatrix} x \\ y \\ 0 \\ 1 \end{pmatrix} = P_p,$$

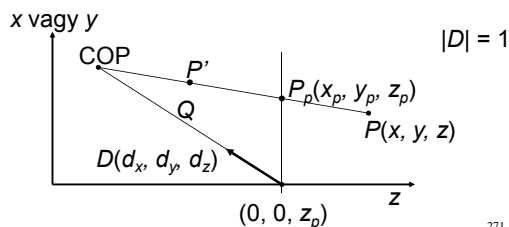
ahol

$$M_{ort} = \begin{pmatrix} 1 & 0 & 0 & 0 \\ 0 & 1 & 0 & 0 \\ 0 & 0 & 0 & 0 \\ 0 & 0 & 0 & 1 \end{pmatrix} \quad (\text{határértéke } M'_{per}\text{-nek, } d \rightarrow \infty).$$

270

Vetítések általános alakja /1

Vetítési sík \perp z-tengely, $z = z_p$ -ben,
COP Q távolságra van $(0, 0, z_p)$ -től



271

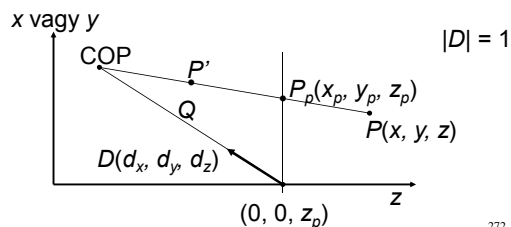
Vetítések általános alakja /2

Parametrikus alak:

$$P' = \text{COP} + t \cdot (P - \text{COP}), \quad t \in [0, 1]$$

másrészt

$$\text{COP} = (0, 0, z_p) + Q \cdot (d_x, d_y, d_z),$$



272

Vetítések általános alakja /3

$$P' = \text{COP} + t \cdot (P - \text{COP}), \quad t \in [0, 1]$$

$$\text{COP} = (0, 0, z_p) + Q \cdot (d_x, d_y, d_z),$$

így

$$x' = Q \cdot d_x + (x - Q \cdot d_x) \cdot t,$$

$$y' = Q \cdot d_y + (y - Q \cdot d_y) \cdot t,$$

$$z' = (z_p + Q \cdot d_z) + (z - (z_p + Q \cdot d_z)) \cdot t.$$

Innen $z' = z_p$ esetén

$$t = \frac{z_p - (z_p + Q \cdot d_z)}{z - (z_p + Q \cdot d_z)} = \frac{Q \cdot d_z}{z_p + Q \cdot d_z - z}$$

273

Vetítések általános alakja /4

Behelyettesítve és átalakítva:

$$x' = x_p = \frac{x - z \cdot \frac{d_x}{d_z} + z_p \cdot \frac{d_x}{d_z}}{\frac{z_p - z}{Q \cdot d_z} + 1}, \quad y' = y_p = \frac{y - z \cdot \frac{d_y}{d_z} + z_p \cdot \frac{d_y}{d_z}}{\frac{z_p - z}{Q \cdot d_z} + 1}$$

$$z' = z_p = \frac{-z \cdot \frac{z_p}{Q \cdot d_z} + \frac{z_p^2 + z_p \cdot Q \cdot d_z}{Q \cdot d_z}}{\frac{z_p - z}{Q \cdot d_z} + 1}$$

274

Vetítések általános alakja /5

így

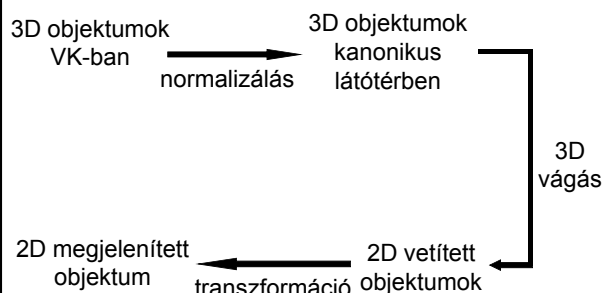
$$M_{\text{ált}} = \begin{pmatrix} 1 & 0 & \frac{-d_x}{d_z} & z_p \cdot \frac{d_x}{d_z} \\ 0 & 1 & \frac{-d_y}{d_z} & z_p \cdot \frac{d_y}{d_z} \\ 0 & 0 & \frac{-z_p}{Q \cdot d_z} & \frac{z_p^2}{Q \cdot d_z} + z_p \\ 0 & 0 & \frac{-1}{Q \cdot d_z} & \frac{z_p}{Q \cdot d_z} + 1 \end{pmatrix}$$

Tartalmazza M_{per} , M'_{per} és M_{ort} -ot (még többet is).

Pl.:

$$M_{\text{ort}}: z_p=0, Q=\infty, (d_x, d_y, d_z)=(0, 0, -1)$$

275

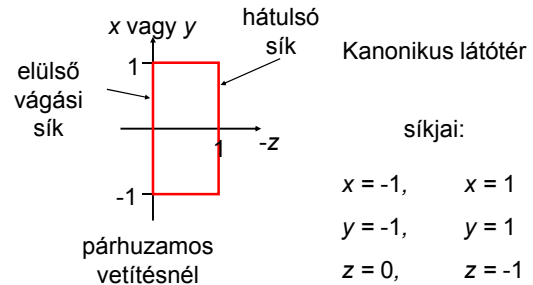
3D megjelenítés implementálása /1

276

3D megjelenítés implementálása /2

A 3D vágás drága művelet, ezért érdemes előtte a 3D objektumokat u.n. kanonikus látótérbe transzformálni (normalizálás), ahol a vágás egyszerűbb és gyorsabb.

277

3D megjelenítés implementálása /3

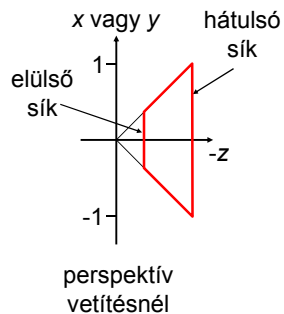
278

3D megjelenítés implementálása /4

Kanonikus látótér

síkjai:

$$\begin{array}{ll} x = z, & x = -z \\ y = z, & y = -z \\ z = -z_{min}, & z = -1 \end{array}$$



279

**LÁTHATÓ VONALAK
MEGHATÁROZÁSA**

Robert-féle algoritmus

Apple-féle algoritmus

Megszakított vonalak

280

Látható vonalak meghatározása

Tárgy-alapú módszerek

Output: látható élek listája

281

Látható vonalak meghatározása**Robert-féle algoritmus:**

Síklapokkal határolt konvex testek éleire

1. A hátrafelé néző lapok meghatározása
2. A hátrafelé néző lapok közös élei elhagyhatók (azok nem láthatók)
3. Minden megmaradt élt minden testtel összehasonlítunk (kiterjedés vizsgálattal sok test triviálisan kizárható)

A fennmaradó esetek:

- Az élet egy test teljesen eltakarja
- Az élnak egy szakasza látszik a test mögöl
- Az élnak két szakasza látszik a (konvex) test mögöl

282

Látható vonalak meghatározása

Apple-féle algoritmus

Az élek pontjaihoz hozzárendel egy egész számot a pontot takaró előre néző lapok számát (kvantitatív láthatatlanság)

A kvantitatív láthatatlanság csak akkor változik, ha az él egy ún. kontúr vonal mögött halad.

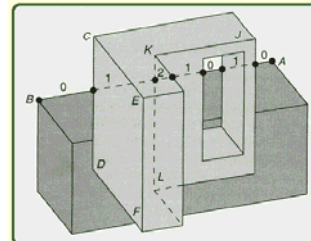
Kontúr vonal: előre és hátra néző lap közötti él.

283

Apple-féle algoritmus

A kvantitatív láthatatlanság számítása:

- ++, ha az él előre néző poligon mögé megy,
- , ha az él előre néző poligon mögül jön ki.



Az él akkor látszik, ha a kvantitatív láthatatlansága = 0

284

Apple-féle algoritmus

Egymáson átható poligonok nem megengedettek!

Az algoritmus kétféle megvalósítása:

1. Válasszunk ki egy csúcspontot, határozzuk meg a kvantitatív láthatatlanságát (direkt módszer)
2. Haladjunk az éleken, és közben módosítsuk a kvantitatív láthatatlansági értéket, 0 érték esetén rajzolunk

285

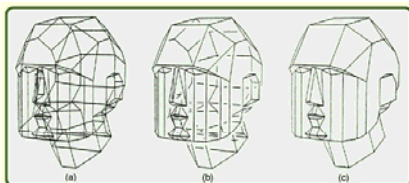
Látható vonalak meghatározása

A látható vonal algoritmusok arra is használhatók, hogy a nem látható vonalak szaggatottak, pontozottak, halványabbak legyenek

286

Látható vonalak meghatározása

Megszakított vonalak



- (a): minden vonal látszik
- (b): mintha minden vonalnak lenne egy takaró sávja, ami eltakarja a mögötte lévő részeket
- (c): csak a látható vonalak látszanak

287

Megszakított vonalak

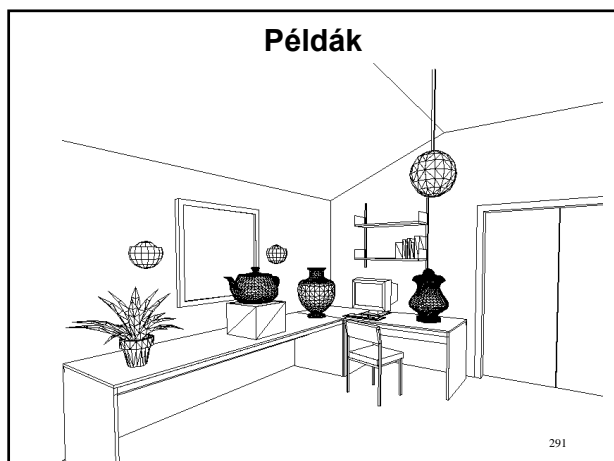
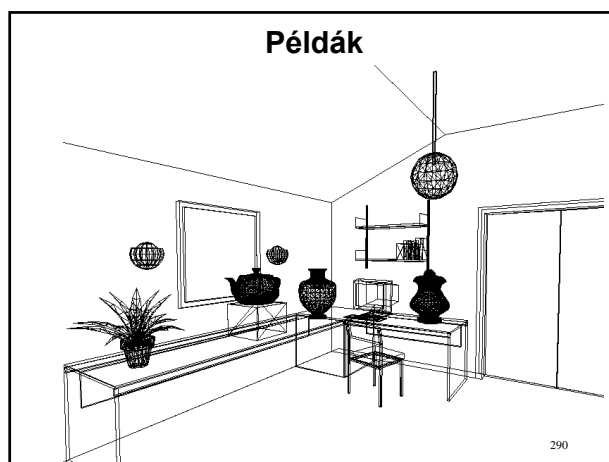
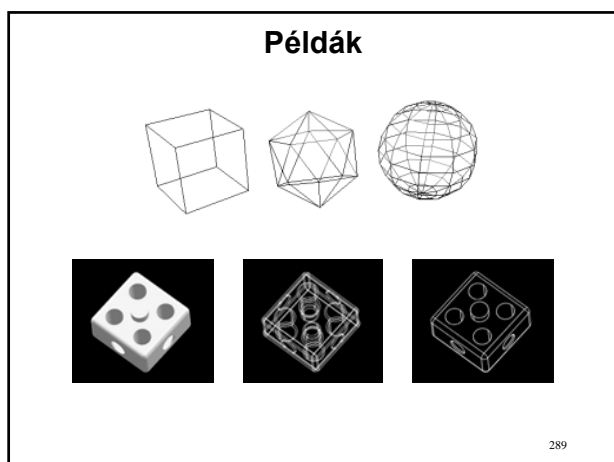
Az algoritmus az élek vetületének metszéspontja körül csak a közelebbit rajzolja, a távolabbat megszakítja

Algoritmus:

Minden vonalhoz megkeressük az előtte levőket
Csak a látható szakaszokat őrizzük meg

Ha minden metszésponttal végeztük, akkor rajzolunk.

288



LÁTHATÓ FELÜLETEK MEGHATÁROZÁSA

Kétváltozós függvények ábrázolása

A látható felszín meghatározására szolgáló
általános algoritmusok

Látható felszín algoritmusok

292

Látható felületek meghatározása

Adott 3D tárgyak egy halmaza, és egy projekció specifikációja.

Mely vonalak és felületek lesznek láthatók?
Melyek lesznek takarva?
Nehéz feladat (időigényes)

Kétféle megközelítés:

293

Látható felületek meghatározása

- for minden képpontra do begin
 határozzuk meg azt a tárgyat, amelyet
 a nézőpontból a képponton keresztül
 húzott egyenes leghamarabb metsz;
 rajzoljuk ki a képpontot a
 megfelelő színben
end

A szükséges idő: $O(np)$
 n : a tárgyak száma
 p : a képpontok száma

294

Látható felületek meghatározása

2. for minden tárgyra do begin
 határozzuk meg a tárgynak
 azokat a részeit, amelyek
 nincsenek takarásban saját
 maga vagy más tárgyak által;
 ezeket a részeket rajzoljuk
 ki a megfelelő színnel
end

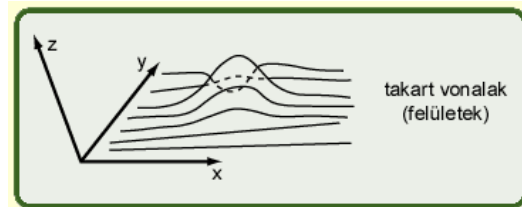
A szükséges idő: $O(n^2)$

295

Kétváltozós függvények ábrázolása

plotterrel

$$y = f(x, z)$$



296

Kétváltozós függvények ábrázolása

Tegyük fel, hogy f -et egy $m \times n$ -es Y mátrixszal közelíthetjük.

Drótvázis rajzot készíthetünk szakaszonként lineáris görbéket előállítva x és z irányban is.

Keressünk olyan algoritmust, amely a takart vonalakat nem rajzolja ki.

297

Kétváltozós függvények ábrázolása

- Ha csak az x -tengellyel párhuzamos egyenesek menti értékeket kötjük össze:

Haladjunk előlről hátra (a távolabbi vonalak irányába, csak arra kell vigyázni, hogy a már megrajzolt látható felületeket ne "kereszteljük").

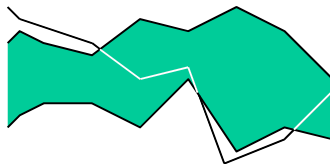
Elegendő az eddig rajzolt vonalak "sziluettjét" őrizni: csak az látható az új vonalból, ami ez alatt vagy fölött van.

Tároljuk minden törésponthoz az eddig rajzolt vonalak maximális és minimális y értékét (sziluett), és az új vonal y értékeinek megfelelően módosítsuk

Horizont-vonal algoritmus

298

Kétváltozós függvények ábrázolása

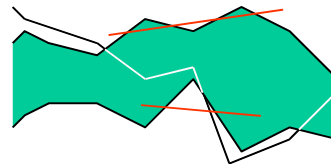


Ha az új vonal valamely szakaszának mindkét végpontja láthatatlan, akkor a szakasz sem látszik.

A részlegesen takart szakaszoknál metszéspontot kell számolni.

299

Kétváltozós függvények ábrázolása

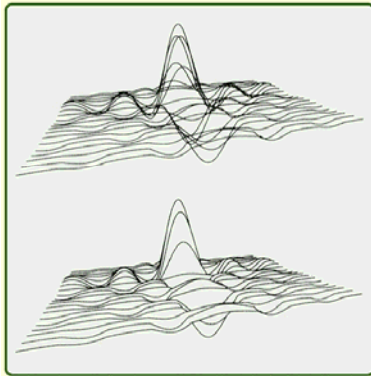


A szakasz nem törésponttól töréspontig, hanem a sziluett töréspontjától töréspontjáig terjed!

A sziluett töréspontjai sűrűsödnek!

300

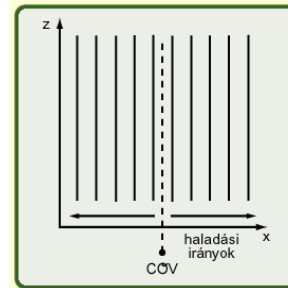
Kétváltozós függvények ábrázolása



301

Kétváltozós függvények ábrázolása

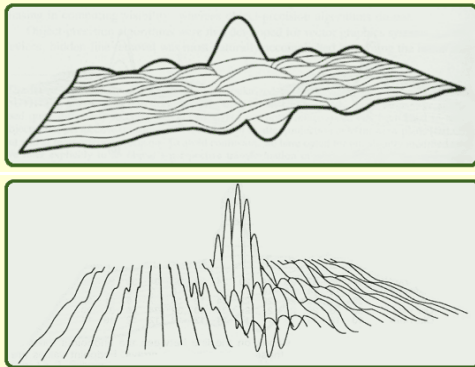
2. Ha csak a z-tengellyel párhuzamos egyenesek menti értékeket kötjük össze:



hasonló algoritmus

302

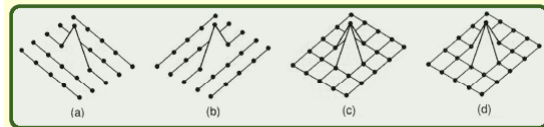
Kétváltozós függvények ábrázolása



303

Kétváltozós függvények ábrázolása

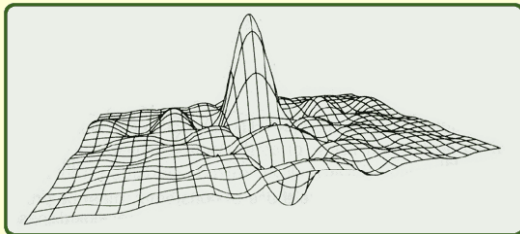
Drótvázis rajz konstans x- és z-menti görbékből

x-menti
képz-menti
képA két kép
egymásra
másolvaA korrekt
kép

Nem lehet egyszerűen egymásra rakni a két képet!

304

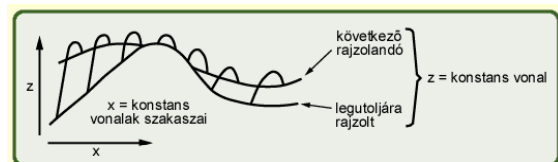
Kétváltozós függvények ábrázolása



Először az x irányú vonalakat rajzoljuk meg közelről távolra haladva (mint korábban), de minden vonal megrajzolása után megrajzoljuk a z irányú vonalaknak a két utolsó x irányú vonal közti szakaszait (mint korábban), ha látszanak.

305

Kétváltozós függvények ábrázolása



Ezeket az eljárásokat általában csak akkor használjuk, ha a rajzolendő vonalak $x = konstans$ vagy $z = konstans$ menti értékekből állnak)

306

A látható felszín meghatározására szolgáló általános algoritmusok

A tárgyak takarják-e egymást?

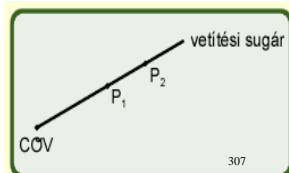
Mely tárgy látható?

Pontokra: $P_1 = (x_1, y_1, z_1)$ és $P_2 = (x_2, y_2, z_2)$;

Takarja-e egyik a másikat?

Ha ugyanazon a vetítési sugáron vannak, akkor a közelebbi takarja a másikat, különben nem.

Nehéz probléma



A látható felszín meghatározására szolgáló általános algoritmusok

Mélységbeli összehasonlítás

Helye: a normalizálási transzformáció után, ekkor

a. párhuzamos vetítésnél: a vetítési sugarak párhuzamosak a *z-tengellyel*, ekkor P_1 és P_2 ugyanazon a vetítési sugáron van, ha

$$x_1 = x_2 \text{ és } y_1 = y_2$$

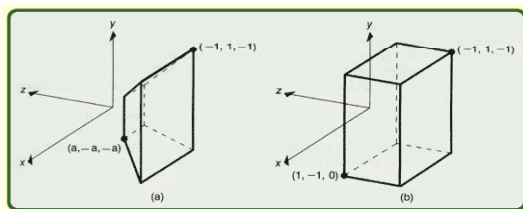
b. perspektív vetítésnél: a vetítési sugarak COV-ből indulnak ki, ekkor P_1 és P_2 ugyanazon a vetítési sugáron van, ha

$$x_1 / z_1 = x_2 / z_2 \text{ és } y_1 / z_1 = y_2 / z_2$$

308

A látható felszín meghatározására szolgáló általános algoritmusok

Perspektív vetítésnél azt a transzformációt használjuk, amely a perspektív kanonikus térfogatot átviszi párhuzamos kanonikus térfogatba



perspektív kanonikus térfogat párhuzamos kanonikus térfogat

309

A látható felszín meghatározására szolgáló általános algoritmusok

Perspektív kanonikus térfogatot párhuzamos kanonikus térfogatba transzformáló mátrix:

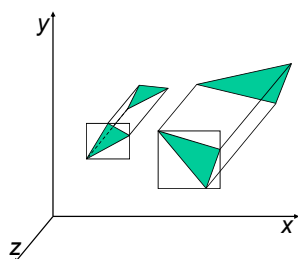
$$M = \begin{pmatrix} 1 & 0 & 0 & 0 \\ 0 & 1 & 0 & 0 \\ 0 & 0 & \frac{1}{1+z_{min}} & \frac{-z_{min}}{1+z_{min}} \\ 0 & 0 & -1 & 0 \end{pmatrix}$$

Ekkor a vetítési sugarak már párhuzamosak a *z-tengellyel*. Egyszerűbben végezhető a vágás

310

A látható felszín meghatározására szolgáló általános algoritmusok

Tárgyak kiterjedése, határoló téglalapok, testek



Határoló-téglalap teszt

Ha a határoló téglalapok nem fedik egymást, akkor a vetületek sem fedik egymást, különben további vizsgálat szükséges

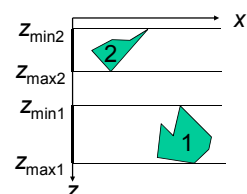
311

A látható felszín meghatározására szolgáló általános algoritmusok

1-dimenziós kiterjedés (határoló intervallum)

minmax-teszt:

A kiterjedés minimális és maximális értékeinek összehasonlításával döntjük el a takarást



A kiterjedés meghatározása:

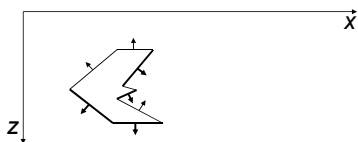
a tárgy (csúcs)pontjaihoz tartozó koordináták *min.* és *max.* értékeiből

312

A látható felszín meghatározására szolgáló általános algoritmusok

Hátra néző lapok kiválogatása

Tegyük fel, hogy poligon határu síklapokkal határolt a tárgy, és adottak a síklapoknak a tárgyból kifelé mutató normálisai. Ekkor azok a lapok nem láthatók, amelyek normálisai a "megfigyelőtől ellentétes" irányba mutatnak



313

A látható felszín meghatározására szolgáló általános algoritmusok

Azonosításuk:

\underline{n} : normális (n_x, n_y, n_z)

\underline{v} : COV-ből a poligon tetszőleges pontjába mutat

Ha $\underline{n} \cdot \underline{v} < 0$ előre néz

> 0 hátra néz

$= 0$ csak az éle látszik

Speciálisan: Az (x,y) síkra történő ortografikus vetítés esetén

$n_z < 0$ hátra néz

> 0 előre néz

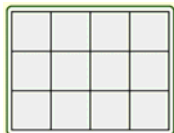
$= 0$ csak az éle látszik

314

A látható felszín meghatározására szolgáló általános algoritmusok

Térbeli particionálás

Észrevétel: nem minden tárgynak van minden vetítési sugárral metszéspontja (pl. távol vannak, más irány) → osszuk fel (particionáljuk) a képernyőt

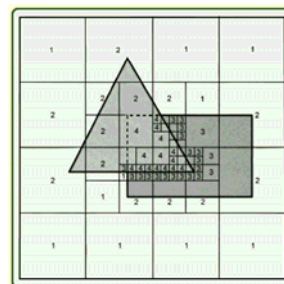


Meghatározzuk, hogy mely tárgyak vetülete van benne a megfelelő részben (partícióban) és csak azokkal keresünk metszéspontokat

315

A látható felszín meghatározására szolgáló általános algoritmusok

Ez jó módszer, ha a tárgyak vetületei egyenletesen oszlanak el a teljes képernyőn, különben különböző

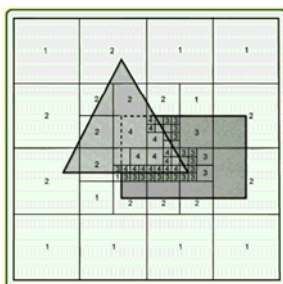


méretű partíciókat érdemes készíteni: kisebb partíciót ott, ahol több tárgy vetülete van

316

Látható felszín algoritmusok

Terület-osztó algoritmus látható felszín meghatározására: "oszd meg és uralkodj"

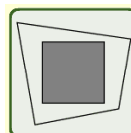


Ha egy területen könnyen eldönthető, hogy melyik poligon jeleníthető meg, akkor azt rajzoljuk ki, különben osszuk fel a területet, és alkalmazzuk az eljárást a rész területekre

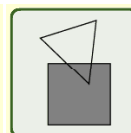
317

Látható felszín algoritmusok

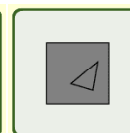
4 lehetőség egy poligon és egy téglalap alakú terület között:



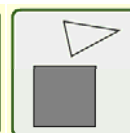
Tartalmazó poligon



Metsző poligon



Tartalmazott poligon



Idegen poligon

318

Látható felszín algoritmusok

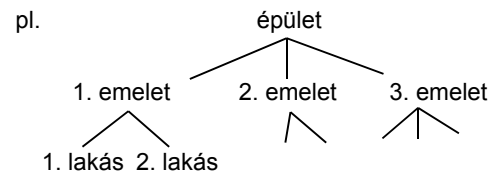
Mikor dönthető el könnyen, hogy mi rajzolható?

1. Minden poligon idegen a területtől (háttér)
2. Egyetlen metsző vagy tartalmazott poligon (háttér + pásztázással poligon)
3. Egyetlen tartalmazó poligon (rajz a poligon színével)
4. Van olyan tartalmazó poligon, amelyik a többi előtt van.

319

A látható felszín meghatározására szolgáló általános algoritmusok

Hierarchikus struktúrák alkalmazása



Ha a vetítési sugár nem metszi az épületet, akkor az emeleteit és az emeletek lakásait sem (tehát nem kell vizsgálni azokat)

320

Látható felszín algoritmusok

Z - buffer vagy mélység – puffer algoritmus

(kép alapú)

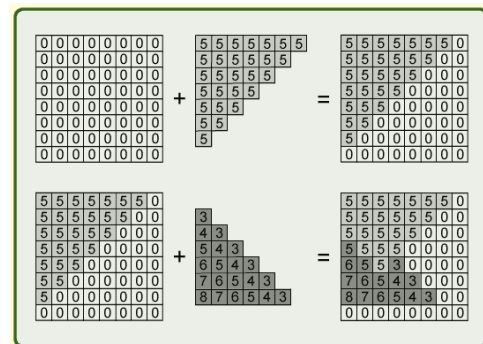
F : kép-puffer (képpontok tárolására)
kezdeti értéke: háttérszín

Z : mélység-puffer (minden pontban a megfelelő *z* érték), kezdeti értéke:
z-max (hátsó vágási sík)

Pásztázás közben *F*-be és *Z*-be bekerül az új pont, ha nincs messzebb, mint az eddigi *z* érték.

321

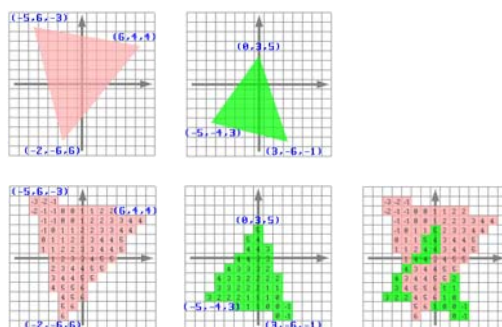
Z-buffer algoritmus



A hátsó vágási sík a $z = 0$

322

Z-buffer algoritmus

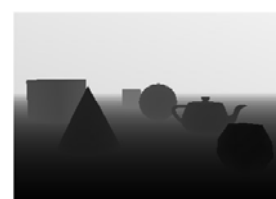


323

Z-buffer algoritmus



Kép



z-buffer

324

Z-buffer algoritmus

Tulajdonságai:

- Nincs tárgyak rendezése, összehasonlítása, metszéspontok számítása
- Polygonként végezhető el, ha nincsenek átható poligonok,
- Nem csak poligonokra jó,
- Nagy helyigény, de lehet sávonként haladni,
- Könnyű implementálni,
- Könnyű egy újabb tárgy képét hozzávenni

325

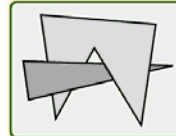
Látható felszín algoritmusok

Lista-prioritás algoritmusok

Meghatározzák a tárgyaknak azt a sorrendjét, ami a kép kirajzolásához kell.

Pl.: Ha a z értékekben nincs átfedés, akkor a tárgyakat növekvő z értékük szerint kell rendezni, és utána távolról közelre haladva megjeleníteni.

Néha még akkor is lehet ilyen sorrendet megadni, ha a z értékekben van átfedés, de nem mindig



Ilyenkor szétvágjuk a tárgyakat és a darabokat rendezzük sorba

326

Látható felszín algoritmusok

1. Mélység szerint rendező algoritmus

Lépések:

1. Rendezzük a poligonokat legtávolabbi z koordinátájuk szerint
2. Vágjuk szét az átfedő poligonokat (ha szükséges)
3. Pásztázzunk minden poligont hátulról előre haladva

Ha a poligonok párhuzamos síkokban fekszenek, akkor a 2. lépés kimaradhat

327

Festő algoritmus



328

Látható felszín algoritmusok

Tegyük fel hogy a P poligon legtávolabbi z koordinátája szerint a lista végén van. Pásztázás előtt össze kell hasonlítani a lista azon Q elemeivel, amelyeknek z irányú kiterjedése átfedi P z irányú kiterjedését, és meg kell vizsgálni, hogy

P eltakarja-e Q -t?

329

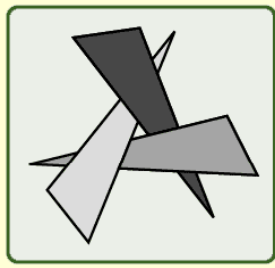
Látható felszín algoritmusok

P eltakarja-e Q -t?

1. ha P és Q x kiterjedése nem átfedő, akkor **nem**;
 2. ha P és Q y kiterjedése nem átfedő, akkor **nem**;
 3. ha COV -ból nézve P teljes terjedelmében a Q síkjának túlsó oldalán van, akkor **nem**;
 4. ha COV -ból nézve Q teljes terjedelmében P síkjának az innenső oldalán van, akkor **nem**;
 5. ha P és Q (x,y) síkra való vetülete nem átfedő, akkor **nem** különben (hátha Q -t kell előbb rajzolni):
 - 3' ha COV -ból nézve Q teljes terjedelmében a P sík túlsó oldalán van, akkor P Q csere
 - 4' ha COV -ból nézve P teljes terjedelmében Q -nak az innenső oldalán van, akkor P Q csere
- különben P -t vagy Q -t fel kell darabolni a másik síkkal, és a darabokat kell beilleszteni a listába

330

Látható felszín algoritmusok



Végtelen ciklust eredményezne, ezért megjelöljük azokat a poligonokat, amelyeket egyszer már a lista végére tettünk, és ha újra előjönnek, akkor darabolunk

331

Látható felszín algoritmusok

2. Bináris tér-particionáló fa algoritmus

Ötlet: Ha van olyan sík, amely a tárgyat (teljes egészükben) két féltérbe osztja, akkor a COV-t tartalmazó féltér tárgyait nem takarhatják el a másik féltér tárgyai

BSP fa: Csomópontok - poligonok

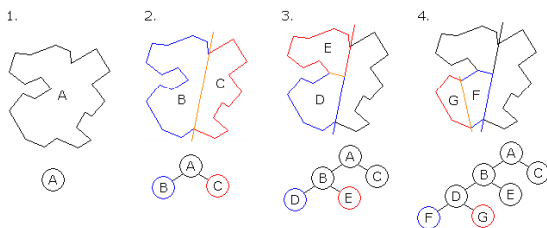
A csomópontokhoz tartozó poligon síkjával darabolhatjuk a többi poligont, és azok darabjaival folytathatjuk a fát

bal oldalra: azok a poligonok, amelyek elől vannak (később kell rajzolni)

jobb oldalra: azok a poligonok, amelyek hátul vannak (korábban kell rajzolni)

332

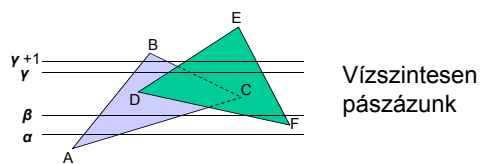
Bináris tér-particionálás



333

Látható felszín algoritmusok

Pásztázó vonal algoritmus látható felszín meghatározására (hasonló a poligonok kitöltését végző algoritmushoz)



Most több poligon lehet

334

Látható felszín algoritmusok

ÉT (élek táblázata, l. poligon kitöltése):

A kisebbik y értékük szerint rendezve az összes élet tartalmazza. **A vízszintes élek kimaradnak!**

Annyi lista van, ahány pásztázó vonal. Minden listában azok az élek szerepelnek, amelyek alsó végpontja a pásztázó vonalon van. A listák az élek alsó végpontjának x koordinátája, ezen belül a meredekség reciproka szerint rendezettek.

Minden lista elem tartalmazza az él y_{max} , x_{min} koordinátáját és a meredekség reciprokát és a **poligon azonosítóját** (több poligon lehet).

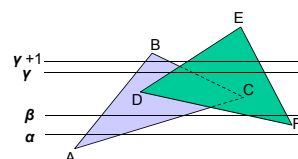
335

Látható felszín algoritmusok

PT (poligonok táblázata):

egy elem részei:

- azonosító
- a sík egyenletének együtthatói
a sík egyenlete: $Ax + By + Cz + D = 0$
- árnyalati/színezési információ
- ki-be jelző (kezdő érték: ki)



ÉT: AB AC
FD FE
CB
DE

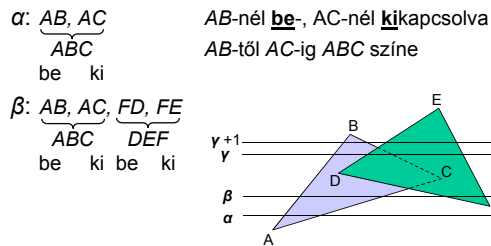
PT: ABC
DEF

336

Látható felszín algoritmusok

AÉT (aktív élek táblázata):

Alulról felfelé, balról jobbra haladva



337

Látható felszín algoritmusok

AÉT (aktív élek táblázata):

Alulról felfelé, balról jobbra haladva

γ : $\overbrace{AB, DE, CB, FE}^{ABC}$

be ki

\overbrace{DEF}

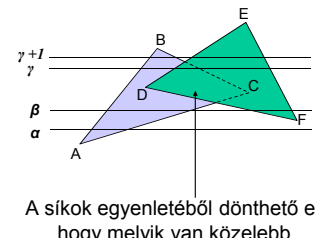
be ki

$\gamma + 1$: $\overbrace{AB, CB, DE, FE}^{ABC \quad DEF}$

be ki be ki

$\overbrace{ABC \quad DEF}$

be ki be ki



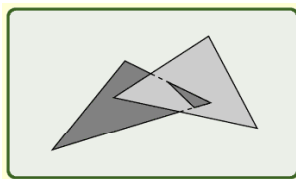
A síkok egyenletéből dönthető el, hogy melyik van közelebb

Újabb sorra térve

AÉT-t rendezni kell!

338

Látható felszín algoritmusok



Ha a poligonokat felvágjuk a metszeteik mentén, akkor nem kell minden pontban megvizsgálni a poligonok sorrendjét, elegendő csak akkor, ha egy "takaró" poligon véget ér.

339

Látható felszín (OpenGL)

OpenGL-ben: a **mélységi**- vagy **z-buffer** algoritmus

A mélységbeli összehasonlítást

`glEnable (GL_DEPTH_TEST)` // engedélyezi

`glDisable (GL_DEPTH_TEST)` // tiltja

340

Sokszögek oldalai (OpenGL)

Sokszögek (elülső és hátulsó) oldalai OpenGL-ben:

Elülső oldal az, amelyen a csúcspontok az óramutató járásával ellentétes irányban vannak megadva

`void glPolygonMode (enum face, enum mode);`

`face: GL_FRONT_AND_BACK, GL_FRONT, GL_BACK`

Megmondja, hogy a poligon mindkét, vagy csak az elülső vagy a hátulsó oldalát kell rajzolni

`mode`: Megmondja, hogy

`GL_POINT` csak a poligon csúcseit,

`GL_LINE` határvonalát kell kirajzolni, vagy

`GL_FILL` ki is kell tölteni (alapértelmezés)

341

Sokszögek oldalai (OpenGL)

Elülső és hátulsó oldalak explicit megadása:

`glFrontFace (GLenum mode);`

`mode`:

`GL_CW` az az oldal lesz elülső oldal, amelyen a csúcspontokat az óramutató járásával

megegyező irányban adtuk meg,

`GL_CCW` az ellenkezője.

342

Sokszögek oldalai (OpenGL)

A sokszög meghatározott oldalán letiltja a világítási, árnyalási és szín-számítási műveleteket (láthatatlan oldal)

```
glCullFace(GLenum mode);
mode: GL_FRONT, GL_BACK
```

A culling-ot

```
glEnable (GL_CULL_FACE) engedélyezhetjük
illetve
glDisable (GL_CULL_FACE) tilthatjuk
```

343

MEGVILÁGÍTÁS

Világító tárgyak

Környezeti fény

Szórt visszaverődés

Környezeti fény és diffúz visszaverődés együtt

Tükröző visszaverődés

Poligonokból álló felületek fényességének meghatározása

Gouraud-féle fényesség

Phong-féle fényesség

344

Megvilágítás

a. Világító tárgyak:

A tárgynak saját intenzitású fénye van

A megvilágítás egyenlete:

$$I = k_i$$

k_i - a tárgy saját fényének az intenzitása

független a pont helyzetétől

345

Megvilágítás

b. Környezeti (szórt - ambient) fény:

Minden irányból egyenletes

$$I = I_a k_a$$

I_a : környezeti fény intenzitása

k_a : a környezeti fény visszaverődési együtthatója (anyagtól függ),

$$0 \leq k_a \leq 1$$

346

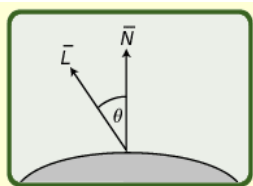
Megvilágítás

c. Diffúz (diffuse) visszaverődés (Lambert-féle)

Minden irányban ugyanannyi fényt ver vissza.

A felület fényessége (I) függ a fényforrás iránya (\underline{L}) és a felület normálisa (\underline{N}) közötti szögtől:

\underline{N} a normális, \underline{L} a fényforrás irányába mutató egységvektor.



$$I = I_p k_d \cos \Theta = I_p k_d (\underline{N} \cdot \underline{L})$$

I_p : a pontforrás intenzitása

k_d : a szórt visszaverődés együtthatója (anyagtól függ), $0 \leq k_d \leq 1$.

347

Megvilágítás

Környezeti fény (b) és diffúz visszaverődés (c) együtt:

$$I = I_a k_a + I_p k_d (\underline{N} \cdot \underline{L})$$

Ha a fényforrás és a tárgy közötti távolságot (d_L) is figyelembe vesszük, akkor:

$$I = I_a k_a + I_p / d_L^2 k_d (\underline{N} \cdot \underline{L})$$

f_{att} (gyengülési faktor)

348

Megvilágítás

Színes fény és felületek esetén a komponensekre:

$$I_R = I_{aR} k_a O_{dR} + f_{att} I_{pR} k_d O_{dR} (\underline{N} \underline{L})$$

$$I_G = \dots$$

$$I_B = \dots$$

ahol O_{dR} a tárgy szórt vörös komponense

I_{pR} a megvilágítás vörös komponens

$k_d O_{dR}$ visszaverődési hányad komponense

...

Általában:

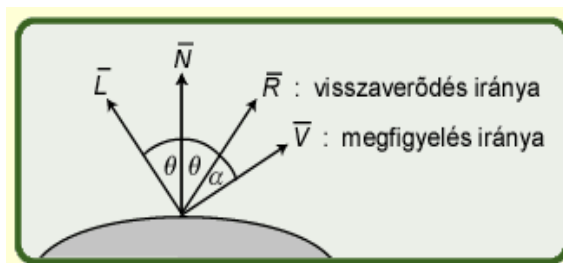
$$I_\lambda = I_{a\lambda} k_a O_{d\lambda} + f_{att} I_{p\lambda} k_d O_{d\lambda} (\underline{N} \underline{L})$$

ahol λ a hullámhossz

349

Tükröző (specular) visszaverődés

Fényes (tükröző) felületekről



350

Tükröző (specular) visszaverődés

Phong-féle modell:

$$I_\lambda = I_{a\lambda} k_a O_{d\lambda} + f_{att} I_{p\lambda} [k_d O_{d\lambda} \cos \theta + W(\theta) \cos^n \alpha]$$

n : a tükrözési visszaverődés kitevője (csillogás)
(tompá) $1 \leq n \leq 1000$ (éles fény)

$W(\theta)$: a tükrözötten visszaverődő fény hányada,
lehet konstans, k_s ($0 \leq k_s \leq 1$),

351

Tükröző (specular) visszaverődés

Phong-féle modell:

A tárgy anyagát is figyelembe véve:

$$I_\lambda = I_{a\lambda} k_a O_{d\lambda} + f_{att} I_{p\lambda} [k_d O_{d\lambda} (\underline{N} \underline{V}) + k_s O_{s\lambda} (\underline{R} \underline{V})^n]$$

Több fényforrásra:

$$I_\lambda = I_{a\lambda} k_a O_{d\lambda} + \sum f_{att} I_{p\lambda} [k_d O_{d\lambda} (\underline{N} \underline{V}) + k_s O_{s\lambda} (\underline{R} \underline{V})^n]$$

352

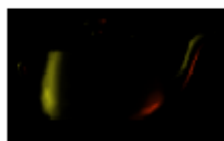
Megvilágítási modellek (példa)



szórt



diffúz



tükröző, csillogás = 20



szórt + diffúz + tükröző

353

Poligonokból álló felületek fényességének meghatározása

0. Minden pontban kiszámítjuk a megvilágítási
egyenlet szerinti intenzitást (nagyon drága módszer)

354

Poligonokból álló felületek fényességének meghatározása

1. Konstans fényesség

Az egész poligon ugyanolyan intenzitású. Jó, ha:

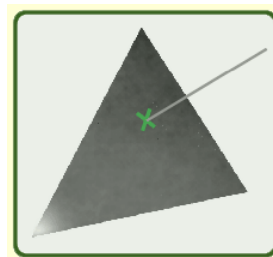
- végtelen távoli fényforrás (N, L konstans),
- végtelen távoli megfigyelő (N, V konstans) és
- poligon oldalú felület



355

Poligonokból álló felületek fényességének meghatározása

2. Interpolált fényesség

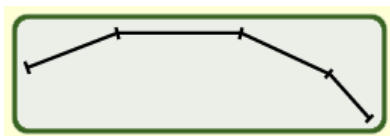


Az intenzitást a csúcsokban számított intenzitásból kapjuk interpolációval

356

Poligonokból álló felületek fényességének meghatározása

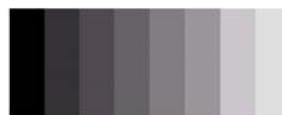
3. Poligon-hálózat fényessége



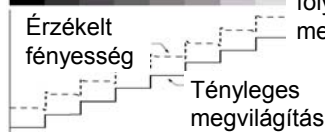
Az egyes poligonok konstans fényessége csak kiemelné a poligonok közötti éleket

357

Mach-féle hatás



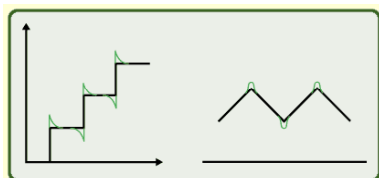
Az intenzitás változását eltűnővé érezzük ott, ahol az intenzitás folytonossága megszűnik.



358

Poligonokból álló felületek fényességének meghatározása

3. Poligon-hálózat fényessége



Mach-hatás

Megoldás:

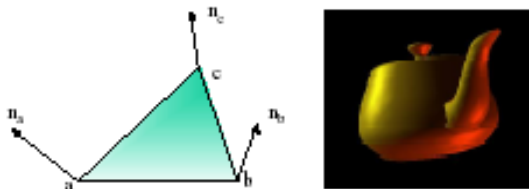
minden poligon fényességét változó intenzitásúnak generáljuk

359

Gouraud-féle fényesség

1. A poligonok normálisait ismerve határozzuk meg a csúcspontok normálisait (pl. az ott érintkező poligonok normálisainak átlagaként)
2. Számoljuk ki az intenzitásokat a csúcspontokban
3. Az élek mentén lineáris interpolációval számoljuk az intenzitást
4. Az élek között (a pásztázó vonalak mentén) lineáris interpolációval számoljuk az intenzitást

360

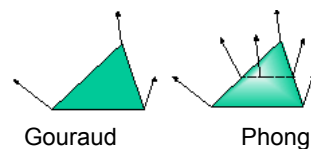
Gouraud-féle fényesség

361

Phong-féle fényesség**Phong-féle fényesség:**

1. A normálvektorokat számoljuk ki a csúcspontokban,
2. Interpolációval a csúcspontok között az élek mentén a normálvektorokat,
3. Interpolációval az élek között,
4. Intenzitás számítása

Sokszor jobb, mint a Gouraud-féle módszer



Gouraud

Phong

362

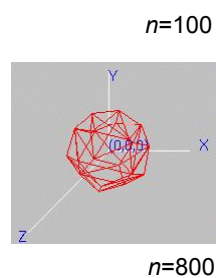
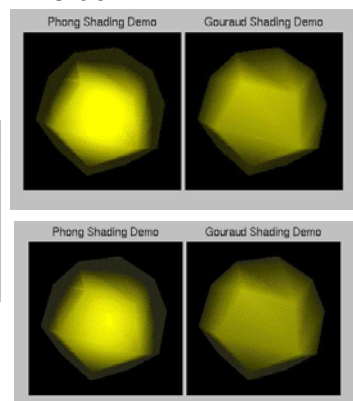
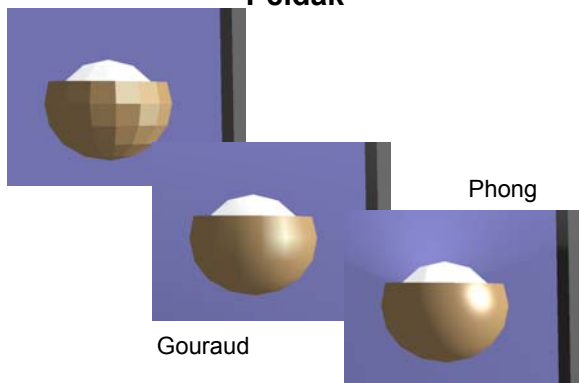
Phong- és Gouraud-féle fényesség

Konstans

Gouraud

Phong

363

Példák $n=100$ $n=800$ **Példák**

Gouraud

Phong

365

Példák

szórt



Phong (szórt + diffúz)



Phong (szórt + diffúz + tükröző)

366

Fényforrás (OpenGL)

Világítási komponensek

RGBA értékeivel definiálható:

- **szórt** (ambient)
- **diffúz**: (diffuse) a megvilágított felületről minden irányban azonos a visszaverődés
- **tükröző** (specular): fényes felületről - csillogás

367

Fényforrás (OpenGL)

A specifikálható fényforrások száma: max. 8

- **pozicionált**: az objektum közelében van
- **irányított**: végtelen távoli a pozícióvektor negyedik koordinátája 0.0

A fényforrás fénysugara:

- szűk
- fókuszált
- széles

368

Fényforrás (OpenGL)

```
void glLight{if}(enum light, enum pname,
                 T param);
void glLight{if}v(enum light, enum pname,
                  T *params);
```

light: kijelöli a fényforrást

(GL_LIGHT0, ..., GL_LIGHT7),

pname: a beállítandó tulajdonság,

param: a beállítandó tulajdonságnak az értéke.

369

Fényforrás (OpenGL)

pname	params, param (alapértelmezés)	Jelentés
GL_AMBIENT	(0.0, 0.0, 0.0, 1.0)	A szórt fény RGBA intenzitása
GL_DIFFUSE	(1.0, 1.0, 1.0, 1.0)	A diffúz fény RGBA intenzitása
GL_SPECULAR	(1.0, 1.0, 1.0, 1.0)	A tükröző fény RGBA intenzitása
GL_POSITION	(0.0, 0.0, 1.0, 0.0)	A fényforrás (x, y, z, w) pozíciója
GL_SPOT_DIRECTION	(0.0, 0.0, -1.0)	A fény (x, y, z) iránya
GL_SPOT_EXPONENT	0.0	Reflektorfény exponens
GL_SPOT_CUTOFF	180.0	Reflektorfény kúpszöge
GL_CONSTANT_ATTENUATION	1.0	Konstans elnyelő faktor
GL_LINEAR_ATTENUATION	0.0	Lineáris elnyelő faktor
GL_QUADRATIC_ATTENUATION	0.0	Négyzetes elnyelő faktor

370

Fényforrás (OpenGL)

A fényforrás távolságával a fény intenzitása gyengül

OpenGL-ben a gyengítő faktor:

$$f_{att} = 1/(e_k + e_l ||VP|| + e_n ||VP||^2),$$

e_k : konstans gyengítő faktor

GL_CONSTANT_ATTENUATION,

e_l : lineáris gyengítő faktor

GL_LINEAR_ATTENUATION,

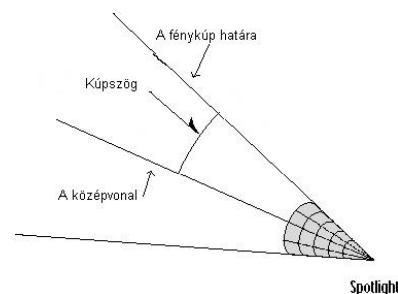
e_n : négyzetes gyengítő faktor

GL_QUADRATIC_ATTENUATION,

$||VP||$: a tárgy és a fényforrás távolsága

371

Reflektorszerű fényforrás (OpenGL)



Kúpszög:

GL_SPOT_CUTOFF

Középvonal:

GL_SPOT_DIRECTION

Intenzitás eloszlás:

GL_SPOT_EXPONENT

372

Világítási modell (OpenGL)

```
void glLightModel{if}(enum pname, T param);
void glLightModel{if}v(enum pname, T *params);
```

pname: a világítási modell tulajdonság kijelölése:

GL_LIGHT_MODEL_AMBIENT a szórt megvilágítás értékeinek megadása

Alapértelmezés: RGBA = (0.2, 0.2, 0.2, 1.0)

373

Világítási modell (OpenGL)

GL_LIGHT_MODEL_TWO_SIDE: egy- vagy kétoldalas világítási számításokat kell alkalmazni a poligonoknál.

Ha **param=0.0**, akkor csak az elülső oldal világít, különben mindkettő

GL_LIGHT_MODEL_LOCAL_VIEWER: hogyan kell kiszámítani a spekuláris (tükröző) fényvisszaverődés szögét

Alapértelmezés: 0.0: a z tengely irányából, más érték esetén a nézőpontból

374

Objektumok fényvisszaverő tulajdonságai (OpenGL)

Az objektumok tulajdonságai:

- szín komponensek (meghatározzák a fénykomponensek visszavert hányadát),
- fényvisszaverődés: szórt, diffúz és tükröző fény számára,
- az objektumok saját fénye, emissziós érték.

375

Objektumok fényvisszaverő tulajdonságai (OpenGL)

Szín:

```
void glColorMaterial(enum face, enum mode);
```

```
face: GL_FRONT, GL_BACK, GL_FRONT_AND_BACK
```

Alapértelmezés: **GL_FRONT_AND_BACK**

```
mode: GL_EMISSION, GL_AMBIENT,
       GL_SPECULAR, GL_DIFFUSE,
       GL_AMBIENT_AND_DIFFUSE
```

Alapértelmezés: **GL_AMBIENT_AND_DIFFUSE**

376

Objektumok fényvisszaverő tulajdonságai (OpenGL)

```
void glMaterial{if}(enum face, enum pname, T param);
void glMaterial{if}v(enum face, enum pname, T *params);
```

face: **GL_FRONT, GL_BACK, GL_FRONT_AND_BACK**

pname: a specifikálandó paraméter neve,

param(s): az érték, vagy értékek, amelyekre a **pname** által jelzett paramétert be kell állítani.

377

Objektumok fényvisszaverő tulajdonságai (OpenGL)

Paraméter	Alapértelmezés	Jelentés
GL_AMBIENT	(0.2, 0.2, 0.2, 1.0)	szórt RGBA fényvisszaverés
GL_DIFFUSE	(0.8, 0.8, 0.8, 1.0)	diffúz RGBA fényvisszaverés
GL_SPECULAR	(0.0, 0.0, 0.0, 1.0)	tükröző RGBA fényvisszaverés
GL_EMISSION	(0.0, 0.0, 0.0, 1.0)	emissziós fény intenzitás
GL_SHININESS	0	tükröző exponens
GL_AMBIENT_AND_DIFFUSE		szórt és diffúz szín együtt
GL_COLOR_INDEXES	(0, 1, 1)	szórt, diffúz és tükröző szín indexek

378

Feladat (OpenGL)

Rajzoljuk meg egy dobókocka perspektivikus képét megvilágítással és a kocka saját színeivel!

379

ÁRNYÉKOLÁS

Az árnyékolás általánosan

Egyszerű árnyék

Árnyék generálása pásztázó-vonal algoritmussal

Kétmenetes árnyékolási algoritmus

Árnyék tér

Kétmenetes z-pufferes árnyékolási algoritmus

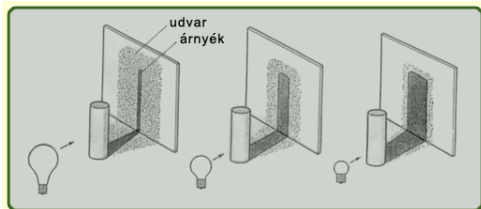
380

Az árnyékolás általánosan

Az árnyékolás általánosan Árnyék (Shadow)

Algoritmus, amely meghatározza, hogy melyik felszín látható a fényforrásból nézve

Általában bonyolult (sok mindentől függ, pl. a fényforrás méretétől)



381

Az árnyékolás általánosan

Egyszerűsítés:

Pontszerű fényforrásokra:

$$I_A = I_{aA} k_a O_{aA} + \sum S_i f_{att_i} I_{pA_i} [k_d O_{dA} (\underline{N} \underline{L}) + k_s O_{sA} (\underline{R} \underline{V})^n]$$

Ahol

$$S_i = \begin{cases} 0, & \text{ha az } i \text{ forrásból ez a pont nem látszik} \\ 1 & \text{különben.} \end{cases}$$

Csak poligon határu testekkel foglalkozunk egyetlen fényforrás esetén: egyszerű árnyék

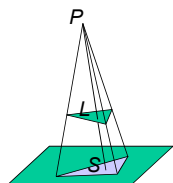
382

Egyszerű árnyék

1. (Blinn 1988) Egyetlen tárgy árnyéka sík felszínén

Pl. pontszerű fényforrás esetén az árnyék a vízszintes síklapon ($z_s = 0$) perspektív vetítéssel

$$M'_{per} = \begin{pmatrix} 1 & 0 & 0 & 0 \\ 0 & 1 & 0 & 0 \\ 0 & 0 & 0 & 0 \\ 0 & 0 & 1/d & 1 \end{pmatrix}$$



383

Egyszerű árnyék

Tetszőleges helyzetű síklap: transzformáció, vetítés

Pl.: párhuzamos megvilágításnál: síklap $\rightarrow z = 0$

$$M_{par} = \begin{pmatrix} 1 & 0 & -\frac{x_l}{z_l} & 0 \\ 0 & 1 & -\frac{y_l}{z_l} & 0 \\ 0 & 0 & 0 & 0 \\ 0 & 0 & 0 & 1 \end{pmatrix}$$

Árnyékolás:

parallel

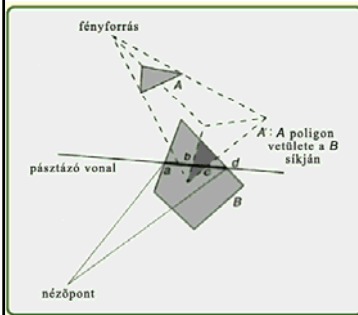
poligon $\xrightarrow{\text{projekció}}$ vetített poligon $\xrightarrow{\text{pásztázás}}$ z-buffer

384

Egyszerű árnyék

2. Árnyék generálás pásztázó-vonal algoritmussal

(APPEL 1968, BOUKNIGHT, KELLEY 1970)



A látható felszín meghatározására szolgáló pásztázó-vonal algoritmus kibővítése árnyék generálással

385

Árnyék generálása pásztázó-vonal algoritmussal

A B poligonon az A poligon vetülete (A' poligon) adja meg az árnyékot

Tehát a pásztázó vonal és A' metszéspontjai határozzák meg az árnyék határait

Az árnyék „ki-be kapcsolása” ugyanúgy történik, mint a látható felszín meghatározásánál

Sok számolás: n poligon esetén $n(n-1)$ vetület számítása

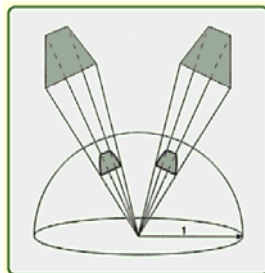
386

Árnyék generálása pásztázó-vonal algoritmussal

Gyorsítás: Előfeldolgozás

A poligonok vetítése egy, a fényforrás köré írt gömb felszínére.

Ha a vetületeknek (kiterjedésüknek) nincs közös része, akkor nem árnyékolhatják egymást: ezeket a párokat kiszűrjük



387

Árnyék generálása pásztázó-vonal algoritmussal

Adatstruktúra: látható felszín, árnyék

Algoritmus:

Pásztázás - a látható szakaszokra megvizsgáljuk, hogy árnyékban vannak-e

388

Árnyék generálása pásztázó-vonal algoritmussal

Esetek:

Ha az aktuális pásztázandó szakaszhoz nincs árnyékoló poligon, akkor normális pásztázás, különben

ha az árnyékoló poligon nem takarja a pásztázó szakaszt, akkor normális pásztázás,

ha teljesen takarja, akkor árnyékolás,

ha részben takarja, akkor a pásztázó szakaszt részekre osztjuk, és a részekre megismételjük az eljárást.

389

Egyszerű árnyék

3. Kétmenetes árnyékolási algoritmus

(ATHERON, WEILER, GREENBERG 1978)

Észrevétel: csak azokat a poligonokat kell árnyékolni, amelyek

- láthatók a nézőpontból és

- nem láthatók a fényforrásból

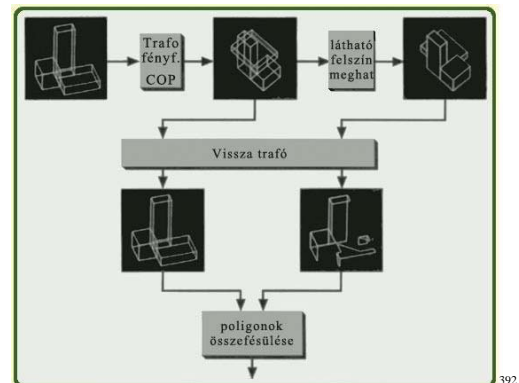
390

Kétmenetes árnyékolási algoritmus

1. lépés: A fényforrásból látható felszín meghatározása (a megvilágított polygonok listája)
 - a) transzformáció: vetítés a fényforrásból
 - b) látható felszín meghatározása
 - c) vissza transzformáció
2. lépés: a polygonok adatbázisának összefésülése (mi van árnyékban és mi nincs)
3. lépés: a nem látható felszínek eltávolítása (a látható polygonok listája)
4. lépés: megjelenítés
pl. pásztázó vonal algoritmussal

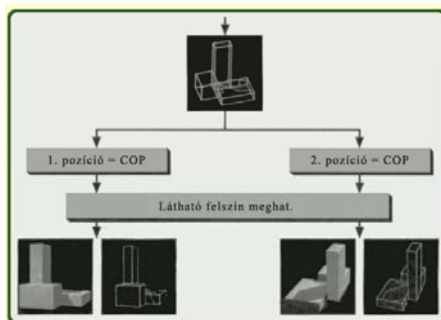
391

Kétmenetes árnyékolási algoritmus



392

Kétmenetes árnyékolási algoritmus



Előnye: jól használható animációra,
ha csak a nézőpont változik

393

Egyszerű árnyék

4. Kétmenetes z-pufferes árnyékolási algoritmus

1. lépés: számítsuk ki a z-puffert a fényforrásból nézve
2. lépés: ha egy pont látható (a megfigyelő helyéről), akkor transzformáljuk a fényforrás-középpontú vetítési rendszerbe, ahol a z-puffer tartalmából eldönthető, hogy árnyékban van-e

≡

a transzformált pont távolabb van-e a fényforrástól, mint a z-pufferhez tartozó pont?

394

Egyszerű árnyék

5. Árnyék tér (Shadow Volumes) (CROW 1977)

A tárgy árnyék tere: a térnek az a része, amit a tárgy eltakar a fényforrás elől. „Árnyék polygonok” határolják. A fényforrás helyéből és a tárgy kontúrvonalaiból meghatározható az árnyék tér.

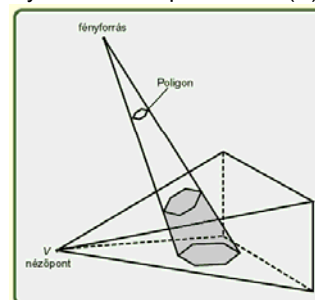
Az árnyék polygonokat nem kell megjeleníteni, de felhasználhatók az árnyékoláshoz.

Az árnyék polygonok síkjának normálisa mutasson az árnyék térből kifelé

395

Árnyék tér

Árnyékszám a P pontban: $s(P)$



A nézőpont felé néző
árnyék polygon:
 $s(P)=s(P)+1$

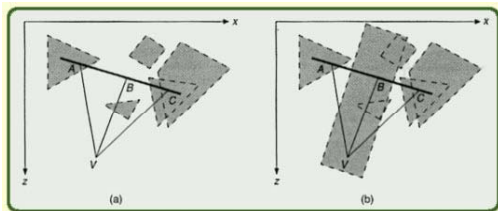
Hátra néző
árnyék polygon:
 $s(P)=s(P)-1$

P árnyékban van $\leftrightarrow s(P) > 0$

396

Árnyék tér

Példák: Árnyékban van-e **A**, **B** és **C**?
V a megfigyelő



$VA : +1 \rightarrow s(A) = 1$	$VA : 1 - 1 + 1 \rightarrow s(A) = 1$
$VB : +1 - 1 \rightarrow s(B) = 0$	$VB : 1 + 1 - 1 \rightarrow s(B) = 1$
$VC : +1 + 1 \rightarrow s(C) = 2$	$VC : 1 - 1 + 1 + 1 \rightarrow s(C) = 2$

397

SUGÁRKÖVETÉS – RAY TRACING

Általános sugárkövetés

Sugárkövetés látható felszín meghatározására

Metszéspontok kiszámítása

398

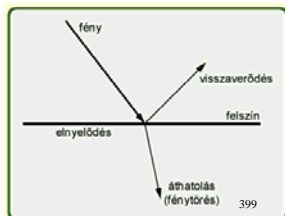
Sugárkövetés – Ray Tracing

Általános sugárkövetés

Módszer realiztikus képek előállítására.

Alapelv: A képen látható felszíni pontok színe (fényessége) más felszíni pontokból kiinduló fénysugarak hatásának az eredménye

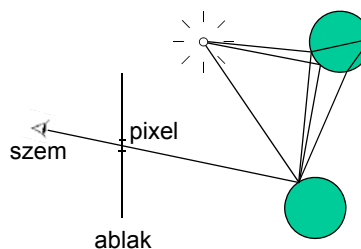
Lehetséges hatások:



399

Sugárkövetés – Ray Tracing

Kövessük a fénysugár útját a nézőponttól kiindulva visszafelé:



400

Sugárkövetés – Ray Tracing

Ha egy „fénysugár” találkozik egy tárggyal, akkor a tárgy felszínének az a pontja olyan színű lesz, amit

- a pont által kisugárzott,
- a pontból az adott irányban visszavert (diffúz és tükröző), valamint
- a ponton áthatolt fénysugarak

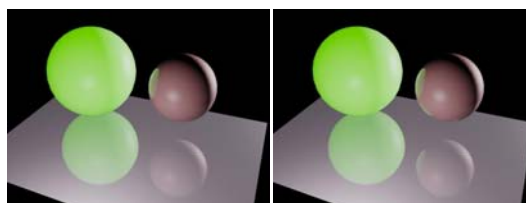
együttesen határoznak meg.

Ezeknek a fénysugaraknak a színét úgy határozhatjuk meg, hogy az útjukat ugyanígy követjük visszafelé (rekurzió)

Rekurzió 3-4 mélységig

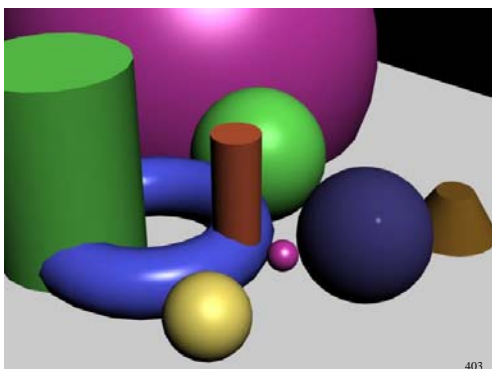
401

Sugárkövetés – Ray Tracing

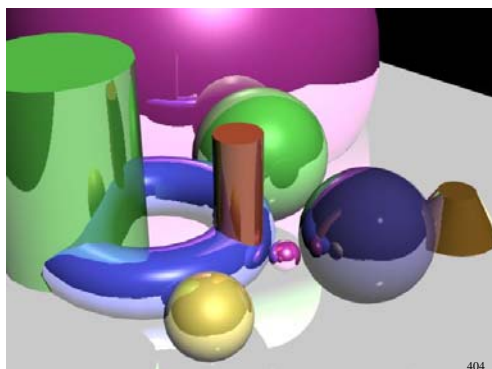


Rekurzió 2 illetve több mélységig

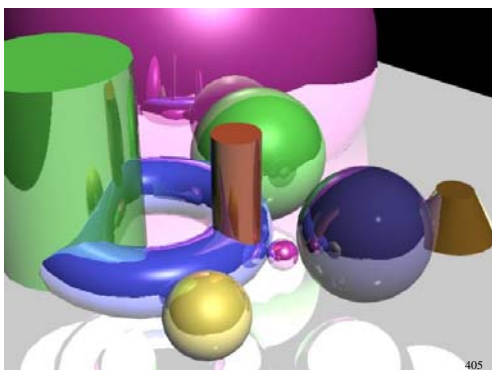
402

Sugárkövetés – Ray Tracing

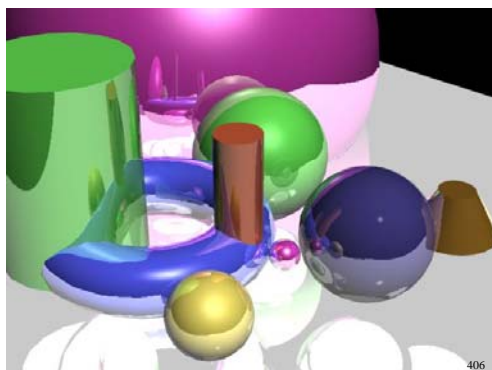
403

Sugárkövetés – Ray Tracing

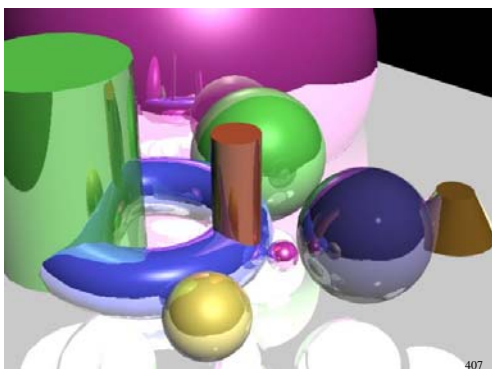
404

Sugárkövetés – Ray Tracing

405

Sugárkövetés – Ray Tracing

406

Sugárkövetés – Ray Tracing

407

Sugárkövetés – Ray Tracing

Sok geometriai számítás
(metszéspontok, tartalmazás, ...)

Részei:

- Látható felszín meghatározása
- Direkt megvilágítás számolása
- Globális megvilágítás számolása
- Árnyék meghatározása

...

408

Sugárkövetés – Ray Tracing

A sugarak követése független egymástól

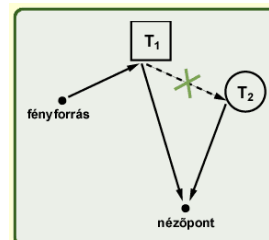


Parallel feldolgozás (transzputer)

409

Sugárkövetés – Ray Tracing

Egyszerűsítési lehetőség: pl. Csak az egyszeres fényvisszaverődést vesszük figyelembe. Akkor csak a direkt megvilágítással kell számolnunk (a más tárgyakról visszavert fényt nem vesszük figyelembe)



410

Sugárkövetés – Ray Tracing

Program:

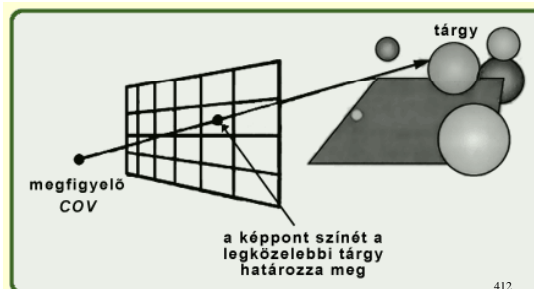
```

COV és az ablak kiválasztása;
for minden pásztázó vonalra do
  for minden képpontra do
    begin
      fénysugár meghatározása;
      for minden tárgyra do
        if a tárgyat metszi a fénysugár és
          eddig ez az első metszéspont
        then jegyezzük meg a metszéspontot
          és a tárgyat;
      Az első metszéspontoz tartozó tárgy
      színének megfelelő lesz a képpont
    end;
  
```

411

Sugárkövetés látható felszín meghatározására

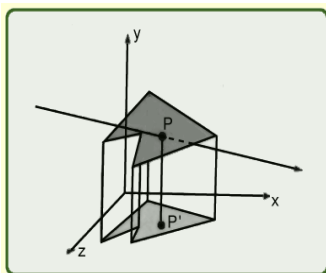
1. Visszafelé követjük a képzeletbeli fénysugár útját a megfigyelőtől a tárgyig



412

Sugárkövetés látható felszín meghatározására

2. Megvizsgáljuk, hogy a metszéspont a poligon belsejében van-e



Párhuzamosan pl. az xz síkra vetítünk – az y koordinátát elhagyjuk – majd megnézzük, hogy P' a vetületben van-e

413

Sugárkövetés látható felszín meghatározására

Tapasztalat:

Sugárkövetésnél az idő 75-95%-a a metszéspontok kiszámításával telik el.

Gyorsítási lehetőségek:

- konstans kifejezések kiszámítása előre,
- poligonok vetületének kiszámítása előre,
- határoló testek használata,
- tárgyak hierarchikus struktúrába való rendezése, hogy minél kevesebb metszéspontot számoljunk.

414

Metszéspontok kiszámításaA nézőpont (COV): (x_0, y_0, z_0) A képpont közepe: (x_1, y_1, z_1)

A sugár parametrikus egyenese:

$$x = x_0 + t(x_1 - x_0) = x_0 + t \Delta x$$

$$y = y_0 + t(y_1 - y_0) = y_0 + t \Delta y$$

$$z = z_0 + t(z_1 - z_0) = z_0 + t \Delta z$$

415

Metszéspontok kiszámításaMetszéspont poligonnal:

Először meghatározzuk az egyenes és a poligon síkjának a metszéspontját:

$$Ax + By + Cz + D = 0$$

$$A(x_0 + t \Delta x) + B(y_0 + t \Delta y) + C(z_0 + t \Delta z) + D = 0$$

$$t = - \frac{Ax_0 + By_0 + Cz_0 + D}{A \Delta x + B \Delta y + C \Delta z}$$

Ha $A \Delta x + B \Delta y + C \Delta z = 0$,
akkor az egyenes és a sík párhuzamos

416

Metszéspontok kiszámításaMetszéspont gömbbel: középpont: (a, b, c) ,
sugár: r

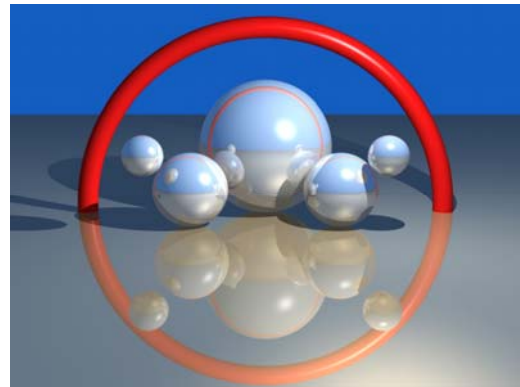
$$(x - a)^2 + (y - b)^2 + (z - c)^2 = r^2$$

$$(x_0 + t \Delta x - a)^2 + (y_0 + t \Delta y - b)^2 + (z_0 + t \Delta z - c)^2 = r^2$$

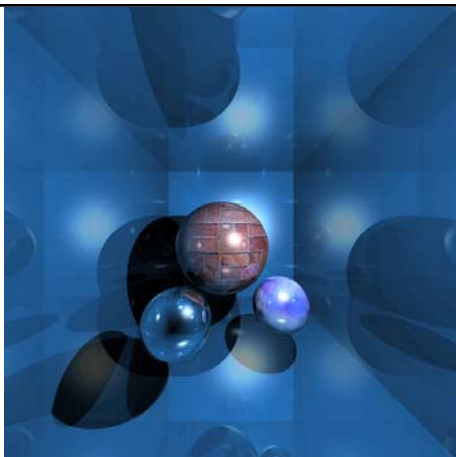
 t -re nézve másodfokú egyenlet, 2, 1, 0 db megoldásNormális vektor az (x, y, z) metszéspontban:

$$\left(\frac{x-a}{r}, \frac{y-b}{r}, \frac{z-c}{r} \right)$$

417



418



419



420



KARAKTEREK GENERÁLÁSA

ATTR: BÚTOMÓK
KARAKTEREK DEFINIÁLÁSA

423

Attribútumok

Attribútumok:

stílus (font):

Times
Roman
Helvetica
Clarinda
...

megjelenés:

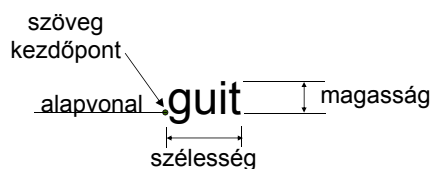
normál
vastag (bold)
dőntött (italic)
aláhúzott
...

424

Attribútumok

Méret:

x pont (1 pont = 1/72 inch)



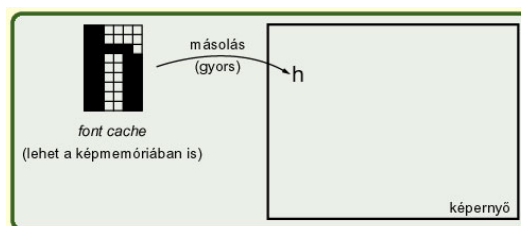
Betűk közötti távolság
Sorok közötti távolság

425

Karakterek definiálása

1. Bitmátrixokkal (bittérképekkel)

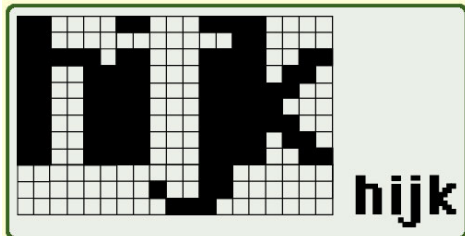
az adott font minden egyes karakteréhez tartozik egy bitmátrix



426

Karakterek definiálása

A bitmátrixok előállíthatók pl. rajzoló programmal a betűk felnagyított képeiből



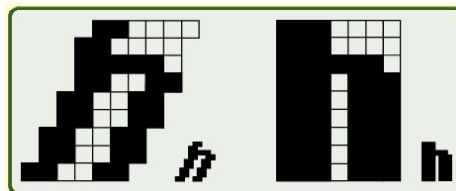
Különböző méretekhez különböző bitmátrixok

427

Karakterek definiálása

Tárolás: név
magasság
szélesség (lehet változó)
betűköz

Lehet trükközni:



428

Karakterek definiálása

2. A betűket leíró határvonalakkal

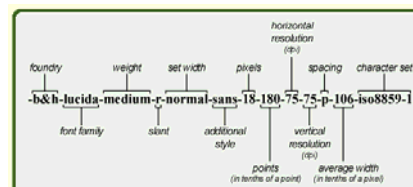
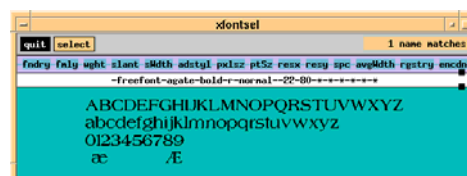


- poligonok
- ívek

- Eszköz-független
bármilyen megjelenítőhöz adaptálható
- Egy font megadásához általában több hely kell,
mint a bitmátrix esetében
- Mérettől független, nagyítható (mértékkel), dönthető
- Bonyolultabb a megjelenítés, mint a bitmátrix esetében

429

Karakterek definiálása



430

Karakterek definiálása



xfontsel Grafikus felület X11 font-név kiválasztására

Megmutatja, hogy mely fontok állnak az X-szerver rendelkezésére

fndry (Foundry) A fontot szolgáltató (regisztrált) cég neve (pl. Adobe)

fmly Font-család (family) a font tipográfiai stílusának családja (pl. Courier)

fwght (Weight) A font tipográfiai súlyát, azaz feketességét jelöli (pl. bold)

slant A betűkép állása (pl. italic - döntött)

431

Karakterek definiálása



sWdth (Set Width) A font vízszintes vastagsága (pl. normal, keskeny)

adstyl (Additional Style) További információ (pl. sans - talp nélküli)

pxlsz (Pixel Size) Magasság pixelben kifejezve

ptsz (Point Size) A font mérete pontokban kifejezve

resx (Horizontal Resolution) Az eredeti fontok mérete dpi-ben

432

Karakterek definiálása



resy (Vertical Resolution) Az eredeti fontok mérete dpi-ben

spc (Spacing) Betűköz
(*p*: proporcionális, *m*: mono-space)

avgWdth (Average Width) Átlagos szélesség pixel/10-ben

rgstry (Character Set) ISO-szabvány kódja
(pl. ISO8859)

encdng (Encoding) ISO-szabvány kódja
(pl. ISO8859)

433

Szöveg - bittérkép (OpenGL)

Bittérképés karakter megjelenítése

```
glutBitmapCharacter(void *font,
    int character)
```

font: pl.:

```
GLUT_BITMAP_8_BY_13,
GLUT_BITMAP_TIMES_ROMAN_10,
GLUT_BITMAP_HELVETICA_18
```

434

Szöveg - bittérkép (OpenGL)

Pl.:

```
void output(int x, int y, char *string){
    int len, i;
    glRasterPos2f(x, y);
    len = (int) strlen(string);
    for(i = 0; i < len; i++){
        glutBitmapCharacter(
            GLUT_BITMAP_HELVETICA_18,
            string[i]);
    }
}
```

435

Szöveg - határvonal (OpenGL)

Határvonalával megadott (ún. stroke) karakter megjelenítése

```
glutStrokeCharacter(void *font,
    int character)
```

font: pl.

```
GLUT_STROKE_ROMAN,
GLUT_STROKE_MONO_ROMAN
```

436

Szöveg - határvonal (OpenGL)

Pl.:

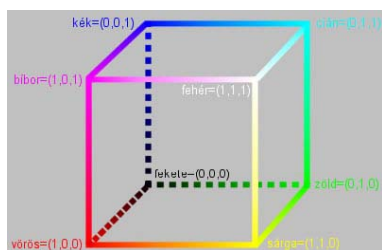
```
void output(int x, int y,
    char *string){
    int len, i;
    glRasterPos2f(x, y);
    len = (int) strlen(string);
    for(i = 0; i < len; i++){
        glutStrokeCharacter
            (GLUT_STROKE_ROMAN, string[i]);
    }
}
```

437

SZÍNMODELLEK

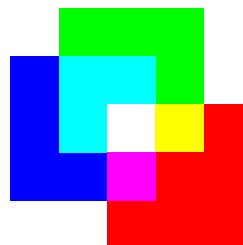
RGB, CMY, CMYK, HSV
OpenGL

438

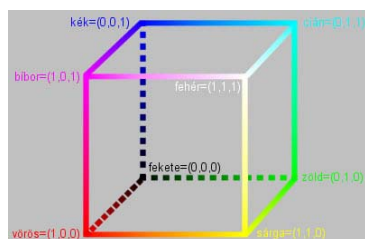
RGB (Red, Green, Blue – vörös, zöld, kék)Pl. színes
képernyőnél**Additív** komponensek:

Alkalmas súlyokkal vett összegük ad egy összetett színt

439

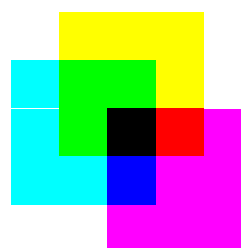
RGB (Red, Green, Blue – vörös, zöld, kék)

440

CMY (Cyan, Magenta, Yellow – cián, bíbor, sárga)Pl. színes
nyomtatónál**Szubtraktív** komponensek:

Sokszor szűrőként használjuk, hogy kiszűrjük a fehérből a megfelelő színt

441

CMY (Cyan, Magenta, Yellow – cián, bíbor, sárga)

442

CMY (Cyan, Magenta, Yellow – cián, bíbor, sárga)

Konverzió:

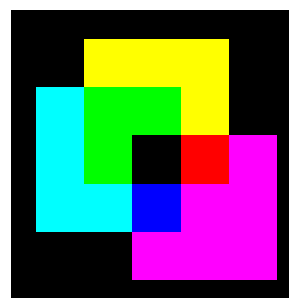
$$\begin{bmatrix} C \\ M \\ Y \end{bmatrix} = \begin{bmatrix} 1 \\ 1 \\ 1 \end{bmatrix} - \begin{bmatrix} R \\ G \\ B \end{bmatrix}$$

RGB → CMY

$$\begin{bmatrix} R \\ G \\ B \end{bmatrix} = \begin{bmatrix} 1 \\ 1 \\ 1 \end{bmatrix} - \begin{bmatrix} C \\ M \\ Y \end{bmatrix}$$

RGB ← CMY

443

CMYK (Cyan, Magenta, Yellow, black - K : fekete)

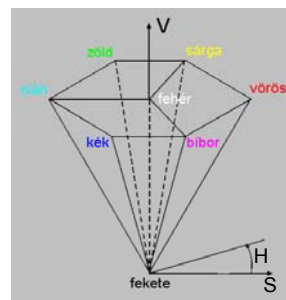
444

CMYK (Cyan, Magenta, Yellow, Black - K : fekete)

CMK → CMKY konverzió:

- $K = \min \{C, M, Y\}$
- $C = C - K$
- $M = M - K$
- $Y = Y - K$

445

HSV (Hue, Saturation, Value – árnyalat, telítettség, fényesség)

Esztétikai alapú (ahogy a festők keverik a színeket)

$$0^\circ \leq H < 360^\circ$$

$$0^\circ: R, 120^\circ: G, 240^\circ: B$$

$$0 \leq S < 1$$

Ha $S = 0$, akkor szürke
Ha $S = 1$, akkor nincs fehér és fekete belekeverve

$$0 \leq V < 1$$

Ha $V = 0$, akkor fekete
Ha $V = 1$, akkor nincs fekete belekeverve

446

Feladat (OpenGL)

Szivárvány rajzolása

447